APLICAÇÕES DO ESPALHAMENTO RAMAN NO ESTUDO DE TRANSIÇÕES FERROELÉTRICAS EM CRISTAIS COM ESTRUTURA DO TIPO DO KDP

Marco Antonio Fiori Scarparo Orientador: Prof. Dr. Ram Sharan Katiyar

Tese apresentada ao Instituto de Física "Gleb Wataghin" da Universidade Estadual de Campinas, como parte dos requisitos para a obtenção do título de Doutor em F_1 sica.

Abril - 1976

Esforçar-me-ei por viver com amor e solicitude, com o prumo, sobre o nível, por meio do esquadro ...

AGRADECIMENTOS

Agradeço ao Prof. Dr. Ram Sharan Katiyar, orientador da presente tese, pela pacienciosa, decisiva e eficiente orientação na realização e conclusão da mesma.

Ao Prof. Dr. Sergio P.S. Porto pelas inúmeras suges tões e seguras discussões prestadas no decorrer da tese e prin cipalmente pelo amparo moral com que me presenteou.

Ao Prof. Dr. Rogerio C.C. Leite pelo impulso inicial que me forneceu como também pela confiança que em mim depositou, que serviram, sem dúvida nenhuma, como um forte alicerce que me permitirá sustentar a dura jornada científica.

Ao Prof. Dr. Ramakant Srivastava, meu colega e leal amigo, pelas longas horas que ficou ao meu lado na realização desta tese, sempre com palavras de incentivo.

Ao Prof. Dr. Stephenson Caticha Ellis e ao seu grupo, & pela solidariedade que lhes são peculiar por dividirem comigo os seus tempos de utilização dos equipamentos dos seus labora tórios.

A um amigo da AMORC por saber compreender minhas faltas para com ele, durante a realização deste trabalho.

As secretárias Neuza D. Oliveira e Valéria Duarte Souza pela eficiência, compreensão e paciência demonstradas na execução do importante trabalho datilográfico de minha tese.

Agradeço ao José Feliciano Domingues, à Lúcia Costa Cardoso e ao Orlando Gilberto Feriani pelas execuções das figuras e tabelas deste trabalho como também pela grande boa vonta de demonstrada nas horas de correria.

Ao Geraldo F. Mendes, Danilo Cesar Dini e Flávio Barin pela grande ajuda na implantação e manutenção do nosso la boratório.

Aos grandes "caras" da computação, Antonio Assis L. F<u>i</u> lho, Rubens Antonio Jorge, Wagner Villela e Luiz Miranda Lopes pela eficiência, e, principalmente pela ajuda que me prestaram.

As bibliotecárias Vania Lando de Carvalho e Gisela Vicente de Azevedo pelas seguras informações e ótimo atendimento; agradeço também à atendente Ivone B. Freitas pela gentilezanos seus atendimentos.

Ao José Cícero M. Brandão e José Carlos Finezi pela grande disposição em me servir nos momentos de necessidade como também pela acolhida bastante amiga no laboratório de vi dros.

Ao Juvenal Xavier de Oliveira, Antonio João Polaquini, Vanderlei N. Martinez, José P. Molina, Luiz N.S.R. Bufarah e a todo pessoal da mecânica pela grande capacidade e eficiência de monstradas na execução dos meus projetos durante a implantação do laboratório.

λ Sandra Ferreira pela paciência e boa vontade demons tradas e auxílio prestado no decorrer desta tese.

Aos colegas José Claudio Galzerani e João de Deus Freire pelas frutiferas conversas sobre vários problemas relacionados com a presente tese.

Finalmente, um agradecimento especial à minha esposa, por saber tão inteligentemente suportar minhas "intempéries" durante todos estes anos que trabalhei nesta tese.

A Rosa,

ao Cleber e

à Carin.

INDICE

	P.
Resumo	X
Abstract	x
Relação das Figuras	v
Relação das Tabelas	
	. X
Capitulo I: INTRODUÇÃO	1
1.1: Considerações gerais sobre a ferroeletricidade	1
I.2: Estrutura dos cristais do tipo do KH ₂ PO ₄	8
I.3: Propriedades físicas dos cristais do tipo	
кн ₂ РО ₄	1
I.3.1: Propriedades dielétricas e suas não l <u>i</u>	
nearidades	1
I.3.2: Polarização espontânea	1
I.3.3: Outras propriedades	1
I.4: Espectroscopia Raman e fonons nos cristais do	
KH ₂ PO ₄ e isomorfos	1
I.5: Trabalhos anteriores sobre cristais do tipo	
do KH ₂ PO ₄	2
I.6: Referências bibliogrāficas	3
Capítulo II: ESTUDOS TEÓRICOS EM FERROELÉTRICOS	3
II.1: Teoria de Cochran sobre o "soft mode"	3
II.2: Teoria de Kobayashi sobre spin e modo ótico	
acoplado	3
II.3: Teoria de Silverman sobre o sistema de pro-	
tons e fonons acoplados	4
II.4: Teoria de Mason sobre tansição ferroelétrica.	4
II.5: Referências bibliográficas	5
Capítulo III: ESPALHAMENTO RAMAN E DISCUSSÕES DOS FO-	
NONS EM CRISTAIS DA ESTRUTURA DO KH2PO4	5
III.1: Medidas experimentais	5
III.1.1: Montagem experimental	5
III.1.2: Preparação das amostras	5
III.1.3: Preparação criogênica	5
III.1.4: Medidas experimentais	5
- BERTHARIT IN ANDRESON CONFORMINATOR TETTER FREE FREE FREE FREE FREE FREE F	*

	PAG.
III.2: Resultados experimentais e discussões	62
III.3: Referências bibliográficas	85
Capítulo IV: FORMALISMOS	86
IV.1: Formalismo da função de Green como função res	
posta do oscilador harmônico amortecido (DHO).	86
IV.2: Substituição do oscilador harmônico amorteci	
do (DHO) pelo oscilador da rede (LO)	91
IV.3: Referências Bibliográfica	98
Capítulo V: DISCUSSÃO DOS MODOS B ₂ EM RELAÇÃO À FERR <u>O</u>	
ELETRICIDADE	99
V.1: Formalismo dos modos acoplados	99
V.2: Aplicações da teoria de Kobayashi com as mo	
dificações realizadas por Silverman	116
V.3: Referências bibliográficas	124
Capítulo VI: CONCLUSÕES	125
Sugestões para trabalhos futuros	129
Referências hibliográficas	1 7 7

Relação das Figuras

<u>Figuras</u>		Pagina
I.1:	Estrutura cristalina do KH ₂ PO ₄	10
I.2:	Variação da constante dielétrica com a temper <u>a</u> tura	14
II.1:	Força de restauração e força coulombiana em fun ção do deslocamento \vec{U} para temperatura acima da temperatura de transição	36
II.2:	Força de restauração e força coulombiana em função do deslocamento \vec{U} na temperatura de transição	36
11.3:	Duplo poço de potencial para uma partícula no caso de um cristal tipo ordem-desordem \dots	47
III.1:	Diagrama representativo do equipamento utilizado	58
III.2:	Sistema para baixas temperaturas	60
III.3:	Espalhamento Raman para os cristais de KDP, RDP, D-RDA e RDA na polarização z(xz)y à temperatura ambiente	63
III.4:	Espalhamento Raman para os cristais de D-RDA, RDA, KDP e RDP na polarização y(xz) v à tempera tura ambiente	64
III.5:	Espalhamento Raman para os cristais de RDP e RDA na polarização x(zx)z (TO) à temperatura ambiente	
III.6:	Espalhamento Raman para os cristais de KDP, RDP, D-RDA e RDA na polarização y(zz)x à temperatura ambiente	68
III.7:	Espalhamento Raman para os cristais de RDA, D-RDA, KDP e RDP na polarização z(xx)y ã temperatura ambiente	
III.8:	Espalhamento Raman para os cristais de KDP e RDP na polarização $z(xx)\overline{z}$ à temperatura ambiente	71
III.9:	Espalhamento Raman para os cristais de KDP, RDP, na polarização y(xy)x à temperatura ambiente	73

Figuras		Pagina
III.10:	Espalhamento Raman para os cristais de D-RDA, RDP e RDA na polarização z(xy) z à temperatura ambiente	
III.11:	Espalhamento Raman para o cristal de RDP nas polarizações $y(zy)x$ ou $x(zx)y$ (B_1 , B_2), $y(xy)x$ (A_1 , A_2) e $x(zz)y$ (A_1) para a temperatura de $90^{\circ}K$	76
III.12:	Espalhamento Raman para o cristal de RDA nas polarizações $x(zz)y$ (A_1) , $y(zy)x$ ou $x(zx)y$ (B_1,B_2) e $y(xy)x$ (A_2, A_1) à temperatura de $90^{\circ}K$	•
III.13:	Espalhamento Raman para o cristal de D-RDA nas polarizações $x(zz)y$ (A_1) à temperatura de $105^{\circ}K$, $y(xy)x$ (A_2 , A_1) à temperatura de $140^{\circ}K$ e $y(zy)x$ ou $x(zx)y$ (B_1 , B_2) à temperatura de $105^{\circ}K$	
III.14:	Espalahmento Raman para o cristal de RDP na polarização y(xy)x à várias temperaturas	-
III.15:	Espalhamento Raman para o cristal de KDP na polarização y(xy)x à várias temperaturas	
III.16:	Espalhamento Raman para o cristal de RDA na polarização y(xy)x à várias temperaturas	•
V.1:	T/τ ₁ vsT para o modo 1, para o cristal de KDP, usan do o oscilador harmônico amortecido com acoplamen to real (R) e imaginário (I)	
V.2:	T/τ ₁ vsT para o modo 1, para o cristal de RDP, usa <u>n</u> do o oscilador harmônico amortecido com acoplame <u>n</u> to real (R) e imaginário (I)	
V.3:	T/τ ₁ vsT para o modo 1, para o cristal de RDA usando o oscilador harmônico amortecido com acoplamento real (R) e imaginário (I)	<u>.</u>
V.4:	ω_2^2 vsT para o modo 2 para os cristais de KDP, RDF e RDA, usando o oscilador harmônico amortecido com	ì
V.5:	acoplamento real (R)	1
	acoplamento imaginário (I)	108

E i avena a		N 7
Figuras	<u>.</u>	<u>Página</u>
V.6:	Variação com a temperatura do acoplamento real (Δ_{12}) entre os modos 1 e 2 usando o oscilador har	
	mônico amortecido ($\Gamma_{12}=0$)	109
V.7:	Variação com a temperatura do acoplamento imaginário (Γ_{12}) entre os modos 1 e 2 usando o oscila de harmânica ementacida (Δ_{12})	110
	dor harmônico amortecido $(\Delta_{12}=0)$	110
V.8:	Espectro calculado dos modos 1 e 2 desacoplados usando o oscilador harmônico amortecido para o cristal de RDA à temperatura ambiente	111
V.9:	$T/\tau_1 vsT$ para o modo 1, para o cristal de RDA, usan do o oscilador da rede com acoplamentos real (R)	
	e imaginário (I)	113
V.10:	ω_2^2 vsT para o modo 1, para os cristais de RDA, KDP e RDP, usando o oscilador da rede com acoplamento	
	real (R)	114
V.11:	ω_2^2 vsT para o modo 2, para os cristais de KDP, RDP e RDA usando o oscilador da rede com acoplamento	
	real (R)	1.15
V.12:	ω_i^2 vsT e γ_i vsT para os modos 1 e 2 para o cristal de RDA usando o oscilador da rede, com acoplamen to imaginario (I)	117
	·	11/
V.13:	Espectros calculados dos modos 1 e 2 desacoplados usando o oscilador da rede para o cristal de RDA à temperatura ambiente	118
U 1.4.		± O
V.14:	γ_i vsT e Δ_i vs ω para os modos 1 e 2 para o cristal de RDA usando o oscilador da rede com acoplamen	
	to real (R)	119

re	s (comp	uta	dos	da	ten	pera	atui	a de	tra	ansi	ção	
T	par	ra c	s	ris	tai	s do	RDI	Э е	RDA.	Valor	res	e <u>x</u>	
me	nta	ais	das	te	mpe	rati	ras	de	tran	sição	p	ara	
ri	sta	ais	de	RDP	e	RDA							122
1	÷		1		_ 4		12 -		. .	C		1)	

128

Relação das Tabelas

<u>Tabelas</u>		<u>Pāgina</u>
I.1:	Informação estrutural sobre o KDP	. 12
III.1:	Frequências em cm ⁻¹ observadas para os modos da	a
	configuração geométrica (xz) para os cristais de	9
	KDP, RDP, RDA e D-RDA na temperatura ambiente	. 67
III.2:	Frequências em cm ⁻¹ observadas para os modos das	s
	configurações geométricas z(xx)y, z(xx) z e y(zz)	x
,	para os cristais de KDP, RDP, RDA e D-RDA na ter	<u>n</u>
	peratura ambiente	72
III.3:	Frequências em cm ⁻¹ observadas para os modos das	S
	configurações $x(zz)y$, $y(xy)x$, $z(zy)x$ ou $x(zx)y$ ps	a
	ra os cristãos de RDP, RDA, D-RDA na fase ferrog	<u>e</u>
	létrica	. 80

RESUMO

O espalhamento Raman à baixas frequências no KDP, RDP e RDA, na configuração geométrica y(xy)x foi investigado como função da temperatura com uma ênfase especial próximo à tempe ratura de transição $T_{\rm c}$. Para o espectro, na região do modo su peramortecido e da vibração ("stretching") dos modos A-BO $_4$, foi feito o "fitting" para a função resposta de dois osciladores har mônicos amortecidos e também pelo oscilador da rede devido a Silverman. Em ambos os formalismos, considerando o acoplamento puramente real ou puramente imaginário, o modo superamortecido amo lece com a temperatura, bem acima de $T_{\rm c}$, mas se atém a uma frequência de "hard core" próximo à transição de fase. Estes resultados não indicam a existência de um modo se aproximando da frequência zero em contraste aos trabalhos anteriores realizados por vários autores.

ABSTRACT

The low frequency Raman scattering in KDP, RDP and RDA in y(xy)x configuration has been investigated as a function of temperature with particular emphasis near the transition temperature T_c . The spectra in the region of the overdamped and A-BO₄ stretching modes have been fitted to the response function of two coupled damped hamonic oscillators and that of lattice oscillators due to Silverman. In both the formalisms, assuming purely real or purely imaginary coupling the overdamped mode softens with temperature well above T_c but attains a "hard core" frequency near the phase transition. These results do not indicate existence of a mode approaching zero frequency in contrast to the earlier work by various authors.

CAPITULO I - INTRODUÇÃO

I.1: Considerações gerais sobre a ferroeletricidade.

Nos últimos anos, tem havido um grande interesse no es tudo de materiais ferroelétricos, devido a sua grande área de aplicação. Entretanto, o mecanismo da transição de fase paraclétrica-ferroelétrica, na maioria dos cristais não está ainda claramente entendido.

O descobrimento do fenômeno mais tarde conhecido comoferroeletricidade foi feito em 1921 por Vasalek (1), investigando o cristal de sal de Rochelle (tartarato de sódio e potássiotetra-hidratado).

Os cristais que apresentam o fenômeno da ferroeletrici dade são chamados, por razões históricas, de ferroelétricos. A lém da razão histórica, existe uma similaridade do fenômeno ferroelétrico como fenomeno ferromagnético, embora a similaridade seja simplesmente fenomenológica. Os cristais ferromagnéticos possuem u'a magnetização espontânea e também efeito histerese co mo uma relação entre a magnetização e o campo magnético aplicado Os cristais ferroelétricos também possuem o efeito da histeresecomo uma relação entre o deslocamento elétrico e o campo apli cado, e este fato implica numa polarização espontânea, mesmo ausência do campo. Uma das principais características dos cris tais ferroelétricos é a da existência de domínios. Os domínios ferroelétricos são regiões macroscópicas nos quais a direção da polarização espontânea numa região, difere da região adjacente. Estas regiões, sob o efeito de um campo elétrico aplicado, podem inverter suas orientações. Esta ocorrência é fundamental nos cris tais ferroelétricos, pois não é o fato destes tipos de cristaispossuirem polarização espontânea que os caracterizam, mas sim ofato desta polarização espontânea poder ser reversível através da aplicação de um campo elétrico. Landauer e colaboradores (2)calcularam o valor aproximado do campo necessário para estabelecer a polarização reversível para o cristal de titanato de báe encontraram-no como sendo da ordem de 200 KV/cm, entre tanto a reversibilidade pode também ocorrer com campos da ordem de 1 KV/cm devido aos domínios pequenos que estão presentes

A polarização espontânea corresponde a magnetização - intrínsica nos materiais ferromagnéticos, entretanto, existe -

uma diferença entre estes dois fenômenos. O memento magnético - de um material ferromagnético podo ser detectado e medido pe - la aplicação de um campo externo, enquanto que a polarização e-létrica pode ser semelhantemente detectada se o material retiver cargas elétricas em sua superfície. De um modo geral, definimos a polarização como o momento de dipolo por unidade de volume. Na consideração de um material ferroelétrico, por exemplo esta polarização pode ser alterada por mudanças das condições externas atuantes no material. Assim, os termos, dielétrico, pie zoelétrico e piroelétrico referem-se a mudanças da polarização como resultado de variações de condições externas, como o campo aplicado, a compressão e a temperatura , respectivamente. Estasmudanças podem ser detectadas como correntes em circuitos apro priados conectados ao material.

Assim, um campo elétrico aplicado É, produz correntes dielétricas. O deslocamento elétrico D é dado por:

$$\vec{D} = \vec{E} + 4\vec{\eta} \vec{P}, \qquad (1.1)$$

onde P é a polarização.

Desta equação podemos definir a constante dielétrica - como sendo a derivada do deslocamento dielétrico com respeito - ao campo elétrico E; semelhantemente, a derivada da polarização-P com respeito ao campo elétrico E aplicado é usualmente definida como a suscetibilidade dielétrica, então,

$$\frac{dD}{dE} = \varepsilon \quad \text{(constante dielétrica)}$$

$$\frac{dP}{dE} = X \quad \text{(suscetibilidade dielétrica)}$$
 (1.2)

Os materiais piroelétricos possuem finita polarização, mesmo na ausência de campo ou pressão externos; esta polarização é a que comumente se chama de polarização espontânea. Considera-se então que se a polarização espontânea existe, o material é piroelétrico, isto é a polarização espontânea deverá variar com a temperatura. Os materiais piezoelétricos que não são também piroelétricos devem possuir polarização zero quando não houver campo ou pressão externos aplicados. De um modo geral podemos dizer que não há ferroelétricos que não sejam piroelétricos, como tam -

bem, não há piroclétricos que não sejam piezoclétricos.

Na maioria dos cristais ferroelétricos, uma temperatu ra característica, a temperatura de Curie, é observada, acima a polarização espontânea desaparece, e o cristal é usu almente chamado de paraelétrico; o movimento térmico tende a destruir a ordem ferroelétrica. Alguns cristais ferroelétricosnão tem ponto de Curie porque se fundem antes de deixarem a fase ferroelétrica. Existem casos especiais como o sal de Rochelle em que o aumento de temperatura acima de 0°C implica na mudanca na forma da curva de historese; sua altura diminui vagarosamen te e sua largura decresce bastante até aproximadamente 24°C onde os lados da curva emergem em uma linha, como mostrado por -Sawyer e colaboradores (3). Este cristal é dito então ter um pon to de Curie ferroelétrico a 24°C. Abaixo de 0°C a curva de terese se fecha quando a temperatura decresce e próximo a -20°C a polarização espontânea também desaparece e não volta a nenhuma temperatura.

Esta temperatura de -20°C é conhecida como o ponto - mais baixo da temperatura de Curie. Entretanto, vários trabalhos subsequentes a esta observação, mostraram que este efeito não é usual na maioria dos ferroelétricos, pois a maior parte destes - conserva sua polarização espontânea até a mais baixa temperatura investigada. Como dissemos, nos cristais ferroelétricos, quando a temperatura está acima do ponto de Curie, o cristal não pos sui polarização espontânea, entretanto quando a temperatura decresce, no ponto de Curie, o cristal muda de classe, passando para uma classe de menor simetria, na qual a polarização não é ze ro. Esta transição também é conhecida como transição férroelétrica ou usualmente de transição de fase.

A maioria dos ferroelétricos tem um comportamento anômalo próximo à temperatura de transição de fase, e este comportamento possívelmente é consequente da polarização reversível. Estes materiais apresentam em geral uma anomalia da constante dielétrica em certas direções quando mudam de fase. No titanato de bário, fosfato di-hidrogenado de potássio e sal de Rochelle, por exemplo, a constante dielétrica cresce rapidamente tendendo a um valor de pico quando a temperatura está próxima da tempera tura de transição.

Em alguns ferroclétricos a dependência da constante - dielétrica com a temperatura, acima da temperatura de transição

pode ser descrita pela lei de Curie-Weiss:

$$\varepsilon(0) = \varepsilon(\infty) + \frac{C}{T - T_0}$$
 (1.3)

onde, $\varepsilon(0)$ é a constante dielétrica estática, $\varepsilon(\infty)$ é a constante dielétrica eletrônica, C a constante de Curie-Weiss e T é a temperatura de Curie-Weiss.

A constante dielétrica $\varepsilon(\infty)$ é a parte independente da temperatura e as vezes pode ser desprezada. Em geral o valor da temperatura de transição, comumente chamada T_c , coincide com atemperatura T_c . Nas vizinhanças da temperatura T_c , a constantedielétrica torna-se bastante grande e a relação entre a constante dielétrica e a suscetibilidade pode ser dada aproximadamente por:

$$\frac{\varepsilon(0)}{4\pi} = \chi(0) \tag{1.4}$$

Em certos ferroelétricos , a temperatura T_o, pratica mente coincide com a temperatura T_c (transição de segunda ordem) mas em outros este fato não ocorre (transição de primeira ordem) Devemos enfatizar que a dependência da constante dielétrica coma temperatura, como na lei de Curie-Weiss, não é uma condição necessária para uma transição ferroelétrica ou uma demonstração-conclusiva de que um particular material é ferroelétrico, embora a não linearidade da constante dielétrica seja uma significan te característica dos materiais ferroelétricos. O fato de em alguns materiais ferroelétricos a anomalia da constante dielétrica ser grande e dela seguir a lei de Curie-Weiss, pode simplesmente significar que o fenômeno cooperativo que leva à ferroeletricida de tem uma origem dielétrica.

Como citado anteriormente, num cristal ferroelétrico, quando a temperatura decresce, na temperatura de transição o cristal muda de classe, e esta mudança é a transição entre dois esta dos sólidos, ou seja, da forma de um cristal para a outra. Este fato acontece reversivelmente, sem quebra da estrutura do cristal como um todo. Do ponto de vista termodinâmico, costuma-se chamar de transição de primeira ordem aquela em que há uma descontínua variação do volume e da energia do cristal, e de transição de segunda ordem aquela em que esta descontinuidade não ocorre. Pode-se também dizer que a transição de fase de primeira ordem mos -

tra uma descontinuidade na polarização, ao passo que a transição de fase de segunda ordem não mostra esta descontinuidade.

Outras características dos materiais ferroelétricos, que possuem anomalias, serão discutidas, para os casos específicos dos cristais estudados.

Algumas propriedades dos cristais <u>ferroelétricos</u> podem ser resumidas e consideradas como fundamentais, tais como:

- Estes materiais possuem uma curva dielétrica de his terese, indicando uma polarização espontânea reversível
- 2) Eles mostram o desaparecimento da histerese a uma certa temperatura, o ponto de Curie
- 3) Eles possuem estrutura de domínios
- 4) Eles possuem uma constante dielétrica alta, com o máximo valor no ponto de Curie
- 5) A variação da constante dielétrica acima do ponto de Curie, segue a lei de Curie-Weiss
- 6) Suas simetrias os colocam na classe polar
- 7) Eles tem uma transição de fase, no ponto Curie para a forma de mais alta simetria
- 8) O ponto de Curie é aumentado (ou o ponto de Curie mais baixo é abaixado) pela aplicação de um campo elétrico
- 9) Ha aparecimento de cargas superficiais na transição

Embora estas propriedades sejam consideradas fundamen - tais, somente a primeira poderia ser utilizada como critério para definirmos um material ferroelétrico.

Outro aspecto que devemos mencionar neste trabalho e que será objeto de nosso estudo e discussão é aquele relacionado comos conceitos do chamado "soft mode" e dinâmica de rede cristalina que serão comentados com mais detalhes no Capítulo II.

Raman e Nedungadi, em 1940 (4) parecem ter sido os primeiros a observar o "soft mode", na transição de fase estrutural utilizando a técnica do espalhamento Raman. Observaram que a transição no quartzo é acompanhada por um decréscimo da frequência na totalidade dos fonons óticos quando a temperatura se aproxima da temperatura de Curie ou crítica.

Alguns anos mais tarde, em 1959, Cochran (5) sugeriu que a transição de fase em alguns ferroelétricos deveria ser resul-tante de alguma instabilidade de um dos modos normais de vibração

da rede. Nesta teoria, a frequência do principal "soft" fonon - decresce ao se aproximar da temperatura crítica, e a força de - restauração para o deslocamento do modo tende a zero. O deslo - camento atômico estático, quando se vai da fase paraelétrica para a fase ferroelétrica, representa então o congelamento no deslocamento do modo do fonon instável. Como o estado ferroelétrico e caracterizado por uma polarização espontânea macroscópica- o "soft" fonon deve ser polar (ativo ou infravermelho). Especificamente poderíamos dizer que o ordenamento ferroelétrico en - volve a instabilidade do fonon, no centro da zona de Brillouin, a $\vec{K}=0$

Pode-se verificar (6) também que a relação de dispersão - de Kramers-Kronig, pode ser utilizada para estabelecer a co-necção entre as respostas estáticas e dinâmicas de um sistema dielétrico, assim,

$$\varepsilon'(0,0,T) - \varepsilon(\infty) = \frac{2}{\pi} \int_{0}^{\infty} \frac{\varepsilon''(\omega,0,T)}{\omega'} d\omega' \qquad (1.5)$$

onde: $\epsilon'(\omega,\vec{q},T)$ é a parte real e $\epsilon''(\omega,\vec{q},T)$ a parte imaginária da dependência da constante dielétrica com o vetor da onda, $\epsilon(\infty)$ é o valor limite da constante dielétrica para frequências que são muito maiores que a frequência de dispersão ferroelétrica. A expressão (1.5) mostra que a grande dependência da constante die létrica $\epsilon(0,0,T)$ com a temperatura, como é encontrada nos ferroe létricos, só pode ocorrer se o espectro de perda $\epsilon''(\omega)$ contiveruma forte contribuição do "soft mode" com a temperatura, o qualpode ter um caráter ressonante ou de relaxação e não ser neces sariamente fonon. Os modos normais do sistema são definidos como polos da $\epsilon(\omega,\vec{q},T)$ e são geralmente encontrados como soluçõescomplexas de $1/\epsilon(\tilde{\omega})=0$. O polo $\tilde{\omega}_1$ que é criticamente dependente da temperatura representa o "soft mode". No caso dos dielétricos, a constante dielétrica estática $\epsilon(0,0,T)$ segue a lei de Curie-Weiss:

$$\varepsilon(0,0,T) = \frac{C}{T - T_0} \tag{1.6}$$

assim, $\frac{1}{\varepsilon(0)} = 0$ para $T = T_0$

Pode-se verificar então, que a frequência complexa do "soft mode" dada por $\tilde{\omega}=\tilde{\omega}_i=\omega_i'+i\omega_i''=0$ para $T=T_o$, é válida no

limite de estabilidade. Entretanto, se T \neq T_o, implica que $\tilde{\omega}_{i}\neq 0$ Segundo esta teoria, a existência da lei de Curie-Weiss para a constante dielétrica implica na existência do "soft mode" de frequência complexa que vai para zero para T = T_o.

Este fato será amplamente discutido e colocado em evidência em nosso trabalho, quando apresentarmos os nossos resultados.

No caso do "soft mode" de natureza ressonante teremos $|\omega'| >> |\omega''|$ e para $|\omega'| << |\omega''|$, a natureza do "soft mode" é de relaxação, do tipo de Debye. Para o caso dos ferroclétricos com um modo ativo no infravermelho, sem amortecimento, $\omega' \neq 0$ e $\omega''=0$ obtém-se da expressão (1.5) a relação de Lyddane-Sacks-Teller - (L.S.T.), como:

$$\frac{\varepsilon(0)}{\varepsilon(\infty)} = \frac{\omega_{\rm L}^{2}}{\omega_{\rm T}^{2}}$$
 (1.7)

onde ω_L' é o zero e ω_T' o polo da função dielétrica $\epsilon(\omega)$.Para um cristal cúbico e diatômico, ω_L' é a frequência do fonon ótico - longitudinal e ω_T' a frequência do fonon ótico transversal, ambas no centro da zona de Brillouin. Entretanto, se como verificado-experimentalmente, ω_L independe da temperatura, então a relação L.S.T., juntamente com a lei de Curie-Weiss para a constante die létrica estática, predizem também um comportamento do "soft mode" como um fonon transversal ótico, atívo no infravermelho, então ,

$$\omega_{\rm T}^{1/2} = A(T - T_0),$$
 (1.8)

onde A é constante.

Para o caso do modo de Debye, (relaxação pura) $\omega'=0$, $\omega''\neq 0$ então,

$$\varepsilon(\omega) = \varepsilon(\infty) + \frac{\varepsilon(0) - \varepsilon(\infty)}{1 + i\omega\tau}$$
 (1.9)

onde $\tau = \frac{1}{\omega''}$; hã somente um polo ω''_p e um zero ω''_L da função -

dielétrica ε(ω) e ambos são imaginários. A relação L.S.T. fica:

$$\frac{\varepsilon(0) - \omega_{\mathrm{p}}^{"}}{\varepsilon(\infty) - \omega_{\mathrm{L}}^{"}} \tag{1.10}$$

agora linear ao invés de quadrática em frequências.

A lei de Curie-Weiss para $\varepsilon(0)$ e a independência de - $\omega_L^{\prime\prime}$ com a temperatura levam a um abaixamento crítico do tempo de relaxação de Debye;

$$\tau = \frac{1}{\omega_{p}^{"}} \quad \alpha \quad \frac{1}{T - T_{o}}$$

$$(1.11)$$

A principal diferença entre o "soft mode" de natureza puramente ressonante e de relaxação, é na formação do abaixamen to crítico quando $T = T_0$. Num sistema "displacive", as partesreais e imaginárias da frequência complexa do "soft mode", ge ralmente são diferentes de zero, e, $\omega' \neq 0$, $\omega'' \neq 0$, se $T \neq T_0$. Este "soft mode" será de natureza ressonante, embora possa ser fortemente amortecido. No sistema tipo ordem-desordem a parte imaginária da frequência do "soft mode" poderá ser também diferente de zero, $\omega' \neq 0$ se $T = T_0$, mas a parte real da frequênciado "soft mode" será realmente diferente de zero, $\omega' \neq 0$, como no sistema em estudo (KDP) onde o tunelamento é importante.

O propósito destas observações feitas é o de mostrarmos que para cristais do tipo KDP, não centrosimétricos na faseparaelétrica, ω_{T}^{1} descrito na equação (1.8) apresenta certas van tagens ao ser estudado pela técnica do espalhamento Raman, utili zado por nós neste trabalho, com relação às técnicas experimen tais usuais. No espalhamento de neutrons por exemplo, o fluxo de neutrons, na maioria dos reatores \tilde{e} da ordem de 10^9 a 10^{12} neu trons cm⁻² s⁻¹, no centro do reator, portanto muito menos na amostra e não possibilita um estudo sistemático de transição de fase. Na técnica do infravermelho, há possibilidade de se estudar fonons até aproximadamente à frequência de 20 cm⁻¹, pois abaixo dela ha enfraquecimento da energia da fonte tornando a detecçãomais difícil. No espalhamento Raman, além da melhor resolução , pode-se estudar fonons de energia bastante baixa, até ~5 cm⁻¹ da linha do Laser, com a vantagem de se poder realizá-lo com baixocusto em relação às demais técnicas.

I.2: <u>Estrutura dos cristais do tipo</u> KH₂PO₄

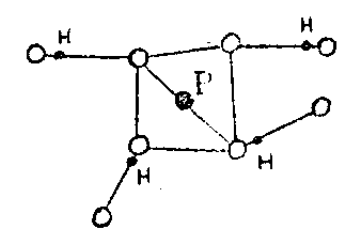
O cristal, fosfato di-hidrogenado de potássio $\mathrm{KH_2PO_4}$, geralmente chamado pela sua fórmula abreviada de KDP, se cristaliza no sistema tetragonal à temperatura ambiente. A esta temp<u>e</u>

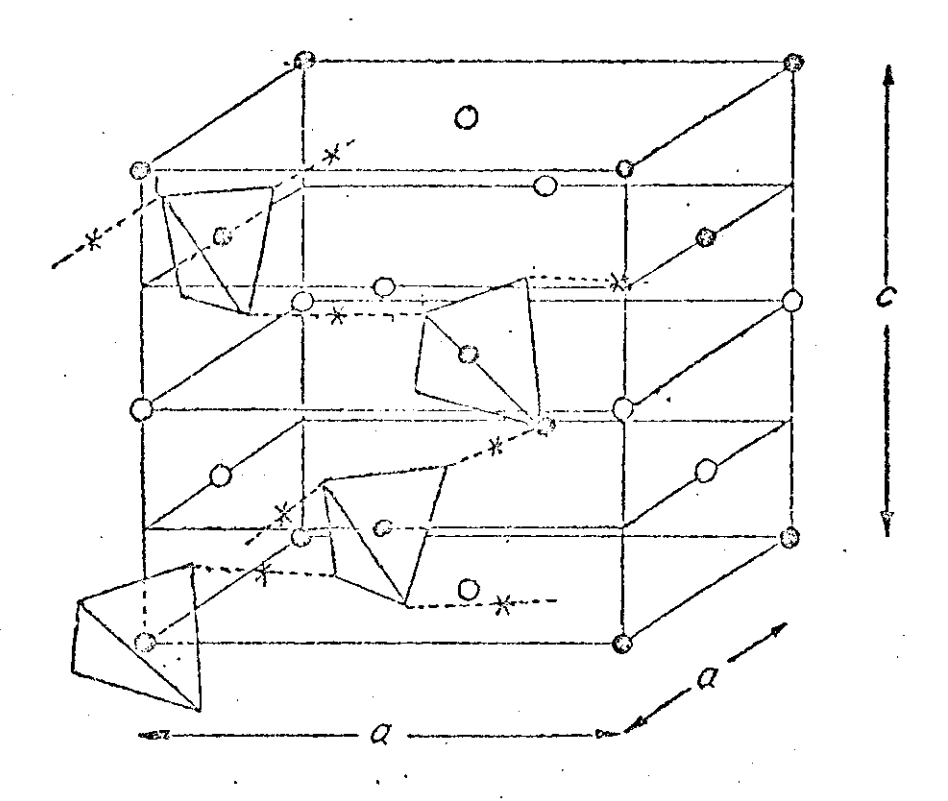
ratura, sua estrutura cristalina foi determinada por West (7) - em 1930 e foi confirmada por Frazer e Pepinsky (8) em 1953 utilizando a técnica do Raio X; e suas propriedades ferroelétricas - em 1935 por Busch e Scherrer (9). Na fase paraelétrica o cris - tal pertence ao grupo espacial D_{2d}^{12} (142d), e na fase ferroelétrica o cristal é ortorrômbico e o grupo espacial é C_{2v}^{19} (Fdd2), com temperatura de transição de 123°K.

A estrutura do cristal é mostrada esquematicamente - pela célula unitária, na figura I.1. A célula unitária contém - quatro moléculas de KDP e suas constantes de rede são: $a=7.434~\Lambda^{\rm O}$ e c=6.945 $\Lambda^{\rm O}$. Cada átomo de fósforo é cercado por quatro oxigênios nos vértices de um tetraedro quase regular, formando os grupos ${\rm PO}_4$. Estes grupos, juntamente com os átomos de potássio (K) - formam uma estrutura de tal modo que os átomos de potássio e fósforo estão alternadamente colocados à distância C/2, na direçãodo eixo C. Cada grupo ${\rm PO}_4$ está ligado a quatro outros grupos i - dênticos, espaçados de c/4 ao longo do eixo c.

Esta ligação é de tal maneira que existe uma ligação - de hidrogênio entre um oxigênio "mais alto" de um grupo PO₄ e um oxigênio "mais baixo" do grupo PO₄ vizinho, e cada ligação hidrogênica se situa quase que perpendicularmente ao eixo C.

Estudos de difração de neutrons realizados por Bacon - e Pease (10), revelaram que somente dois hidrogênios estão localizados mais próximos de um grupo qualquer PO₄, e como um grupo, eles formam os ions H₂PO₄. Assim, há seis maneiras pelas quais os hidrogênios possam se localizar do modo citado acima, dando - origem a seis diferentes configurações do grupo H₂PO₄: duas quando os hidrogênios estão mais próximos de ambos, tanto do oxigê - nio "mais alto" como do oxigênio "mais baixo" e quatro quando - os hidrogênios estão mais próximos do oxigênio "mais alto" e de um oxigênio " mais baixo". Ambos os casos estão ilustrados nas - figuras abaixo:





tetraedro de oxigênio

hidrogênio (H)

fósforo (P)

potássio (K)

Fig.I.I-Estrutura Cristalina do KH₂ PO₄

O tetraedro PO₄ está também ligado ao átomo de potás - sio e cada átomo de potássio é cercado por oito oxigênios e es - tando mais próximo de quatro deles do que dos outros quatro. Os átomos de potássio e fósforo se encontram situados verticalmente um, acima do outro.

Informações a respeito da localização dos hidrogêniosna estrutura à temperatura ambiente, foi dada pela projeção Fourier no plano (001), também realizada por Bacon e Pease, mostrando a posição do núcleo do hidrogênio não muito bem definidamas manchada entre duas posições, separadas de aproximadamente 0.35 A°. A 77°K uma projeção Fourier semelhante, mostraram as posições mais bem definidas.

Finalmente na tabela I.l as posições atômicas para a c $\tilde{\mathbf{e}}$ lula primitiva do KDP.

De um modo geral, toda a consideração feita até agora para o KDP, vale a princípio para todos os seus isomorfos. Estes cristais podem ser considerados como compostos de ions A^{\dagger} e B^{\dagger} , com A = K, Rb, Cs e B = H_2PO_4 ou H_2AsO_4 . Destes compostos, serão objetos de nosso estudo, além do KDP, considerado como cristal - "base", o RbH_2PO_4 (RDP) e RbH_2AsO_4 (RDA) e RbD_2AsO_4 (D-RDA) que serão comparados em relação aos nossos resultados.

I.3: <u>Propriedades físicas dos cristais do tipo do KDP</u>

Mencionaremos neste tópico algumas propriedades físicas dos cristais do tipo do KDP, levando em consideração o fato de que as ordens de grandezas mencionadas para o cristal "base" - (KDP) podem ser diferentes em relação aos seus isomorfos, entretanto, as propriedades físicas podem ser consideradas como idênticas.

I.3.1: <u>Propriedades dielétricas e suas não linearidades</u>

A constante diclétrica do KDP tem sido estudada por muitos autores. Em 1938, Busch (11) mostrou o comportamento da constante em função da temperatura. Para o KDP as medidas das constantes diclétricas ao longo do eixo a (ϵ_a) e ao longo do eixo $c(\epsilon_c)$, respectivamente direções paralelas ao eixo x e z, mostra ram um valor da ordem de 50 à temperatura ambiente. à medida quese resfria o cristal, ϵ_c aumenta hiperbolicamente e atinge um valor bastante alto, da ordem de 10^5 , próximo à temperatura de transição. Abaixo desta temperatura, ϵ_c cai rapidamente, mas não

	GRUPO ESI	PACIAL I 42d-D _{2d} , Z= 2
OMOTÀ	SIMETRIA LOCAL	POSIÇÕES ATÔMICAS NA CELULA PRIMITIVA
P	S ₄ (4)	$(0,0,0)$, $(\frac{1}{2},0,\frac{1}{2})$
К	S ₄ (4)	$\left(0,0,\frac{1}{2}\right),\left(\frac{1}{2},0,\frac{3}{4}\right)$
Н	C ₂ (2)	$\left(\frac{1}{4}, u, \frac{1}{8}\right), \left(u, \frac{3}{4}, \frac{7}{8}\right) \left(\frac{3}{4}, \overline{u}, \frac{1}{8}\right), \left(u, \frac{1}{4}, \frac{7}{8}\right)$
0	C ₁ (1)	$(x,y,z),(\overline{x},\overline{y},z),(\overline{y},x,\overline{z}),(y,\overline{x},\overline{z}).$
		$\left(\frac{1}{2}-X,Y,\frac{1}{4}-Z\right),\left(\frac{1}{2}+X,\overline{Y},\frac{1}{4}-\overline{Z}\right),$
·		$\left(\frac{1}{2}+Y,X,\frac{1}{4}+Z\right),\left(\frac{1}{2}-Y,X,\frac{1}{4}+Z\right)$

descontinuamente. Esta queda pode ser explicada baseada no efeito de saturação dielétrica, observada antes do ponto de Curie, desde que a constante dielétrica decresça quando o cristal é polarizado por um campo externo. Na região ferroelétrica a polarização é espontânea e causa um decréscimo de $\varepsilon_{\rm c}$ com o aumento da polarização. A componente $\varepsilon_{\rm a}$, semelhantemente a $\varepsilon_{\rm c}$, mostra uma anomalia na temperatura de transição, entretanto muito me nos pronunciada do que $\varepsilon_{\rm c}$, pois seu valor é aproximadamente constante âquele da temperatura ambiente, caindo rapidamente abaixo da temperatura de transição . Acima da temperatura de transição (-50°) a constante dielétrica $\varepsilon_{\rm c}$ segue a lei de Curie-Weiss:

$$\varepsilon_{\rm C} = \frac{\rm C}{\rm T - T_{\rm o}} \tag{3.1}$$

com C = 3523° K, T_{o} = 123° K, de acordo com Baumgartner (12),en - tão a temperatura de Curie-Weiss, T_{o} , coincide com a temperatura de transição T_{c} .

Outros autores como Shil'nikov (13), Belyaev (14) e Barkla (15), mostraram a variação da constante dielétrica com a temperatura em relação à frequência; entretanto, estes resulta - dos são incompletos, desde que os estudos foram feitos para fre quências bastante baixas ou relativamente longe da região de transição de fase, não havendo informação suficiente na dispersão do mecanismo de polarização dos domínios.

Recentemente, em 1973, Pereverzeva e colaboradores (16) estudaram a constante dielétrica em função da temperatura num intervalo de -196° C a 180° C para frequências entre 10^{3} a $4x10^{10}$ Hz utilizando a técnica de microonda, para o cristal de KDP.

Os resultados estão mostrados na figura I.2.

Pode-se verificar que próximo à transição de fase háuma queda forte no valor da constante dielétrica mostrando que o processo dos domínios é mais fraco. Esta queda é uma evidência a favor da sugestão de que a transição de fase no KDP, segundo o autor, é do tipo de transição de primeira ordem.

I.3.2.: Polarização espontânea

A polarização espontânea deste tipo de material foi es tudada particularmente por Busch (11) e outros autores como Beck e Granicher (17). Ela pode ser medida diretamente da altura da

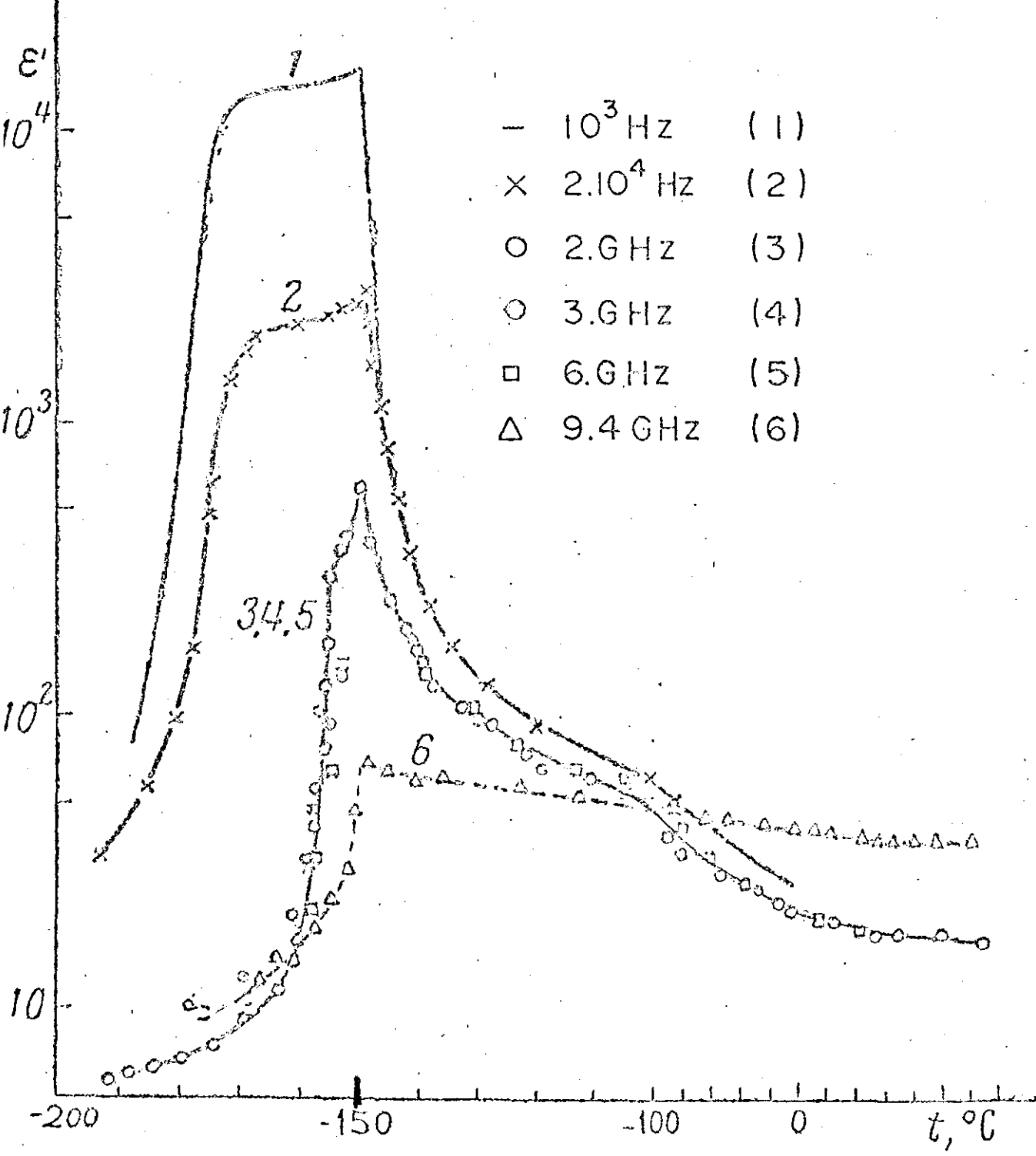


Fig: I.2 VARIAÇÃO DA CONSTANTE DIELÉ-TRICA COM A TEMPERATURA PARA O KDP

curva da histerese, quando o campo aplicado é suficiente para produzir a saturação. A polarização espontânea abaixo do ponto de Curie cresce abruptamente e atinge um valor quase constante o qual persiste à medida que se abaixa a temperatura (observações foram feitas um pouco abaixo de 20°K). No cristal de KDP a polarização espontânea ao longo do eixo e é reconhecida à princípio como devido a uma deformação do complexo K-PO4 em relação à sua posição de simetria na fase paraelétrica. O valor da polarização iônica pode ser calculado (18), considerando que o potássio e o fósforo podem se mover ao longo do eixo e do cristal, mas em direções opostas em relação ao oxigênio de 0,04 A° e 0,08 A° respectivamente. O valor calculado da polarização espontânea é de 5,0 x 10⁻⁶ C/cm² enquanto que o valor experimental (19) é da ordem de 4,7 x 10⁻⁶ C/cm² a 100°K, portanto 23°K abaixo da temperatura de transição.

I.3.3.: Outras propriedades

O calor específico no KDP, seus isomorfos foi medido por um grande número de autores cujos resultados apresentam discordâncias. De um modo geral, a temperatura de Curie, a curva do calor específico em função da temperatura apresenta uma anomalia apresentando a forma típica λ . Em geral as diferenças encontradas pelos autores está na forma da curva, mas não na área sobela. Devido a esta diferença Bantle(20) explicou que é possível que hajam variações na temperatura de transição nas diferentespartes do cristal causadas por compressões locais e campos locais Para o KDP Bantle achou para o calor de transição, valor da ordem de 57 cal/mol.

Reese e May (21) e Reese (22) realizaram medidas de alta resolução da capacidade térmica no cristal do KDP, bem próximas à temperatura de transição de fase e encontraram também uma anomalia do tipo λ , interpretada como uma transição de segunda ordem.

As propriedades óticas de qualquer substância podem ser afetadas por compressões mecânicas externas; este efeito é comumente chamado de foto-elasticidade, o qual, em cristais é usualmente chamado de efeito elasto-ótico ou efeito piezo-ótico, e ocorre na maioria dos cristais. Nos cristais que pertencem ao grupo pontual não centrosimétrico, as propriedades óticas, como o índice de refração por exemplo, podem ser afetadas por campo -

elétrico externos, ocorrendo o que se chama de efeito eletro-ő-tico. $^{\circ}$

Edward e Cummins (23) mostraram experimentalmente aforte dependência com a temperatura do coeficiente elasto-ótico $p_{66}^{E=0}$ para o KDP. Foi observada uma anomalia neste coeficiente devido ao comportamento da constante diclétrica. Os resultados mostraram uma variação deste coeficiente de -0,0552 para a temperatura ambiente até 0,5 para a temperatura de 122 $^{\rm O}$ K,mostrando um valor quase finito para $p_{66}^{E=0}$ quando T=T_C

O coeficiente eletro-otico r_{63} para o KDP foi estimado por Carpenter (24) como sendo da ordem de 8% menor que o coeficiente eletro-otico r_{63} = (26,4 ± 0,7) x 10^{-12} m/v à temperatura ambiente, do KD*P. O comportamento dos coeficientes eletro-oticos para o KDP e KD*P em função da temperatura pode ser verificado na realização experimental de Zwicker e Scherrer (25).

I.4: <u>Espectroscopia Raman e fonons nos cristais de KDP e iso-</u>morfos.

O espalhamento Raman tem sua origem, conforme Sir C.V. Raman, nas primeiras observações do mesmo em 1922, em Calcutá - (Îndia). Nestas observações descobriu o espalhamento inelástico da luz que hoje leva o seu nome. Após esta descoberta, um grande número de trabalhos foi publicado com grandes contribuições do - efeito Raman no campo da Física. Em 1962 Porto e Wood (26) e em-1964, Leite e Porto (27) mostraram as vantagens da utilização do Laser na espectroscopia Raman, utilizando respectivamente Lasers de Rubi e Hélio-Neônio. Esta utilização do Laser como fonte de - excitação para a espectroscopia Raman foi tão importante que atu almente, o estudo do espalhamento Raman implica quase que obriga toriamente na utilização do Laser.

A medida do espectro Raman de cristais, é hoje um dos - principais métodos para a obtenção de informações sobre as fre - quências de vibrações da rede cristalina. Várias excitações po - dem ser estudadas pelo efeito Raman (transições eletrônicas,ondas de spin, etc.), entretanto, a excitação associada à dinâmicade rede, que é a objetivada em nosso trabalho, é simplesmente conhecida com o nome de fonon.

Um feixe de luz, passando através de um cristal, intera ge com as excitações elementares do cristal; o espalhamento ine -

lástico da luz em fonons acústicos de longo comprimento de on - da, dá então origem ao espectro Brillouin, enquanto que o espa - lhamento dos fonons óticos dá origem ao espalhamento Raman. Nes - tes dois casos, o problema experimental consiste nas medidas da frequência, intensidade e polarização da luz espalhada. No espa lhamento Raman, os fonons óticos estão, na maioria dos cristais- num intervalo de número de onda de 10 a 3000 cm⁻¹, enquanto queno Brillouin, os fonons acústicos estão num intervalo de 1 a - 5.10⁻² cm⁻¹.

Um fonon ótico pode ser Raman ativo ou infravermelho ativo, ou ambos simultaneamente, ou ainda pode não ser ativo em ambos os efeitos. A atividade do fonon depende se o mesmo, tem associado, uma polarizabilidade diferente de zero (efeito Raman) e/ou um momento de dipolo elétrico permanente diferente de zero-(infravermelho).

Para o estudo do espalhamento Raman consideramos uma - luz incidente (Laser) de frequência angular ω_L e momento $\hbar \vec{k}_L$ que pode interagir com o cristal para criar ou destruir uma ou mais quantas de vibração da rede (fonon); a energia total $\hbar \omega$ ganha - ou perdida pela rede, é compensada pelo decréscimo ou acréscimo na frequência ω_c e no momento $\hbar \vec{k}$ da luz espalhada.

O efeito Raman pode ser dividido ordinariamente em duas partes: efeito Raman de primeira ordem e efeito Raman de segunda ordem; no primeiro caso um simples fonon é criado ou des truido no processo do espalhamento, enquanto que no segundo, dois fonons estão envolvidos.

As condições requeridas para a conservação da energia e do momento para o efeito Raman de primeira ordem são dadas por:

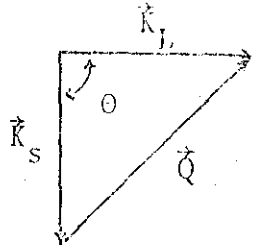
$$\vec{K}_{S} = \vec{K}_{L} + \vec{Q}$$

$$\omega_{S} = \omega_{L} + \omega$$
(4.1)

onde \vec{K} e \vec{Q} são vetores de onda, e \vec{Q} e ω são relativos aos fonons Os sinais menos e mais correspondem as linhas chamadas de Stokes e anti-Stokes no espectro da radiação espalhada, onde a parte da radiação espalhada que possui frequência menor que a luz incidente- é chamada de componente Stokes, enquanto que a parte que possui frequência maior que a luz incidente é chamada de anti-Stokes.

Para o efeito Raman de primeira ordem podemos considerar

a seguinte ilustração esquemática para a conservação do vetor - de onda.



onde $\vec{k}_L = \vec{k}_s + \vec{Q}$ e 0 é o ângulo entre as ra - diações espalhadas e incidente: 90° .

Se considerarmos:

$$|\vec{K}_L| = \frac{1}{\lambda_L} = \frac{1}{5.10^3 \text{A}^{\circ}} = 2 \times 10^4 \text{cm}^{-1}$$

$$|\vec{K}_{S}| = \frac{1}{\lambda_{S}} = \frac{1}{5.10^{3} \text{A}^{\circ}} = 2 \times 10^{4} \text{cm}^{-1}$$

teremos então: $\left|\vec{k}_L\right| = \left|\vec{k}_S\right| e \left|\vec{Q}\right| = \left|\vec{k}_L - \vec{k}_S\right|$

 $\left|\vec{Q}\right| = \left|\vec{R}_L\right| \text{ sen } \Theta/2 \text{, com valor māximo para sen } \Theta/2 = 1 \text{, então },$

 $\left|\vec{Q}\right|_{\text{max}} \approx 2 \times 2 \times 10^4 \text{cm}^{-1}$,

portanto o máximo valor do vetor de onda do fonon é limitado por \P/a , ou por outros limites finais da zona de Brillouin, de pendendo da direção, onde <u>a</u> é a constante da rede. Como este va lor típico é da ordem de $3x10^8 \, \mathrm{cm}^{-1}$ pode-se concluir com aproximações que 0 = 0. A condição de conservação de 0 = 0 Raman de primeira ordem nos restringe à observação dos fonons óticos de0 = 0, da ordem de 0 = 0 com a luz incidente na região visível. Esta limitação não existe para efeito Raman de segunda ordem. Este valor mencionado é pequeno comparado com 0 = 0 con fonons o espalhamento Raman de primeira ordem possuem comprimentos de onda muito longos comparados com a constante da rede.

O efeito Raman pode ser originado pelas vibrações darede cristalina em cristais que possuem um certo tipo de simetria; estas vibrações são comumente chamadas de Raman ativas. Um fonon pode ser simultaneamente Raman ativo e infravermelho ativo somente em cristais que possuem estrutura sem centro de inversão.

Como citamos anteriormente existem tres técnicas bá -

sicas, bem estabelecidas para a determinação dos fonons óticos de um cristal; são elas o espalhamento Raman, absorção e refle - xão infravermelhos e o espalhamento de neutrons. Com o infraver melho e o Raman de primeira ordem pode-se determinar vibrações- do cristal de longo comprimento de onda ($\vec{K} = 0$), isto é, pode-se determinar fonons correspondentes ao centro da zona de - Brillouin, no ponto $\Gamma(0,0,0)$, no espaço \vec{K} . A utilização do Raman ou do infravermelho, ou ambos é determinada pela simetria das regras de seleção. No espalhamento de neutrons, os experimentos não são restritos a pequenos vetores de onda e podem ser utilizados para determinar a dispersão dos ramos dos fonons na zona de Brillouin. Comparando as técnicas, poderíamos dizer que o espalhamento de neutrons completa as outras duas, no que se refere a informações, mas não compete com ambas em termos de resolução para fonons da ordem de $\vec{K} = 0$.

Na fase paraelétrica a estrutura do KDP, como já vi-mos pertence ao grupo espacial D_{2d}^{12} (I $\bar{4}$ d2) com duas unidades de fórmula na célula primitiva, e na fase ferroelétrica sua estrutura é ortorrômbica com o grupo espacial C_{2v}^{19} (Fdd2), também - com duas unidades de fórmula. Se considerarmos que um átomo possui tres graus de liberdade, num cristal com N átomos na célula primitiva, haverá 3N graus de liberdade. Se supusermos que todos os N átomos se movem de uma mesma quantidade, na mesma direção, sem causar qualquer alteração nas dimensões internas da célula - primitiva, podemos dizer que os 3N graus de liberdade da célula primitiva, três não são vibrações genuínas, mas translações. - Assim dos 3N graus de liberdade, somente 3N-3 serão combinados - para constituirem vibrações genuínas.

A análise da teoria de grupo realizada por Shur (28) - mostra que há 45 modos óticos para o KDP e isomorfos. De um modo geral, pode-se aplicar uma simples regra de seleção para a deter minação dos modos Raman ativos; seja,

$$\chi(R) = 4 \cos^2 \theta + 2 \cos \theta$$
Raman (4.2)

o traço de u'a matriz redutível do grupo, onde Θ é o ângulo de rotação para os elementos de simetria do grupo, e o sinal mais ou menos indica se a rotação é própria ou imprópria, e seja,

$$N_{\alpha} = \frac{1}{g} \sum_{R} \chi_{R}^{*} (R) \cdot \chi_{i}(R), \qquad (4.3)$$

onde N_{α} indica o número de vezes que a representação irredutível α está contida na representação considerada, gindica a soma total do número de operações, $\chi_{\alpha}^{*}(R)$ é o complexo conjugado do carácter da representação α sob a operação R e $\chi_{i}(R)$ é o caráter redutível. Utilizando as equações (4.2) e (4.3), pode mos calcular N_{α} e dizemos que $N_{\alpha} \neq 0$ o modo é Raman ativo, e, se $N_{\alpha} = 0$ o modo é Raman inativo.

Para classificarmos o número total de vibrações sob di ferentes representações temos que aplicar as operações de simetria sobre os átomos na célula primitiva. O primeiro passo seria o de encontrarmos o caráter redutível de todos os modos normais de vibrações com a utilização da seguinte equação:

$$\chi(R) = (U_R - 1) (\pm 1 + 2 \cos \theta)$$
 (4.4)

onde U_R é o número total de átomos que permanecem invariantes - sob a operação de simetria R. Depois, este caráter $\chi(R)$ pode - N ser reduzido com a utilização da equação (4.3).

Na fase paraelétrica os modos óticos podem ser clas - sificados como: $4A_1 + 5A_2 + 6B_1 + 6B_2 + 12E$. Os tensores polarizabilidade para os modos Raman ativos são:

$$A_{1}:\begin{pmatrix} xx & 0 & 0 \\ 0 & yy & 0 \\ 0 & 0 & zz \end{pmatrix}; \quad B_{1}:\begin{pmatrix} xx & 0 & 0 \\ 0 & -yy & 0 \\ 0 & 0 & 0 \end{pmatrix}; \quad B_{2}(z):\begin{pmatrix} 0 & xy & 0 \\ yx & 0 & 0 \\ 0 & 0 & 0 \end{pmatrix}$$

$$E(x) = \begin{pmatrix} 0 & 0 & 0 \\ 0 & 0 & yz \\ 0 & zy & 0 \end{pmatrix} \qquad E(y) = \begin{pmatrix} 0 & 0 & xz \\ 0 & 0 & 0 \\ zx & 0 & 0 \end{pmatrix},$$

onde a polarização dos modos infravermelhos ativos está indicada pela coordenada entre parêntesis.

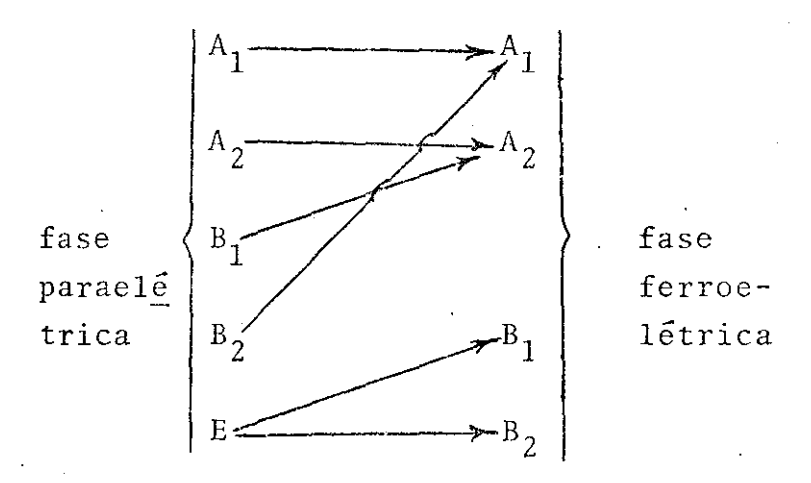
A inclusão dos átomos de hidrogênio na análise acima, não justifica, como estabelecido, que o átomo de hidrogênio se mova em um poço de potencial anarmônico, já que as considerações e análises feitas acima foram baseadas na aproximação harmônica.

Na fase ferroelétrica, todos os 45 modos óticos são Ra man ativos e podem ser classificados como seguem: $10\Lambda_1$ + $11\Lambda_2$ + $12B_1$ + $12B_2$. Os tensores polarizabilidade são:

$$A_{1}(z):\begin{pmatrix} xx & 0 & 0 \\ 0 & yy & 0 \\ 0 & 0 & zz \end{pmatrix}; A_{2}:\begin{pmatrix} 0 & xy & 0 \\ yx & 0 & 0 \\ 0 & 0 & 0 \end{pmatrix}$$

$$B_{1}(x):\begin{pmatrix} 0 & 0 & xz \\ 0 & 0 & 0 \\ zx & 0 & 0 \end{pmatrix}; \quad B_{2}(y):\begin{pmatrix} 0 & 0 & 0 \\ 0 & 0 & yz \\ 0 & zy & 0 \end{pmatrix}$$

As simetrias acima e abaixo da transição de fase estãocorrelacionadas como seguem:



A análise dos modos normais de vibração do KDP e isomorfos pode ainda ser feita levando-se em consideração a sepa ração entre os átomos pesados dos mais leves, para $\vec{K}=0.Assim$ na célula primitiva há doze átomos pesados de K - O - P, poishá duas unidades de fórmula por célula e portanto 36 modos normais.

Segundo Montgomery (29) podemos relacioná-los, para a fase paraelétrica como seguem:

$$\Gamma = 3A_1^* + 3A_2^* + 5B_1 + 5B_2 + 10E$$

onde os asteríscos em A_1 e A_2 , indicam que nestes tipos de vibrações, somente os átomos de oxigênio estão vibrando. Estes modos podem ser separados em modos óticos e acústicos como:

$$\Gamma \text{ (oticos)} = 3\Lambda_1 + 3\Lambda_2 + 5B_1 + 4B_2 + 3E$$

$$\Gamma \text{ (acusticos)} = B_2 + E$$

Uma outra classificação dos modos óticos em vibrações - externas (0 ~ 300 cm $^{-1}$) e internas (> 300 cm $^{-1}$) da rede é pos - sível, embora sem muito rigor, considerando que as forças entre- os átomos P e O, no grupo PO $_4$ são muito mais fortes que as ligações deste grupo com o resto do cristal. As vibrações externas - são então determinadas, considerando-se os grupos PO $_4$ como pon - tos em lugares ocupados pelo P e as vibrações internas do grupo-PO $_4$ são consideradas separadamente. Assim, podemos relacionar as vibrações externas como dadas por Katiyar (30).

$$\Gamma$$
 (Translação) = $2B_2 + 2B_1 + 4E$; externas

separando os modos óticos dos acústicos:

$$\Gamma$$
 (Translação-óticos) = $2B_1 + B_2 + 3E$; externas

estes modos foram analisados por Bhagawantan e colaboradores, - (31) em detalhes.

Ainda segundo Katiyar (30) as vibrações externas da rede do tipo de rotação podem ser relacionadas como:

$$\Gamma$$
 (Rotação-óticos) = $A_1 + A_2 + 2E$ externas

Assim os modos óticos <u>externos</u> de vibração da rede do tipo de rotação e translação na <u>fase paraelétrica</u> podem ser relacionados como:

$$\Gamma$$
 (oticos) = $A_1 + A_2 + 2B_1 + B_2 + 5E$ externos

As vibrações internas do grupo PO₄ podem ser obtidas, -subtraindo-se as vibrações externas da rede, do número total devibrações, assim:

$$\Gamma$$
 (oticos) = $2A_1 + 2A_2 + 3B_1 + 3B_2 + 4E$ internos

Kaminov e colaboradores (32) e Montgomery (29) analisa ram as vibrações do hidrogênio através de considerações anarmônicas, e de acordo com eles, essas vibrações podem ser classificadas como seguem:

$$\Gamma$$
 (hidrogênio) = $A_2 + B_2 + E$

Na <u>fase ferroelétrica</u>, para a translação pode-se escr<u>e</u> ver:

$$\Gamma$$
 (translação-oticos) = $A_1 + 2A_2 + 3B_1 + 3B_2$

O número total de vibrações externas é dado por:

$$\Gamma$$
 (oticos) = $2A_1 + 3A_2 + 5B_1 + 5B_2$, externas

não incluindo o hidrogênio.

I.5: Trabalhos anteriores em cristais do tipo do KDP

Nosso objetivo nestas considerações será o de apresentarmos um breve resumo dos principais trabalhos realizados sobre o KDP e seus isomorfos, e que se relacionam com este que realizamos.

Uma das primeiras medidas quantitativas para o modo de mais baixa frequência, como função da temperatura, realizadas para o KDP, foi aquela apresentada por Kaminov e Damen (33) utilizando a técnica do espalhamento Raman. O espectro Raman foi observado utilizando um Laser de argônio, com incidência na direção do eixo x do cristal e a luz espalhada observada na direção do eixo y. Os feixes incidentes e espalhados, foram polarizados nas direções y e x, respectivamente, assim, somente os modos que se transformam com polarizabilidade ótica do tipo $\alpha_{\rm xy}$ e polarização da rede $\rm P_{\rm Z}$ são medidos, portanto uma geometria do tipo $\rm x_{\rm (yx)y}$. O resultado revelou um modo ferroelétrico de baixa frequência, superamortecido, dependente da temperatura e com simetria $\rm B_2$, que aparece como uma cauda sobre a linha Rayleigh.

Este modo pode ser representado por uma simples função de um os cilador harmônico amortecido.

Entretanto os resultados de Kaminov e Damen somente se estenderam num intervalo de frequência de -140 a 140 cm⁻¹ para-ambas as fases, paraelétrica e ferroelétrica do KDP.

No trabalho de Kaminov, e em outros posteriores, com experimentos semelhantes, o modo superamortecido de simetria $\rm B_2$ era observado e o "fitting" dos dados experimentais eram feitos com a utilização da função resposta espectral ou a intensidadedo espalhamento $\rm S(\omega)$ dada na seguinte forma:

$$S(\omega) = R[n(\omega) + 1] \operatorname{Im}[G(\omega)] \mathscr{I}$$
 (5.1)

onde R é uma constante de normalização;

$$G(\omega) = (\omega_1^2 - \omega^2 + i \Gamma_1 \omega)^{-1}$$
 (5.2)

é a função de Green para o modo considerado, sem acoplamento com outro modo;

$$n(\omega) = \exp\left(\frac{h\omega}{kT} - 1\right)^{-1}$$
 (5.3)

é um fator térmico quântico (fator de Bose-Einstein); ω_1 e Γ_1 são respectivamente a frequência e o amortecimento do modo 1, -considerado.

Neste caso, quando o amortecimento era muito grande, a maioria da intensidade espalhada deste modo ocorria a baixa fre quência ou seja $\,\omega < \omega_1^{}$, assim, $G(\omega)$ pode ser escrita:

$$G(\omega) = \omega_1^{-2} (1 + i \tau_1 \omega)^{-1}$$
 (5.4)

Debye para o modo superamortecido. Este fato é equivalente a dizer que para grande amortecimento, a qualidade do "fitting" é insensível para valores absolutos de Γ_1 e ω_1 , e que estes dois parâmetros estão altamente correlacionados.

Os resultados dos "fittings" de Kaminov e Damen mostraram a variação do amortecimento e da frequência do modo superamortecido com a temperatura como dado abaixo:

$$\omega_1^2 = \alpha \frac{T - T_c}{T}$$

$$\Gamma_1 = \text{constante}$$
(5.5)

com,
$$\Gamma_1 = \text{constante}$$
 (5.6)

Embora a equação acima pareça ser diferente daquela do "soft mode", equação (1.8); elas são essencialmente a mesma, de vido ao fato de Γ_1 e ω_1 estarem altamente correlacionadas e toda a dependência com a temperatura de Γ_1 foi incluida em ω_1 , que Kaminov não considerou. Este trabalho de Kaminov é portanto incompleto pois ele não considerou o acoplamento entre o modo superamortecido e o modo ótico devido à vibração do K-PO,.

Katiyar e colaboradores (34) observaram estes modos s \underline{u} peramortecidos em vários arsenetos, isomorfos com o KDP, e es tenderam suas medidas experimentais até 250cm⁻¹, com o propósito de incluirem o modo ótico transversal (TO), de maior baixa frequência, também de simetria B₂. Mostraram que a assimetria da forma de linha deste modo sugeria um forte acoplamento anarmônico entre este modo e o modo superamortecido. Desta forma, chamando os dois modos de 1 e 2, para o superamortecido e o transversal ótico, respectivamente, escreveram a equação do a coplamento entre ambos da seguinte maneira:

$$\begin{bmatrix} R_{1}(\omega) & \Delta^{2} + i & \Gamma_{12}\omega \\ \\ \Delta^{2} + i & \Gamma_{12}\omega & R_{2}(\omega) \end{bmatrix} \begin{bmatrix} G_{11} & G_{12} \\ \\ G_{12} & G_{22} \end{bmatrix} = \begin{bmatrix} 1 & 0 \\ \\ 0 & 1 \end{bmatrix}$$

onde, $R_1(\omega)eR_2(\omega)$ são as funções respostas dos modos 1 e 2 res pectivamente. No formalismo do oscilador harmônico amortecido, estes modos podem ser escritos como:

$$R_{1}(\omega) = \omega_{1}^{2} - \omega^{2} + i\Gamma_{1}\omega$$

$$R_{2}(\omega) = \omega_{2}^{2} - \omega^{2} + i\Gamma_{2}\omega$$
(5.8)

onde, ω_1 , ω_2 , Γ_1 , Γ_2 , são as frequências ressonantes e as meias larguras (largura total da meia altura) dos fonons 1 e 2, e, Δ^2 e Γ são os acoplamentos real e imaginário respectivamente.

O espectro Stokes e anti-Stokes é dado por:

$$S(\omega) = R \begin{bmatrix} n(\omega) + 1 \\ n(\omega) \end{bmatrix} I_{m} \sum_{i,j} P_{i} P_{j} G_{i,j}(\omega)$$
 (5.9)

com i,j = 1,2 e onde P_1 e P_2 são as forças dos dois osciladores ("oscillator strenghts").

A função resposta espectral é dada por:

$$\chi(\omega) = \sum_{i,j} P_i P_j G_{i,j}(\omega)$$
 (5.10)

Este tipo de acoplamento não foi levado, como dissemosem consideração por Kaminov e Damen que utilizaram um simples oscilador harmônico para o "fitting" dos seus dados.

Neste novo modelo, os parâmetros que caracterizaram o modo ferroelétrico devem ser deduzidos da análise dos modos aco plados. Os resultados desta análise indicam a frequência do "soft mode" extrapolada para zero, à uma temperatura To, que é uma temperatura mais baixa que a temperatura de Curie.

Resultados semelhantes foram obtidos por She e colaboradores (35) para o cristal de KDP, onde o espectro, no interva lo de 140 a 250 cm $^{-1}$ foi incluido na análise.

Outros autores com Peercy e Samara (36) estudaram as propriedades dielétricas do RDP e os fonons Raman ativos, através da dependência com a pressão e temperatura. A escolha do -RDP, ao invés do KDP, segundo os autores, foi devido à compressibilidade do RDP ser maior que a do KDP.

Um efeito primário da pressão é o de produzir um grande deslocamento na temperatura de transição do cristal, para valores mais baixos.

Para altas temperaturas, na fase paraelétrica a constante dielétrica $\varepsilon_{\rm C}$ (ao longo do eixo c) obedece a lei de Curie-Weiss, para valores constantes de pressão; assim,

$$\varepsilon_{c} = A + \frac{C}{T - T_{O}}$$
 (5.11)

onde $T_0 = T_c$.

Modificações na lei Curie-Weiss, ou seja, para A=0 -foram observadas porque esta pequena constante torna-se relativamente significante para altas temperaturas. O valor encontradopara a constante de Curie a 1 bar foi de $(3430 \pm 15)^{0}$ K, e de cresce linearmente com o aumento da pressão. Foi também obser -

vado o comportamento isotérmico da constante dielétrica como função da pressão para T = $140^{\rm O}$ K. O resultado mostrou que a transição ferroelétrica-paraelétrica pode ser induzida pela pressãoe na fase paraelétrica $\varepsilon_{\rm C}({\rm P})$ obedece a expressão:

$$\varepsilon_{c} = \frac{c^{*}}{P - P_{0}} \tag{5.12}$$

onde C* e P_0 são constantes para uma dada temperatura. Este efeito mostra um comportamento linear de ε_c vs P, para o RDP, a $T=140^{\circ} \rm K$, foram encontrados por Peercy e Samara, C*=(530±5) Kbar e $P_0=0,24$ Kbar.

Para o estudo dos modos Raman ativos, quatro geometrias foram verificadas na fase tetragonal do RDP: $x(zz)y(A_1)$; - x(zy)y(E), $x(xy)x(B_2)$ e $z(xx)y(A_1 + B_1)$, numa região espectral de 0 a 1000 cm⁻¹ e à temperatura ambiente. Nossa atenção se concentrará nos modos de simetria B_2 que são objetos fundamentais do nosso trabalho.

O estudo da dependência da pressão do espectro Raman temperatura ambiente, mostrou para o cristal de RDP, novamente um modo superamortecido acoplado com um outro modo de mesma simetria. O tratamento realizado para a interpretação deste acopla mento seguiu novamente aquele realizado por Katiyar e colaboradores (34). Os parâmetros foram avaliados pelo método dos míni mos quadrados para o espectro todo, com exceção da região influenciada pela linha do Laser. O resultado mostrou novamente uma dependência do "soft mode" com a temperatura e também que o es pectro de simetria $B_2[y(xy)x]$ pode ser interpretado em termos do sistema de modos acoplados, e que o modo relacionado movimento protônico é fortemente amortecido. Peercy e Samara mos traram que a análise do sistema acoplado do espectro de simetria B₂, e o modelo de Kobayashi (mostraremos este modelo no Capítulo II) para a interação do proton com a rede, levam a expressões equivalentes para o "soft mode" do sistema; entretanto os valores quantitativos do modelo de Kobayashi demonstram uma inconsis na descrição do sistema acoplado, para o RDP.

Os autores anteriormente citados, Katiyar (34) e She - (35) também concluiram que o formalismo do pseudo-spin para o movimento do proton não descreve corretamente o "tunelamento"-do modo no sistema acoplado.

Recentemente, Lowndes e colaboradores (37) realiza -

- ram medidas de espalhamento de luz com dependência da temperatura para os modos de vibração. Raman ativos em ambas as fa ses paraelétrica e ferroelétrica nos cristais de $\mathrm{KH_{2ASO_{4}}(KDA)}$, RbH₂ASO₄(RDA) e CsH₂ASO₄(CsDA) e seus isomorfos deuterados correspondentes. Através dos espectros obtidos, identificaram osmodos óticos transversais (TO) internos, como sendo vibraçõesdo grupo ${\rm AsO}_4$, e as ligações O-H-O e O-D-O, como também determinaram suas simetrias e dependências com a temperatura. O espectro do modo de simetria B2, de baixa frequência, foi tambémanalisado pelo método dos mínimos quadrados com a utilização do modelo dos dois osciladores acoplados anteriormente mencionados representando o modo ferroelétrico e o fonon de mesma simetriae de mais baixa frequência. O resultado para os materiais deu terados revelou o modo ferroelétrico acoplado pelo menos com dois fonons de baixa frequência, entretanto, o " fitting" realizado com limitações, com a utilização do modelo dos osci ladores acoplados. Os gráficos de T/τ vs T, onde $\tau = \frac{\Gamma}{\omega^2}$ o modo ferroelétrico, em todos os compostos, revelaram um decrés cimo linear em T/τ com o decréscimo da temperatura T; para acoplamento real, T/T mostrou um amortecimento do modo fer roelétrico com a frequência indo a zero, bem abaixo da tempera tura de transição para cada composto, enquanto que para o acoplamento imaginário T/τ ia para zero a uma temperatura T_0 à temperatura de transição.

Posteriormente, Lagakos e Cummins (38) realizaram o espalhamento Raman para o CsH_2ASO_4 (Cs D A) para os mesmos mo dos de simetria B_2 citados e mostraram que em contraste com os estudos anteriores, principalmente aos estudos de Lowndes (37)-para este mesmo composto, não conseguiram um bom "fitting" li-near de $\text{T/}\tau$ vs T, mas sim com $\text{1/}\tau$ vs T.

Como podemos verificar, muitos autores mediram o es pectro dos fonons de simetria B_2 , de baixa frequência, numa sé rie de cristais do tipo do KDP e estudaram o acoplamento do mo do superamortecido ("proton-Tunneling") com o fonon TO de maisbaixa frequência, em função da temperatura, utilizando o modelo de dois osciladores harmônicos amortecidos acoplados, no formalismo da função de Green, de Katiyar e colaboradores (34)

Entretanto, os resultados revelam que não obtiveram - sucesso ao extrairem os valores das frequências $\omega_{\bf i}$ ou das meias larguras $\Gamma_{\bf i}$ dos dois modos acoplados, devido à presença de uma

alta correlação existente entre estes dois parâmetros. As diver gências entre estes autores ao colocarem em gráfico T/τ vs T ou $1/\tau$ vs T como resultados do "fitting "dos seus resultados experimentais, obtendo uma variação linear destes parâmetros coma temperatura, mostraram que a revelação do "soft mode" ainda não estava definitivamente solucionada para estes cristais. A extrapolação de T/τ vs T ou $1/\tau$ vs T revelou um valor de τ correspondendo ao modo de mais baixa frequência, para uma tem peratura T_0 abaixo da temperatura de transição , para cada caso, a qual revelava valores discordantes de um autor para outro

Além disso, em todos os estudos realizados que citamos, os autores não tomaram cuidado necessário em seus experimentos no sentido de obterem informações mais precisas próximo à transição de fase de cada cristal estudado; nesta região o número de pontos experimentais obtidos foi insatisfatório, em todos os casos, além de não considerarem os desvios experimentais

Por outro lado, Silverman (39), em seu estudo teórico-propôs um novo formalismo para a descrição dos fonons supera - mortecidos, que será visto no Capítulo IV, e, de acordo com - ele o oscilador harmônico amortecido não é uma boa aproximação-para descrever estes tipos de fonons. Este formalismo não foi - considerado anteriormente pelos autores citados.

Baseados nestes fatos, nós nos propusemos a retomar o problema, fazendo um estudo mais detalhado, com a utilização da técnica do espalhamento Raman, numa tentativa de esclarecermos melhor o comportamento físico do "soft mode" nos cristais de KDP,RDP,RDA e D-RDA.

I.6: Referências Bibliográficas

- 1) Vasalek, J., Phys. Rev. 17, 475 (1921)
- 2) Landayer, R., Young, D.R., and Drougard, M.E., Journal Appl. Phys. 27, 752 (1956)
- 3) Sawyer, C.B. and Tower, C.H., Phys.Rev. 35, 269 (1930)
- 4) Raman, C.V., and Nedungadi, T.M.K., Nature 145, 147 (1940)
- 5) Cochran, W., Phys. Rev. Lett., 3, 412 (1959)
- 6) Blinc,R., and Žeks,B., soft modes in ferroelectrics and antiferroelectrics, North Holland and American Elsevier Publishing Companies, INC, New York.
- 7) West, J., Z.Krist., 74, 306 (1930)
- 8) Frazer, B.C., and Pepinsky, R.C., Acta Cryst., 6 273 (1953)
- 9) Busch, G., and Scherrer, P., Naturwiss 23, 737 (1935)
- 10) Bacon, G.E., and Pease, R.S., Proc. Roy. Soc. (1ondon), A <u>230</u>, 359 (1955)
- 11) Busch, G., Helv. Phys. Acta, 11, 269 (1938)
- 12) Baumgartner, H., Helv. Phys. Acta, 24, 326 (1951)
- 13) Shil'nikov, A.V., Popov, E.S., and Rapopov, S.L., Seventh Conference on Ferroelectricity, Voronezh University, Voronezh, 92 (1970)
- 14) Belyaev, L.M., Fiz. Tverd. Tela, <u>6</u>, 2526 (1964) (Sov. Phys. Solid State, 6, 2007 (1965)
- 15) Barkla, N.M., and Finlayson, D.M., Phil. Mag. 44, 349 (1953)
- 16) Percverzeva, L.P., Poplavko, Yu,M., Petrov, V.M., Makavevskaya, E.V., and Rez, I.S., Sov Phys. Crystallogr., vol 18, 407(1973)
- 17) Beck, M., and Granicher, H., Helv. Phys. Acta 23,522 (1950)
- 18) Jona, F. and Shirane G., Ferroelectric crystals (Tha Macmillan Company, New York), 1, 1962
- 19) De Quervain, M., Helv. Phys. Acta, 17,509 (1944)
- 20) Bantle, W., Helv. Phys. Acta. 15, 373 (1942)
- 21) Reese, W., and May, L.F., Phys. Rev. 162, 510 (1967)
- 22) Reese, W., Solid Stat. Comm. 7, 969 (1969)

- 23) Edvard, M.B., and Cummins, H.Z., Phys. Rev., Lett., 23, 1039(1969)
- 24) Carpenter, R.O'B., Journ.Opt. Soc. Am. <u>40</u>, <u>225</u> (1950)
- 25) Zwicher, B. and Scherrer, P., Helv. Phys. Acta, <u>17</u> 346 (1944)
- 26) Porto, S.P.S., and Wood D.L., Journ. of the Opt. Soc. of Am. 52, 251 (1962)
- 27) Leite, R.C.C., and Porto, S.P.S., Journ. of the Opt. Soc. of Am. 54, 981 (1964)
- 28) Shur, M.S., Sov. Phys. Cryst. 11, 394 (1966)
- 29) Montgomery, H. Proc. Roy. Soc. A 309, 521 (1969)
- 30) Katiyar, R.S., Comunicação Privada
- 31) Bhagawantan, S., Venkatarayadu, T., Group theory and its applications to Physical problems (Andhra Univ. Press., Waltair, 1962)
- 32) Kaminov, I.P., Phys. Rev. <u>138</u> A, 1539 (1965)
- 33) Kaminov, I.P., and Damen, T.C., Phys. Rev. Lett., <u>20</u>, 1105 (1968)
- 34) Katiyar, R.S., Ryan, J.F., and Scott, J.F., Phys. Rev. B.4, 2635 (1971)
- 35) She,Y., Broberg, T.W., Wall, L.S., and Edwards, D.F., Phys. Rev. B <u>6</u>, 1847 (1972)
- 36) Peercy, P.S., and Samara, G.A., Phys. Rev. B 8,2033 (1973)
- 37) Lowndes, R.P., Tornberg, N.E. and Leung, R.C., Phys. Rev. B 10, 911 (1974)
- 38) Lagakos, N., and Cummins, H.Z., Phys. Rev. Letters, 34, 883 (1974)
- 39) Silverman, B.D., Phys. Rev. B 9, 203 (1974).

II.1: Teoria de Cochran sobre " soft mode "

Raman e Nedungadi (1) em 1940, como citados anteriormente, parecem ter sido os primeiros a observar o " soft mode " numa transição de fase estrutural.

O motivo deste item, é o da apresentação do resumo da teoria de Cochran (2) sobre o "soft mode", que está relaciona da com o presente trabalho. Nela, Cochran sugeriu que a transição de fase em certos ferroelétricos é resultante da instabilidade de um dos modos normais de vibração da rede. O limite da estabilidade de um cristal, em termos de um particular modo de vibração da rede é atingido quando a frequência correspondentea este modo se aproxima de zero.

Em sua teoria, Cochran mostra que há uma razão paraacreditar que a transição ferroelétrica, pelo menos em certos cristais, está associada com tal instabilidade ou quase instabi
lidade de um modo de vibração da rede; e que a transição fer roelétrica é um problema de dinâmica de rede. A ilustração des
tes fatos, é feita através de um exemplo, no qual é mostrado, que é possível para um cristal cúbico diatômico exibir propriedades que são muito semelhantes às do titanato de bário.

A teoria da dinâmica de rede de cristais iônicos quepossuem a estrutura do cloreto de sódio foi desenvolvida por muitos autores, entretanto esta teoria foi recentemente completada por Woods e colaboradores (3), levando em consideração apolarizabilidade dos ions do cristal e também o fato de que oentrelaçamento das forças de curto alcance, entre os ions, de pende dos seus estados de polarização.

O sucesso dessa teoria para o iodeto de sódio e germanio, não deixou dúvidas de que o momento de dipolo de um áto
mo no cristal não é inteiramente determinado pelo campo elétrico efetivo, mas também diretamente pelo deslocamento e momentos
de dipolos dos átomos vizinhos. Os trabalhos anteriores na teo
ria da ferroeletricidade não levaram estes fatos em considera ção.

Esta teoria de Woods foi desenvolvida, considerando - cada ion como constituido de um caroço,acoplado através de uma força constante à concha que representa os eletrons exteriores- ("shell model").

Neste modelo, para qualquer modo de vibração, todos os átomos do mesmo tipo se deslocam igualmente, e a única força - constante envolvida, para um cristal diatômico, é aquela entre - as duas fileiras de átomos tais como o Na+ e o Cl⁻, por exemplo.

Bascado neste modelo, Woods nos forneceu as seguintes-expressões para as frequências dos modos óticos transversais (TO) e longitudinais (LO) para o vetor de onda $\vec{q} = 0$.

$$\mu \omega_{\rm T}^2 = R_{\rm o}^+ - 4 \, \text{H} \, (\epsilon + 2) (2e)^2 / 9 \, \text{v}$$
 (1.1)

$$\mu\omega_{L}^{2} = R_{o}^{+} + 8 \, \text{II} \, (\epsilon + 2) (2e)^{2} / 9 \, \text{v} \epsilon$$
 (1.2)

onde: μ : \tilde{e} a massa reduzida dos ions = $\frac{m_1 \quad m_2}{m_1 + m_2}$

ε : é a constante dielétrica para altas frequências

v : é o volume da célula unitária

 Z_{e}^{\prime} : é a carga iônica efetiva

 $R_0^{'}\vec{U}$: é a força de restauração de curto alcance para qual quer átomo quando as duas redes possuem núcleos detipos diferentes e deslocados de uma pequena distân cia \vec{U} .

As equações (1.1) e (1.2) foram obtidas por Woods e cola boradores, como caso especial da relação de dispersão (ω vs q) as quais se aplicam quando \dot{q} está em uma direção de simetria, como por exemplo (100); (110) ou (111).

A relação entre as frequências ω_L e ω_T e as constantes dielétricas ε_0 e ε foi derivada por Lyddane e colaboradores (4) em 1941 e é conhecida na forma abreviada por L.S.T., e é dada na se guinte forma

$$\frac{\omega_{\rm L}^2}{\omega_{\rm T}^2} = \frac{\varepsilon_{\rm O}}{\varepsilon} \tag{1.3}$$

onde $arepsilon_{f 0}$ é a constante dielétrica estática e $\,arepsilon_{f 0}$ a constante die -

létrica eletrônica.

Das equações (1.1) e (1.3) vemos que
$$\varepsilon_0 = \infty$$
 se

$$R'_{0} = 4 \text{ H} (\epsilon + 2) (Z'_{0})^{2} / 9v$$
 (1.4)

As quantidades R_0^+ e Ze dependem explicitamente dos - parâmetros do modelo em estudo.

Em cristais do tipo do iodeto de sódio, as duas quantidades do lado direito da equação (1.1) são da mesma ordem de grandeza, mas o termo R_0^+ proveniente da interação de curto alcance é duas vezes maior que a quantidade proveniente da interação Coulombiana.

Se considerarmos a situação em que a diferença entre- estes dois termos da equação (1.1) se aproxima de zero, pode-se - verificar que ω_T pode se aproximar de zero, sem que o cristal ne cessariamente se torne instável, em termos de outros modos de vibração.

As quantidades que aparecem do lado direito da equação (1.1) podem ser dependentes da temperatura se as vibrações da rede forem na prática não completamente harmônicas, assim, próximo a temperatura em que o cristal se torna instável, pode-se postular:

$$\frac{\mu \omega \frac{2}{T}}{R_{o}'} = 1 - \frac{4 \pi (\epsilon + 2)(2e)^{2}}{9vR_{o}} = J(T - T_{c})$$
 (1.5)

onde γ e o coeficiente de temperatura e T_c a temperatura em que o cristal se torna instavel. Por simplicidade foi suposto R_o como independente da temperatura, consequentemente o outro termo da e quação (1.1) é responsável pela variação da temperatura.

Combinando-se as equações (1.1), (1.2) e (1.3) pode -se-escrever:

$$\mu\omega_{L}^{2} = \mu\omega_{T}^{2} + \frac{8 \, \mathbb{I} \left(\varepsilon + 2\right) \left(Ze\right)^{2}}{9v \, \varepsilon} \left[1 + \frac{\varepsilon}{2}\right] \tag{1.6}$$

$$\frac{\mu\omega_{L}^{2}}{\mu\omega_{T}^{2}} = \frac{\epsilon_{0}}{\epsilon} = 1 + \frac{8 \pi (\epsilon+2)(Ze)^{2}}{9v \epsilon\mu\omega_{T}^{2}} \left[\frac{2+\epsilon}{2}\right]$$
(1.7)

Pela equação (1.5)
$$\mu\omega_T^2 = R_o' (T - T_c) \gamma$$
,

então
$$\frac{\varepsilon_{0}-1}{4 \pi} = \frac{\varepsilon_{0}-\varepsilon}{4 \pi} = \frac{(\varepsilon+2)^{2} (Ze)^{2}}{9vR_{Q}^{1}\gamma (T-T_{c})}$$
(1.8)

assim a lei de Curie Weiss é válida, com a constante de Curie - dada por:

$$C = \frac{(\varepsilon + 2)^2 (Ze)^2}{9vR_0 \gamma} \approx \frac{\varepsilon + 2}{4 \pi \gamma}$$
 (1.9)

para $T = T_C e \omega_T = 0$

Nestas condições, a polarizabilidade iônica de uma célula unitária é dada por:

$$\alpha i = \frac{(Ze)^2}{R_0} \tag{1.10}$$

enquanto que a polarizabilidade eletrônica é dada usualmente por:

$$\frac{4 \pi \alpha_{e}}{3v} = \frac{\varepsilon - 1}{\varepsilon + 2}$$
 (1.11) (Clausius Mossotti)

A condição de $\omega_T^2 = 0$, seria a mesma que se

$$\frac{4 \text{ II}}{3v} \left(\begin{array}{c} \alpha \\ i \end{array} \right)^{\alpha} = \frac{4 \text{ II}}{3v} \left[\frac{(Ze)^2}{R_O^2} + \frac{3v}{4 \text{ II}} \frac{\varepsilon - 1}{\varepsilon + 2} \right] =$$

$$= \frac{4 \text{ II}}{3v} \left[\frac{9v}{4\text{II}} \left(\varepsilon + 2 \right) + \frac{3v}{4\text{II}} \frac{\varepsilon - 1}{\varepsilon + 2} \right] = 1$$
(1.12)

o que significa que, em termos, catástrofe de polarizibilidade - ou instabilidade, são sinônimos nestas condições.

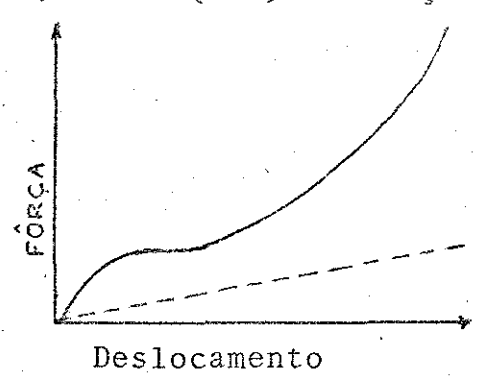
Se agora postularmos que o potencial de curto alcance - entre as duas redes, não é nem precisamente harmônico e nem iso - trópico para deslocamentos comparativamente grandes, pode-se mostrar que o cristal pode se tornar espontaneamente polarizado, sem se tornar completamente instavel.

Quando o potencial de curto alcance \acute{e} dado explicitamente com a inclusão dos termos anarmônicos , pode-se escrever pa

ra cristais ferroelétricos:

$$V_{R} = \frac{1}{2} R'_{0} (u_{x}^{2} + u_{y}^{2} + u_{z}^{2}) + \frac{1}{4} B (u_{x}^{4} + u_{y}^{4} + u_{z}^{4}) + \frac{1}{6} B' (u_{x}^{6} + u_{y}^{6} + u_{z}^{6}) + \frac{1}{2} B'' (u_{x}^{2} u_{y}^{2} + u_{y}^{2} u_{z}^{2} + u_{z}^{2} u_{x}^{2})$$

onde \tilde{e} considerada a dependência de V_R com U como fisicamente - razoavel, e o quarto termo \tilde{e} considerado como fisicamente pro - vável, sendo (001) a direção considerada como eixo Z do cristal



Deslocamento

(1.13)

Figura II.1: Temperatura acima da temperatura de transição.

Figura II.2: Na temperatura de transição.

Nas figuras II.1 e II.2 estão colocados em gráficos a força de restauração (R'_0u + Bu^3 + $B'u^5$) e a força Coulombiana

(linha pontilhada)
$$\frac{4 \sqrt{(\epsilon + 2) (Z'e)^2}}{9v}$$
 em função do deslocamento U

Pela equação (1.1), o valor de ω_T^2 é proporcional à diferença de inclinação entre as duas linhas, na origem.

Quando a temperatura decresce, a inclinação da linha mais baixa (pontilhada), aumenta, até que ambas se intercepetem num - valor finito U, assim as oscilações das duas fileiras de ions, são consideradas estáveis, anarmônicas, mas possíveis. Segundo Cochran isto representa uma transição de primeira ordem para uma fase com simetria tetragonal e a transição não acontece até que as ener - gias livres das duas fases sejam iguais, e isto só acontece à tem peratura de transição (T_{TR}), tal que as áreas achuriadas (II.2) - sejam iguais entre si.

Para uma transição cúbico-tetragonal os átomos se deslocam segundo Cochran das seguintes quantidades:

$$U = \left(\frac{3 \mid B \mid}{4 \mid B \mid}\right)^{-1/2} \tag{1.14}$$

(ao longo do eixo z); a frequência mínima, ω_T é atingida exatamente antes da transição e é dada por:

$$\mu(\omega_{\rm T}^2)_{\min n} = \frac{3B^2}{16B!}$$
 (1.15)

Estes resultados são semelhantes àqueles obtidos por Devonshire (4) em sua teoria fenomenológica dos ferroelétricos, embora a interpretação seja diferente.

O objetivo neste resultado, foi o da escolha de uma $e\underline{x}$ pressão para um potencial de curto alcance, no qual o mecanismo-atômico proposto leva à teoria de Devonshire, onde os átomos -são considerados se movendo independentemente um dos outros.

Em uma comunicação privada de Anderson (1958), Cochran tomou conhecimento, segundo citação dele próprio, dos seus resultados e conclusões a respeito do mesmo problema. Anderson associou a transição ferroelétrica com um modo transversal ótico de baixa frequência de vibração para $\vec{q} \cong 0$, resultante das interações Coulombiana e de curto alcance.

Como vimos, a transição ferroelétrica foi consideradamente termos dos modos normais de vibração, onde Cochran concentrou sua atenção em cristais que são cúbicos na fase paraelétrica e possuem os átomos numa posição especial na célula unitária. Estas aproximações foram feitas segundo certas propriedades concernentes a cristais do tipo do titanato de bário, levando em conside ração o fato de que os termos anarmônicos tem um efeito direto desprezível para grandes frequências comparadas com a frequência $\omega_{\rm T}$ considerada, e que somente as frequências para $\vec{q} = 0$ sofrem uma variação apreciável na transição. Entretanto, foi aqui considerado que cada átomo, na fase cúbica ocupa um centro de simetria do cristal, o qual não é piezoclétrico.

Cochran (5) estendeu suas considerações no sentido de incluir cristais que são piezoelétricos na fase paraelétrica eque não se limitam em estruturas ou simetria de grupo espacial; entretanto, levando em consideração cristais perfeitos, ou seja, aqueles que não possuem uma espécie de desordem posicional como encontrada do KDP e isomorfos.

O tratamento deste problema é baseado numa extensão da

teoria de Born Von-Karman feita por Woods e colaboradores (6), onde assumem que a energia do cristal, no qual os átomos se deslocam de uma pequena distância é uma função quadrática do deslocamento nuclear e do momento de dipolo eletrônico; entretanto, não entraremos nos detalhes desta teoria neste trabalho.

Um estudo completo do comportamento da dinâmica de rede do titanato de chumbo ($\mbox{PbT}_i \mbox{0}_3)$, utilizando a técnica do espalhamento Raman foi feito por Burns e colaboradores (7). Burns estudou os modos de baixa frequência em função da temperatura, e mostrou que o modelo do oscilador harmônico amortecido, com coeficiente de amortecimento independente da frequência é suficiente para explicar a forma do " soft mode " de simetria E(TO) na fase ferroelétrica. Foi também examinada a possibilidade de se observar um efeito crítico próximo à temperatura de transição da fase, $T_{\rm C}$, nos dados obtidos para os modos "soft" , entretanto esse efeito parece não ter sido observado.

Para maiores detalhes sobre as equações básicas utilizadas neste Capítulo, ver Kittel (8).

II.2 Teoria de Kobayashi sobre spin e modo ótico acoplado.

Um dos primeiros estudos realizados sobre as propriedades ferroelétricas do KDP e seus isomorfos, foi realizado por Slater (9) em 1941 e Takagi (10). Estes autores, praticamente, abriram o campo para discussão sobre estes compostos que possuem ligações hidrogênicas; entretanto nenhuma teoria foi bem sucedida, no sentido de explicar o mecanismo microscópico destes com postos, quando vão à transição de fase. Dois outros autores, Tokunaga e Matsubara (11), procuraram discutir as várias possibilidades para se explicar a transição de fase do KDP, dando uma ênfase especial ao movimento iônico ao longo do eixo c do cristal. Discutiram uma nova ordem-desordem para a transição de fase ferroelétrica, nos cristais do tipo KDP, assumindo a existência de duas possibilidades na configuração para o complexo KPPO4 do longo do eixo c, que correspondem à duas possíveis orientações do dipolo permanente ao longo desse eixo.

De acordo com essa teoria, a transição de fase ferroelétrica poderia ocorrer devido a uma ordem-desordem, das duas possíveis configurações, mesmo que não houvesse cooperação do sistema de protons, na ligação hidrogênica. Kobayashi (12), fez as seguintes suposições básicas ao propor o seu modêlo: a existência de tunelamento coletivo dos - protons; a existência de um duplo poço de potencial; a existên - cia da polarização espontânea que é proveniente do deslocamento- dos ions K,P e O, ao longo do eixo c, confirmada através do Raio X (13) e difração de neutrons (14) e o aspecto dinâmico da transição de fase, não considerando as quantidades termodinâmicas - tal como, o calor específico, a capacidade térmica, a entropia, etc.

No modelo de Kobayashi, foi proposta uma nova teoria para os sistemas de ligações hidrogênicas, nos quais, foi considerado que o modo proveniente do tunelamento do proton, se acopla fortemente com o modo ótico proveniente da vibração do complexo K-PO4 ao longo do eixo c, e a frequência de um dos modos acoplados tende a zero quando a temperatura do cristal se aproxima da temperatura de transição de fase. Assim, abaixo da temperatura de transição, esse modo é congelado, causando uma pola rização espontânea grande ao longo do eixo c do cristal. Foi enfatizado, que o ordenamento dos protons, no duplo poço de potencial, na ligação hidrogênica é que faz com que a frequência do modo acoplado tenda a zero; assim, a transição de fase ferroelétrica ocorre pela cooperação ordenada dos protons, e a polarização inicial aparece pelo deslocamento finito dos ions K, P e O ao longo do eixo c.

Kobayashi procura confirmar teoricamente o mencionadoacima, através de um tratamento da interação do proton com a rede.

Mencionaremos aqui, apenas um resumo desta teoria, ressaltando os pontos de maior importância para os nossos interes ses.

A Hamiltoniana do sistema simplificado que descreve o aspecto dinâmico da transição de fase, envolve a interação do modo proveniente do tunelamento do proton e o modo ótico proveniente da vibração do complexo K-PO₄ ao longo do eixo c do cristal, é dada por:

$$H = H_p + H_{p,L} + H_L$$
 (2.1)

onde: Hp:descreve o movimento do tunelamento do proton no duplopoço de potencial, como também suas interações mútuas através do acoplamento dipolo-dipolo (protons).

H_{p,L}:descreve a interação entre o tunelamento do proton e

a vibração da rede.

H_I: descreve a vibração da rede.

A Hamiltoniana do sistema de protons é dada por:

$$H_{p} = -2\omega_{f} \sum_{i} X_{i} - \frac{1}{2} \sum_{ij} J_{ij} Z_{i}Z_{j}$$
 (2.2)

onde: $\mathbf{w}_{\mathbf{f}}$: frequência de tunelamento sem acoplamento de cada - proton

 $J_{i,j}$: descreve a interação dipolo-dipolo entre os protons que executam o movimento de tunelamento no duplo poço de potencial.

 X_i : é a componente x do spin; foi suposto o spin 1/2 para o i-ésimo proton tal que S_{Zi} possa ser abreviado simplesmente como Z_i = + 1/2 correspondente ao estado ϕ_{Ii} localizado - próximo ao mínimo do duplo poço de potencial e Z_i = - 1/2 para ϕ_{IIi} .

A solução da equação (2.2) foi dada pela aproximação - do campo molecular.

A Hamiltoniana que descreve a interação entre o tunelamento do proton e a vibração da rede é dada por:

$$H_{p,L} = -\sum_{q} F_{q} Q_{q} Z_{-q}$$
 (2.3)

onde: Fo: é o parâmetro de interação

 Q_{α} : é a coordenação do fonon

 Z_{-q} : é a coordenada do spin

q : é o vetor de onda

A Hamiltoniana que descreve a vibração da rede é dada - por:

$$H_{L} = \frac{1}{2} \sum_{q} (P_{q} P_{-q} + \omega_{q}^{2} Q_{q} Q_{-q})$$
 (2.4)

onde: ω $_{0}$ é a frequência de vibração do modo ótico, sem acoplamento

P_q: ē o momento.

Para o sistema acoplado, a solução da Hamiltoniana total nos dará a relação de dispersão dos modos acoplados, na sequinte forma, para os modos k=0.

$$\omega_{\pm}^{2} = \frac{1}{2} \left(\omega_{o}^{2} + \omega_{t}^{2} \right) \pm \left\{ \left[\frac{1}{2} \left(\omega_{o}^{2} - \omega_{t}^{2} \right) \right]^{2} + \frac{4NF^{2}\omega_{f}S_{z}^{o}}{W} \right\}^{1/2}$$
(2.5)

onde: ω_{t} é a frequência coletiva do tunelamento dos protons - sem a interação com as vibrações da rede

$$W = \left[\left(2\omega_{f} \right)^{2} + \left(J \left\langle Z \right\rangle^{2} \right]^{1/2}$$

$$J = \sum_{i,j} J_{i,j}$$

$$(2.6)$$

 S_{z}^{o} é o valor de equilíbrio da componente Z do spin, induzida pelo campo de tunelamento.

<Z> é o valor médio térmico da polarização Z devido ao tunelamento dos protons.

Com o termo de interação igual a zero (F = 0) a solução da equação (2.5) nos dará a frequência de tunelamento não acopla da $\omega_{\rm t}$, como utilizada por Tokunaga (39), e também a frequênciado modo ótico, $\omega_{\rm c}$.

Kobayashi derivou a partir da equação (2.5) as frequências características ω_{-} e ω_{+} dos modos acoplados, que são dados da seguinte forma:

$$\omega_{-}^{2} = K(T - T_{c}) \frac{(2\omega_{f})^{2}}{J + K(T_{c} - T_{c}^{0}) \left[1 + \left(\frac{2\omega_{f}}{\omega_{o}}\right)^{2}\right]} = B(T - T_{c})$$
(2.7)

para T \rightarrow T_C, onde T_C é a temperatura de Curie para o sistema a-coplado, T_C^O a temperatura de Curie para o sistema de protons-sem acoplamento e K á a constante de Boltzman, então,

$$T_{c} = T_{c}^{o} + \frac{NF^{2}}{K\omega_{o}^{2}}$$
 (2.8)

Abaixo da temperatura crítica T_c , ω_-^2 se torna negativa e a frequência ω_- torna-se imaginária, indicando a ocorrênciade um deslocamento finito polar dos ions. Este fato mostra quea transição para o estado ferroelétrico ocorre quando um dos modos acoplados (ω_-) se torna instável. Por outro lado ω_+^2 se torna quase que inalterado quando T.

$$\omega_{+}^{2} = \frac{1}{2}(\omega_{t}^{2} + \omega_{o}^{2}) + \left\{ \left[\frac{1}{2}(\omega_{t}^{2} - \omega_{o}^{2}) \right]^{1/2} + \frac{4NF^{2}\omega_{f}^{2}S_{z}^{o}}{W} \right\}^{1/2} (2.9)$$

Na ausência do acoplamento, a frequência coletiva do tunelamento dos protons, ω_{t}^2 , está relacionada com a frequência-individual do protpn pela seguinte equação:

$$\omega_{t}^{2} = 4\omega_{f}^{2} - \omega_{f} J S_{z}^{0}$$
 (2.10)

onde: J é a interação dipolar proton-proton.

A frequência coletiva do tunclamento dos protons temum "soft mode" dependente da temperatura, o qual dará à temperatura de transição T_c^0 (para o sistema de protons não acoplados) de tal forma que $T_c^0 < T_c$. Se ω_t^2 é zero para $T = T_c^0$, então pode-se mostrar que :

$$\omega_{t}^{2} = 4\omega_{f}^{2} \left\{ 1 + \frac{T}{K(T-T_{c}^{0})} \right\}^{-1}$$
 (2.11)

Kobayashi mostrou que o modo correspondente à frequên - cia ω_{-} é o modo ferroelétrico, enquanto que o modo correspon - dente à frequência ω_{+} é o modo ótico.

Seguindo Kobayashi, a constante dielétrica estática, nas vizinhanças do ponto de Curie, pode ser expressa por:

$$\varepsilon_{c}(o) = \left(\varepsilon_{1}(o) - \frac{NF^{2}}{K\omega_{o}^{2}}\right)(T - T_{c})^{-1}$$
(2.12)

onde $\varepsilon_1(o) = \frac{4\pi Ne^2}{M\omega_o^2}$ é a constante dielétrica da rede.

A constante de Curie, pode então ser escrita como:

$$C = \varepsilon_1(0) \frac{NF^2}{K\omega_0^2}$$
 (2.13)

Na teoria de Cochran em dielétricos do tipo de deslocamen to a frequência de modo transversal ótico as vibrações da redevão a zero com $(T-T_c)^{1/2}$, então $\epsilon_1(0) \propto \frac{1}{T-T_c}$ (2.14)

Na teoria de Cochran a instabilidade da rede é proveni-

ente do cancelamento das forças de curto e longo alcance, devido à interação anarmônica da rede, enquanto que nos cristais do tipo do KDP a instabilidade é proveniente do ordenamento do sistema de protons ($\omega_{\rm t} \Rightarrow$ o). A esse respeito, o mecanismo da transição de fase nos cristais do tipo do KDP é essencialmente diferente nos cristais do tipo de deslocamento.

Assim, se F = o, na equação (2.13), significando não haver acoplamento entre o sistema de protons e o modo ótico davibração da rede, a constante de Curie não é válida, indicando a não ocorrência da transição de fase ferroelétrica na direção do eixo c, e os ions K e P, estariam simplesmente fazendo a redevibrar. Pode-se verificar também pela equação (2.13) que a constante de Curie não mostra grande efeito isotópico e é estimada por ele como sendo da ordem de 10³ a 3.10³ o K

II.3 <u>Teoria de Silverman sobre o sistema de protons e fo-</u> nons acoplados.

Como foi visto anteriormente, Kobayashi propôs o acoplamento do movimento dos protons com o fonon transversal óticoda rede. Silverman (15), estendeu o tratamento para o sistema acoplado, considerando a suscetibilidade como dependente da frequência no KDP, com a inclusão do termo de amortecimento.

Silverman fez as seguintes suposições básicas ao propor o seu modelo: quando a rede se desloca, os protons experimentam um campo elétrico efetivo que os ordena preferencialmente
a um dos dois vales; o fato de haver ordenadmento preferencial dos protons, implica no deslocamento do fonon da posição de equi
líbrio e como resultado aparece a resultante da polarização na
direção do eixo c do cristal; considerou que o campo elétrico se a
copla somente com o fonon, uma vez que a maior contribuição para a polarização é dada pelo deslocamento do fonon e finalmenteconsiderou que o fonon não é criado somente pelo campo elétrico,
mas também pela diferença de população entre os dois vales de po
tencial do hidrogenio.

Neste modelo, a Hamiltoniana do sistema acoplado é dado por:

$$H = \frac{1}{2}(P^2 + \omega_0^2 Q^2) - J < S_x > S_x - fS_z - aQS_x - \mu E(\bar{e}^{i\omega_{\bar{f}}^t}e^{i\omega_{\bar{f}}^t})Q$$

$$43$$
(3.1)

O primeiro termo é a contribuição do fonon transver - sal ótico de frequência $\omega_{_{\scriptsize 0}}.$ Os dois termos seguintes descrevem o sistema de protons acoplados. O termo Ising representa a energia associada ao ordenamento dos protons. Os operadores de spin (1/2) são usados para designarem a posição dos protons entre os dois vales. O termo de tunelamento, fS $_{_{\scriptsize Z}}$, permite o proton tunelar entre os dois vales. A energia de acoplamento envolve a constante de acoplamento \underline{a} . O último termo descreve o acoplamento do campo elétrico polarizado ao longo do eixo c do cristal.

Resolvendo as equações do movimento, Silverman propôsa seguinte solução para a suscetibilidade complexa, do sistema considerado:

$$X = \frac{\mu^{2}}{\omega_{0}^{2} - \omega^{2} + i \omega \gamma_{0} - g(\omega)}$$
 (3.2)

onde:

$$g(\omega) = \frac{(2a^2/\hbar) \omega_f S_z^o + a^2 \Gamma \beta D(i \omega + \Gamma)}{(i \omega + \Gamma) \left[i \omega + \Gamma (1 - \beta JD)\right] + \omega_f (\omega_f - \Omega S_z^o)}$$
(3.3)

e D = (tanh β f)/ β f; β =1/KT; Γ =1/T₁ e S_z^o =tangh β f onde:

 $\omega_{\mbox{\footnotemark}}$ ié a frequência de tunelamento de cada proton , sem aco-plamento = 2f/h

 Ω :é a frequência de troca (coletiva) = 2 J/ħ

T₁:é o tempo de relaxação do spin

 γ_0 : \vec{e} o inverso do tempo de amortecimento do fonon.

g(ω): é considerada como resultado da renormalização da frequência do fonon, devido ao acoplamento dos protons.

Se $g(\omega) \to o$, a suscetibilidade fica àquela obtida para o fonon ótico transversal amortecido, que será discutida no Capítulo IV.

A suscetibilidade estática pode ser obtida, fazendo ω =0 na equação (3.2),,e é dada abaixo.

$$\chi_{0} = \frac{\frac{\mu^{2}}{\omega_{0}^{2} - \frac{a^{2} \beta D}{1 - \beta JD}}}$$
(3.4)

Da teoria do campo médio, a temperatura de transição T^Oc para o sistema de protons não acoplados pode ser expressa como

$$T_{c}^{o} = \frac{J}{K} D \tag{3.5}$$

e,
$$T_c = T_c^0 + \frac{a^2 D}{K \omega_Q^2}$$
 (3.6)

Com o auxilio das equações (3.5) e (3.6) o valor estático da suscetibilidade pode ser reescrito na forma:

$$\chi_{o} = \frac{\mu^{2}}{\omega_{o}^{2}} - \frac{(T - T_{c}^{o})}{(T - T_{c})}$$
 (3.7)

Da equação (3.6), é evidente que, se a constante de acoplamento do proton com a rede for considerada fraca, fará com que a temperatura de transição fique próxima a $T_c^o(T_c = T_c^o)$, entretanto para um forte acoplamento a temperatura de transição pode ser significantemente diferente de $T_c^o(T_c > T_c^o)$.

Vamos agora discutir a equação (3.2) sob certas considerações.

1) Se assumirmos que não há amortecimento do proton, isto é Γ = 0 , então:

$$\chi = \frac{\mu^2}{\left[\left(\omega_o^2 - \frac{a^2 \omega_f^2 \beta D}{\omega_t^2 - \omega^2} - \omega^2 \right) + i \omega \gamma_o \right]}$$
(3.8)

onde a frequência coletiva de tunelamento dos protons não acopl<u>a</u> dos é dada por:

$$\omega_{t}^{2} = \omega_{f}^{2} (T - T_{c})/T$$

Para $\gamma_0 = 0$ a suscetibilidade dará picos a duas frequências acopladas de excitação, dados por:

$$\omega^{2} = \frac{1}{2} \left(\omega_{0}^{2} + \omega_{t}^{2} \right) + \left\{ \left[\frac{1}{2} \left(\omega_{0}^{2} - \omega_{t}^{2} \right) \right]^{2} + a^{2} \omega_{f}^{2} \beta D \right\}^{1/2} (3.9)$$

Esta equação é muito semelhante à equação (2.5) derivada - por Kobayashi.

Na ausência do acoplamento, as duas frequências podem ser escritas como:

$$\omega^2 = \omega_0^2; \omega_f^2 (T - T_c)/T \tag{3.10}$$

2) Se colocarmos a frequência de tunelamento igual a zero, isto é, $\omega_{\rm f}$ = 0, na equação (3.2), teremos:

$$X = \left\{ \frac{\omega_o^2 - \frac{a^2 \Gamma^2 \beta D (1 - \beta J D)}{\omega^2 + \Gamma (1 - \beta J D)^2} - \omega^2 + i\omega \left(\gamma_o + \frac{a^2 \Gamma \beta D}{\omega^2 + \Gamma^2 (1 - J \beta D)^2} \right) \right\}$$

(3.11)

Para um amortecimento relativamente pequeno, os picos no espectro de absorção podem ser dados por:

$$\omega^2 = \omega_0^2 \; ; \; \Gamma^2 \; (1 - \beta JD)^2$$
 (3.12)

Silverman aplicou seu formalismo para a estrutura do - KDP, considerando valores fictícios para os vários parâmetros e tentou explicar a transição de fase neste cristal. A dependência com a temperatura da frequência do modo de tunelamento, dada pela equação (3.10) é a mesma que foi observada por Kaminov e Damen (16) usando o oscilador harmônico amortecido, entretanto, estudos posteriores realizados por Katiyar e colaboradores (17) mostraram que tal dependência com a temperatura obtida pelo "fitting" - dos dados experimentais, utilizando o oscilador harmônico amortecido, não pode ser confiável devido à alta correlação entre a frequência e o amortecimento do proton.

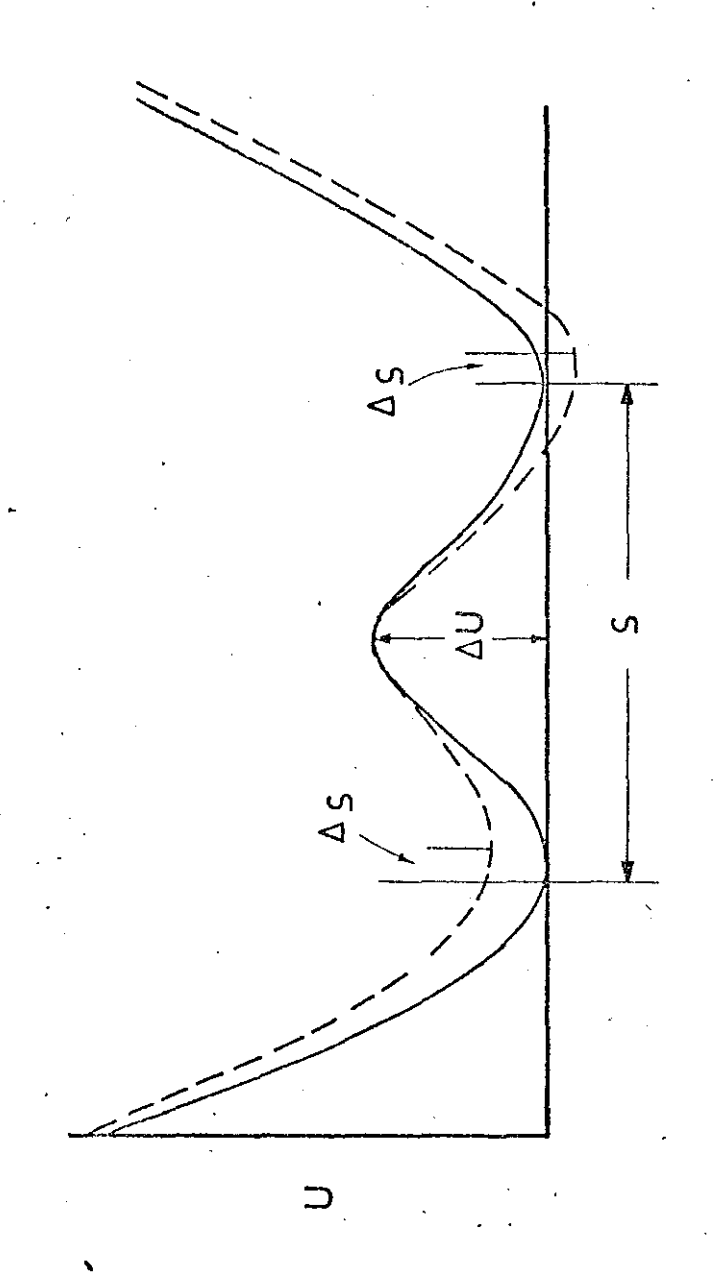
II.4 Teoria de Mason sobre transição ferroelétrica

Em geral, as medidas das propriedades do sal de Rochelle, nome comumente dado ao tartarato duplo de sódio e potássio cristalizado com quatro moléculas de água $(NaKC_4H_4O_6.4H_2O)$, indicam que as propriedades piezoelétricas e elásticas são normais, e que as anomalias são provenientes da constante dielétrica.

Mason (18) estudou o efeito ferroelétrico e a constante-dielétrica para o sal de Rochelle; nosso propósito é o de considerar seus principais conceitos e enfatizar seus aspectos relacionados com a transição de fase. Em seu trabalho, Mason mostrou que a anomalia na constante dielétrica não era devido ao acoplamento entre o deslocamento mecânico e o campo aplicado (efeito piezoelétrico e constante dielétrica) como previsto por Mueller (19), mas sim a constante dielétrica somente.

Para este estudo, Mason supôs que num estado não perturbado, o núcleo de hidrogênio numa ligação hidrogênica se encontra num campo de potencial semelhante ao da figura II.3 onde hã dois mínimos, uma barreira ΔU e uma separação entre os dois mínimos, dados por δ (linha cheia). De acordo com a teoria cinética a probabilidade de um núcleo de hidrogênio pular de um poço para outro por unidade de tempo será dada por:

46



PARTÍCULA TIPO ORDEM - DESORDEM PARA UMA DUPLO POÇO DE POTENCIAL UM CRISTAL СП CASO 9 Figura II. S

$$\alpha = \Gamma e^{-\Delta U \over KT} \tag{4.1}$$

onde Γ é constante, e é dada pela teoria de Eyring e vale - Γ = KT/h, onde K,T e h são respectivamente, constante de Boltzman temperatura e constante de Planck.

Sejam:

 α_{+} = probabilidade da partícula pular na direção posi - tiva por unidade de tempo.

α_ = probabilidade da partícula pular na direção negativa por unidade de tempo.

 N_{+} = população nos poços na direção positiva.

N_ = população nos poços na direção negativa; deste modo, a polarização dos dipolos é dado por:

$$P_{d} = (N_{+} - N_{-})\mu \tag{4.2}$$

onde μ é o momento de dipolo na direção do eixo X do cristal. Desde que a ligação esteja com inclinação de 25° em relação a X, o momento de dipolo é dado por μ = μ_A cos 25° onde μ_A é o valor absoluto do dipolo ao longo da ligação .

Pode-se escrever também que:

$$N_{\perp} + N = N \tag{4.3}$$

que é o número total de dipolos por unidade de volume. A taxa - segundo a qual a polarização dos dipolos muda com o tempo é da - da por:

$$\frac{dP_d}{dt} = \left[N_- \alpha_+ - N_+ \alpha_-\right] \mu \tag{4.4}$$

ou seja, é o número de particulas nos poços na direção negativa vezes suas probabilidades de pularem para os poços positivos menos a reação reversa, multiplicada pelo momento de dipolo. A e quação (4.4) pode ser escrita também sob a forma:

$$\frac{dP_{d}}{dt} = \left[N_{-}/T_{c+} - N_{+}/T_{c-} \right] \mu \tag{4.5}$$

onde T_c é o tempo de correlação que define o inverso da probabilidade da partícula pular por unidade de tempo, em ambas as direções. Esta equação é baseada na consideração de que a taxa de transição da partícula para as duas posições equivalentes ao longo do eixo X é descrita pelo processo de auto-difusão com o tempo de correlação dado por:

$$T_{c} = T_{o} \quad e$$
 (4.6)

onde AUé aqui chamada de energia de ativação.

Se agora for suposto que um campo elétrico E é aplicado haverá uma variação no poço de potencial que é mostrada na figura II.3 pela linha pontilhada; havendo uma variação Δδ na posição dos mínimos e consequentemente uma variação na energia de ativação. As moléculas da substância terão então que se rea ranjarem para alcançar o outro mínimo de potencial. A nova energia de ativação é dada por:

$$(\Delta U - \frac{1}{2} E e \delta) e (\Delta U + \frac{1}{2} E e \delta)$$
 (4.7)

onde <u>e</u> é a carga eletrônica. Considerando-se que o campo inte<u>r</u> no é do tipo de Lorentz e que a polarização muda, pode-se es - crever que a energia será:

$$F = E + \beta P \tag{4.8}$$

onde P é a polarização e $\beta = \frac{4}{3} \eta$ para um meio isotrópico, e que varia para cada cristal. A polarização total, então, é com posta pela polarização devido aos eletrons e átomos (P_E) que inclui toda a polarização devido ao deslocamento do poço de potencial e pela polarização devido aos dipolos das ligaçõeshidrogênicas (P_d) no processo da auto difusão que obedece a equação (4.5), então,

$$P_T = P_E + P_d \tag{4.9}$$

onde P_E = P_{eletr.} + P_{atom.} Usualmente se considera que a pola - rização eletrônica e atômica (ou iônica) excitada é proporcional ao campo local (F), assim pode-se escrever:

$$F = E + \beta(P_E + P_d) = E + \beta(\gamma F + P_d)$$
 ou

$$F = E + \beta\gamma F + \beta P_d,$$

$$F - \beta\gamma F = E + \beta P_d,$$

$$F (1 - \beta\gamma) = E + \beta P_d :$$

$$F = \frac{E + \beta P_d}{1 - \beta\gamma}$$
 (4.10)

onde γ é a polarização por unidade de volume devido a todas as polarizações exceto as dos dipolos de hidrogênio (auto-difusão)

Levando em consideração as definições acima todas as -polarizações envolvidas desde que,

$$N_{-} = N - N_{+}; P_{d} = (N_{+} - N - N_{+})\mu = (2N_{+} - N)\mu$$
,

a equação (4.5) pode ser reescrita como:

$$\frac{dP_{d}}{dt} = \frac{1}{2} N\mu \left(1/T_{c+} - 1/T_{c-} \right) - \frac{1}{2} P_{d} \left(1/T_{c+} + 1/T_{c-} \right)$$
(4.11)

onde μ é o momento de dipolo ao longo do eixo X, isto é, μ_A cos 25° onde μ_A é o valor do momento do dipolo na direção δ ;agora - $T_{\text{C+}}$ pode ser dado por:

$$T_{c+} = T_o \exp \left[\Delta U + \frac{e \delta}{2(1-\beta\gamma)} (E + \beta P_d) / KT \right]$$
 (4.12)

A equação (4.11) pode ser considerada como uma equação-fundamental que determina as propriedades dielétricas do cris - tal. Substituindo-se a equação (4.12) na equação (4.11) e considerando-se a situação estática, ou seja $\frac{dP}{d+} = 0$ teremos:

Tangh A
$$\left[\frac{E}{\beta N \mu} + \frac{P_d}{N \mu}\right] = \frac{P_d}{N \mu}$$
 (4.13)

onde $A = \frac{e \delta N \mu}{2(1-\beta \gamma) KT}$ colocando E = 0 na equação (4.13) tem-

-se a expressão para a polarização expontânea dada por:

$$\frac{P_d}{N\mu} = \tanh \left(\frac{AP_d}{N\mu}\right) \tag{4.14}$$

se o fator A>>1, a equação acima terá soluções positivas e ne gativas, além de zero, representando a polarização espontânea na direção positiva ou negativa do eixo X. Para A um pouco maior que 1, poderemos substituir a tangh $\frac{AP_d}{N\mu}$ pelos dois primeiros termos da expressão (4.14) e resolver para $\frac{P_d}{N\mu}$ ou agora para $\frac{P_s}{N\mu}$ onde $\frac{P_s}{N\mu}$ onde $\frac{P_s}{N\mu}$ e a polarização expontânea obtendo-se:

$$\frac{P_{s}}{N} = \left[\frac{3(A-1)}{A^{3}}\right]^{1/2} \tag{4.15}$$

para $A\leqslant 1$, a relação acima não é válida, entretanto o fator A - ainda é uma função de δ .

Esta teoria foi aplicada experimentalmente para o sal de Rochelle e segundo Mason, os resultados foram satisfatórios. A solução da equação (4.11) combinada com a equação (4.12) nos fornecem uma expressão para a constante dielétrica. Assumindo para um movimento harmônico simples, que,

 $E = E_0 e^{i\omega t} e P_d = P_s + P_0 e^{i\omega t} com P_s$ satisfazendo a equação (4.15); a variação da polarização com o tempo é dada por:

$$P_{O} = \frac{\left(\frac{A}{\beta}\right)\left[1 - \left(\frac{P_{s}}{N\mu}\right)^{2}\right]E_{o}}{1 - A\left[\left(\frac{P_{s}}{N\mu}\right)^{2}\right] + i\omega T_{o} \exp \left[\frac{\Delta U}{KT}\right]/\cosh\left(\frac{AP_{s}}{N\mu}\right)}$$
(4.16)

O deslocamento elétrico é dado por:

$$D = 4 \pi P_{O} + 4 \pi P_{E} + E = \varepsilon E$$
 (4.17)

onde ε é a constante dielétrica. Substituindo a equação (4.16) - na equação (4.17), obteremos finalmente a expressão de Mason pa-

ra constante dielétrica:
$$\varepsilon = \varepsilon_{o} + \frac{\left(\frac{4\pi A}{\beta}\right)\left[1-\frac{\binom{P_{s}}{N\mu}}{N\mu}\right]^{2}}{1-A\left[1-\left(\frac{P_{s}}{N\mu}\right)^{2}\right]+i\omega T_{o}\exp\left[\frac{\Delta U}{KT}\right]/\cosh\left(\frac{AP_{s}}{N\mu}\right)}$$

onde ε_0 é a constante dielétrica para eletrons e átomos (ou - ions), e o segundo termo corresponde ao termo de relaxação dielétrica do tipo de Debye. O valor da constante dielétrica da - da pela equação (4.18) foi calculada e comprovada com resultados experimentais por Mason obtendo resultados concordantes , para o sal de Rochelle.

Um ponto interessante que deve ser enfatizado, é o fato de que a equação (4.18) nos fornece um entendimento para o balanço entre a relação Lyddane-Sachs-Teller e o termo de relaxação do tipo de Debye. A relaxação dielétrica de Mason, dada pela expressão (4.18) apresenta uma vantagem sobre a expressão de relaxação de Debye, porque ela é dada explicidamente em função de dois parâmetros microscópicos; a energia de ativação AU e a distância ó entre duas posições equivalentes. Este fato temuma implicação muito importante concernente as propriedades die létricas do cristal na qual o mecanismo de ordem - desordem está envolvido. Foi mostrado por Chaves e Porto (20), através de um apurado formalismo matemático que a contribuição da relaxação dielétrica do tipo de Debye é predominante ou pelo menos da mesma ordem de grandeza que a contribuição do termo - L.S.T., quando o mecanismo de ordem-desordem está presente.

Pela equação (4.18), pode-se verificar que quando $\Delta U=0$, $\delta=0$, o segundo termo da equação vai a zero. Neste caso, o comportamento dielétrico é determinado simplesmente pelo primeirotermo da equação e pode-se dizer então que a teoria do "soft mode" de Cochran tem sentido. Entretanto quando $\Delta U \neq 0$, $\delta \neq 0$ o segundo termo da equação (4.18) é predominante, como citadoacima, e o comportamento estatístico dependente do tempo, das partículas envolvidas no processo randônico, é o principal responsável para o comportamento dielétrico e para a transição de fase no material; então, neste caso, a teoria do "soft mode" não precisa ser considerada. O fato de $\Delta U \neq 0$, na temperatura de transição implica que a frequência do fonon ótico ou acústico associado ao processo de auto-difusão das partículas randônicas

não vai a zero na temperatura de transição. Para explicar este fato, Andrade e Porto (21) discutiram a relação entre ΔU e ω , dada na seguinte forma:

$$ω α \left[[1 + γ (T - T_c)] ΔU \right]^{1/2}$$
 (4.19)

que define uma frequência de "hard core" relacionada com- ΔU a ($T-T_c$). A principal contribuição da equação (4.19)-se relaciona com a contribuição do primeiro termo da equação- (4.18). O comportamento da frequência do fonon associado ao me canismo de ordem-desordem, seguirá então o comportamento de ΔU e consequentemente não terá que obedecer a lei $\omega^2\alpha$ ($T-T_c$), -possuindo então o fonon uma frequência de "hard core" na -temperatura de transição . O que faz sentido para este caso, é determinar quais os fonons que estão associados ao duplo poço de potencial (ordem-desordem). O comportamento da frequência-como função da temperatura, permitirá a aplicação da teoria de Mason e consequentemente a determinação do fator A e da distân cia δ .

É interessante notar que a teoria de Mason pode levarem consideração a contribuição da relação L.S.T.. Como mencionado amteriormente ε_0 é a constante dielétrica considerada somente para os átomos e elétrons. A expressão para ε_0 na maioria dos casos pode ser escrita de acordo com Baker e London - (22) como segue:

$$\varepsilon_{O} = \varepsilon_{\infty} + \sum_{i} \frac{S_{i} \omega_{i}^{2}}{\omega_{i}^{2} - \omega^{2} - i \omega \Gamma_{i}}$$
(4.20)

onde S_i é a força dielétrica, i é somado sobre todos os osciladores e Γ_i é o fator de amortecimento do oscilador harmônico simples que descreve o movimento dos ions. A estatística envolvida na relaxação dielétrica, é dependente do tempo e na transição de fase é explicitamente dada pelo tempo de correlação Γ_c , como descrito anteriormente. O importante notar é que o valor desta contribuição, comparado com a contribuição do fonon, elucidará o principal mecanismo responsável pela transição da fase.

A aplicação de teoria de Mason para o comportamento da -constante dielétrica como função da frequência e da temperatura, para o nitrito de sódio (Na NO₂), indica que para o caso do mo-

vimento randônico das partículas, a descrição correta para o comportamento da constante dielétrica e da transição de fase, é dada pela equação (4.18), segundo Andrade e colaboradores (23) e (24). No caso do ${\rm NaNO}_2$, os átomos de nitrogênio ocupam posições equivalentes ao longo do eixo $\underline{\bf b}$ do cristal e são considera das como partículas randônicas.

Os autores acima citados mostraram, utilizando a técnica do espalhamento Raman que para o Na NO_2 , a frequência de "hard core" do fonon associado com a ordem-desordem do nitrogênio, está presente a temperatura de transição de fase, o que indica que o mecanismo de ordem-desordem está envolvido, consequentemente - indicando também o porque do Na NO_2 se desviar da regra do - "soft mode" de Cochran, na descrição do comportamento da constante dielétrica em função da temperatura na transição de fase.

II.3. Referências bibliográficas

- 1 Raman, C.V., and Nedungadi, T.M.K., Nature 145, 147 (1940)
- 2 Cochran, W., Adv. in Phys., 9, 387 (1961)
- 3 Woods, A.D.B., Cochran, W., and Brockhouse, B.N., Bull.Am. Phys. Soc., 4, 246 (1959)
- 4 Devonshire, A.F., Phil. Mag. <u>40</u>, 1040 (1949); Ibid, <u>42</u>, 1065 (1951); Adv. Phys., <u>3</u>, 85 (1954)
- 5 Cochran, W., Adv. Phys. 10, 401 (1969)
- 6 Woods, A.D.B., Cochran, W., and Brockhouse, B.N., Phys. Rev., 119, 980 (1960)
- 7 Burns, G., and Scott, B.A., Phys. Rev. (B), 7,3088 (1973)
- 8 Kittel, C., Introduction to Solid State Physics, John Willey & Sons, Inc. New York (third edition)
- 9 Slater, J.C., Journ Chem. Phys., 9, 16 (1941).
- 10 Tagagi, Y.J., Phys. Soc. Japan, 3, 271 (1948)
- 11 Tokunaga, M., and Matsubara, T., Progr. Theor. Phys., <u>36</u>, 857 (1966)
- 12 Kobayashi, K.K., Journal of the Phys. Soc. of Japan, <u>24</u>, 497 (1968)
- 13 Frazer, B.C., and Pepinsky, R., Acta Cryst., $\underline{6}$, 273 (1953)
- 14 Bacon, G.E., and Pease, R.S., Proc. Roy. Soc., A <u>220</u>, 397 (1953)
- 15 Silverman, B.D., Phys. Rev. Lett., 25, 107 (1970)
- 16 Kaminov, I. P., and Damen, T.C., Phys.Rev.Lett., 20, 1105(1968)
- 17 Katiyar, R.S., Ryan, J. F., and Scott, J.F., Phys. Rev. B <u>4</u>, 2635 (1971)
- 18 Mason, W.P., Phys. Rev., <u>72</u>, 854 (1947)
- 19 Mueller, H. Phys. Rev. <u>57</u>, 829 (1940)
- 20 Chaves, A., and Porto, S.P.S., Sol. Stat. Comm., $\underline{13}$, 865 (1973)
- 21 Andrade, P.R., and Porto, S.P.S., Sol. Stat. Comm., <u>14</u>, 547 (1973)

- 22 Baker, A.S., and London, R., Rev. Mod. Phys., <u>44</u>, 18 (1972)
- 23 Andrade, P.R., Prasad, A.D., Katiyar, R.S. and Porto, P.S.P, Sol. Stat.Comm., 12, 847 (1973)
- 24 Andrade , P.R., Katiyar, R.S., and Porto, S.P.S., Ferroeletrics, 8, 637 (1974)

<u>CAPITULO III - ESPALHAMENTO RAMAN E DISCUSSÕES DOS</u> <u>FONONS EM CRISTAIS DA ESTRUTURA DO</u> KDP

III.1: Medidas experimentais

III.1.1: Montagem experimental

As medidas de espalhamento Raman foram realizadas com equipamentos convencionais, constituídos por um Laser, um espectrometro duplo e um sistema de deteção, como mostrados esquematicamente na figura III.1.

Utilizamos o Laser de Argônio, modelo 164 da Spectra Physics, operando com a linha 5145 Angstrons para uma potência de 700mw. A luz espalhada a 90° para o feixe incidente foi ana lisada por um espectrometro duplo da Spex, modelo 1401 e dete tada pela fotomultiplicadora ITT-F#-130. Os sinais da fotomultiplicadora, refrigerada, foram medidos usando-se o eletrômetro 610 CR da Keithley Instruments e registrados no Hewlett Packard 7101 BM (D.C)

A temperatura foi variada com a amostra montada em um "dewar" de nitrogênio líquido DN-70 da Oxford Instruments e con trolada por um controle eletrônico, (Precision Temperature Controller) com estabilidade de temperatura de $\pm 0.2^{\circ}$ K. A temperatura da amostra foi monitorada utilizando-se um termômetro de platina e de um sensor criogênico linear de temperatura com uma precisão de $\pm 1^{\circ}$ K. A resolução típica utilizada foi de $2 \, \text{cm}^{-1}$ e os pontos dos dados obtidos no registrador foram coletados a cada $2.4 \, \text{cm}^{-1}$ para a análise do método dos mínimos quadrados ("least square analysis").

Sistemas de x, y, z foram montados como suportes de lentes para permitirem maior precisão na focalização da luz na amostra e no espectrômetro. Para esta focalização, utilizamos a objetiva Asahi Pentax com abertura 1:1.8 e distância focal de 85mm, de tal forma que pudessemos identificar sua distância focal com a do espectrômetro.

Foi também montado um prisma para bloquear a luz proveniente do tubo de descargas do Laser, que tivesse frequência diferente da luz selecionada; como auxiliar foi colocado um dia fragma de diâmetro de 4mm. Utilizamos um polarizador que fizesse

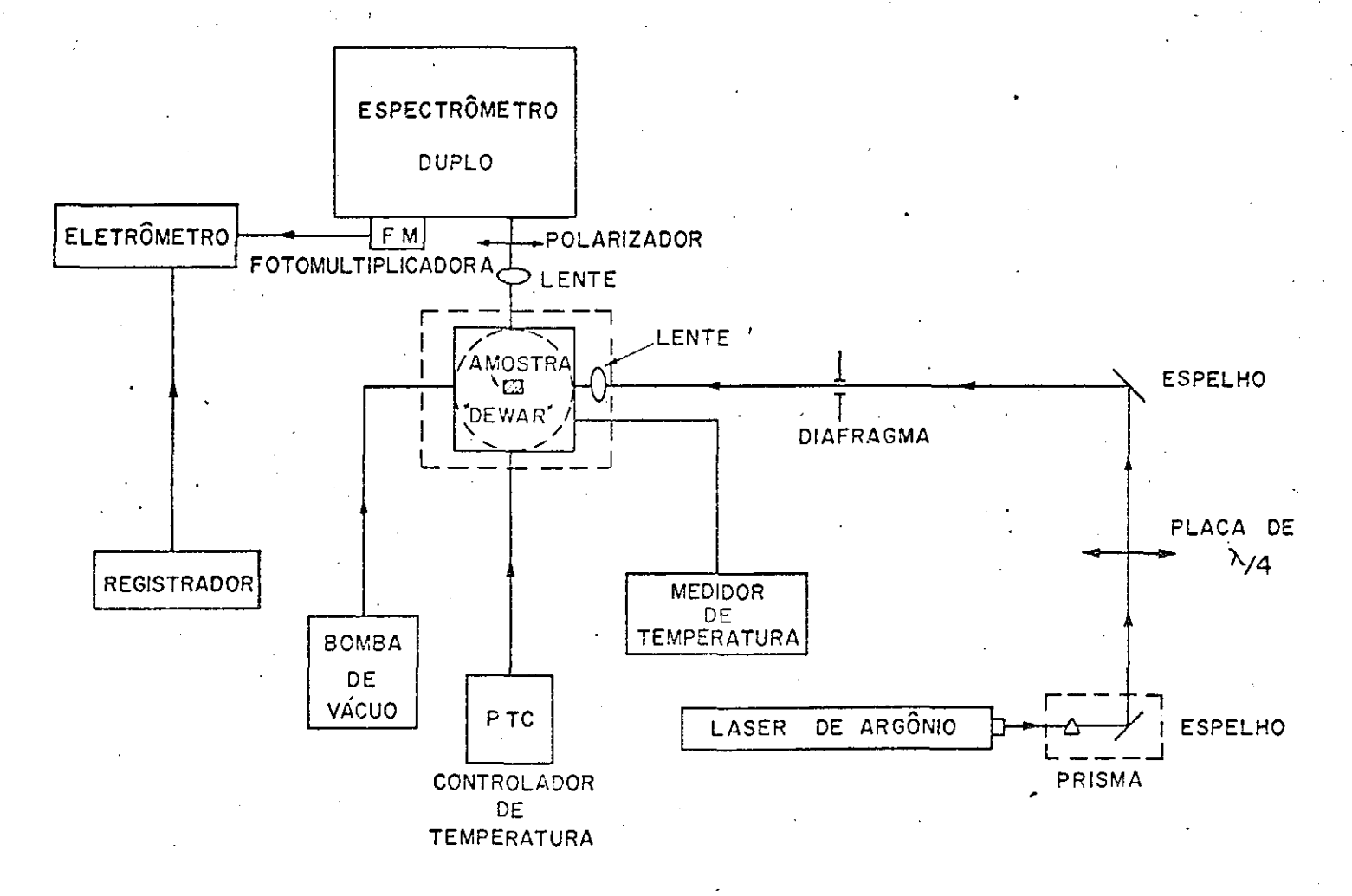


Fig. III- I: DIAGRAMA REPRESENTATIVO DO EQUIPAMENTO UTILIZADO

com que o plano de polarização da luz espalhada ficasse na direção desejada, e uma placa de um quarto de comprimento de on da para mudar a polarização da luz do Laser de 90°.

III.1.2: Preparação das amostras

Os cristais simples orientados, de KDP, RDP, RDA e D-RDA, com dimensões de 1cm³ foram obtidos da Quantum Tecnology, Inc. Estes cristais são higroscópicos, nos conduzindo a precauções especiais em seu manuseio.

As amostras foram cortadas em duas partes, perpendicularmente ao eixo z, antes de serem polidas. O polimento foi feito, utilizando-se pasta de diamente de 0.3 μ sobre um "silvet cloth" de 1μ .

A orientação das amostras foram verificadas pela identificação do eixo ótico e com a utilização do espalhamento Raman.

III.1.3: Preparação criogênica

O criostato CN-70 é um "dewar" tipo "dedo frio" e ne le, um suporte para a amostra, especialmente desenhado foi co locado para se minimizar o gradiente de temperatura. Este su porte é mostrado na figura III.2. Uma placa móvel, de cobre, presa em duas molas, sustentava de um lado a amostra, sendo que do outro lado ela era presa a uma placa fixa de cobre; desta forma a temperatura em ambos os lados do cristal era a mesma. A amostra era ainda fixa no fundo do "dedo frio" e dos lados por verniz G.E-7301 permitindo um ótimo contacto térmico. A eva cuação do criostato foi feita através de uma bomba de difusão.

III.1.4: Medidas experimentais

Em geral as medidas de espalhamento Raman em cristais do tipo do KDP e isomorfos são realizadas no intervalo de 10cm^{-1} a 3 x 10^3cm^{-1} em diferentes orientações, entretanto, de acordo com a teoria de Cochran, o modo ferroelétrico corresponde a simetria B_2 com polarização (xy), na região de frequência externa; nossa atenção foi concentrada no estudo de tais fonons. Pa

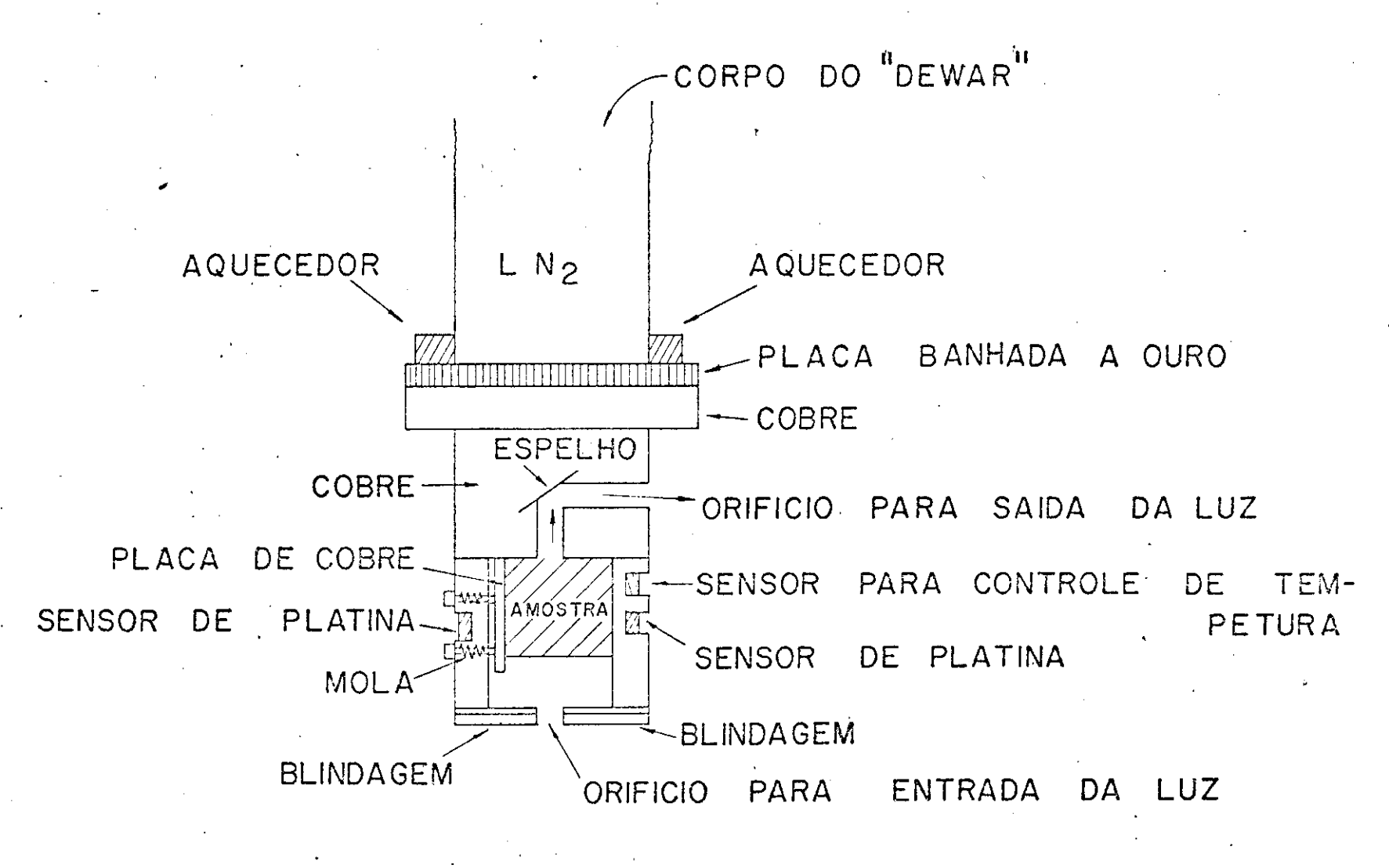


Fig. III2: SISTEMA PARA BAIXAS TEMPERATURAS

ralelamente, procuramos observar vários fonons com várias sime trias e para isto as seguintes geometrias de espalhamento \underline{fo} ram empregadas, para as temperaturas acima da transição de \underline{fa} se:

Geometria de espalhamento	Tensor Raman	Característica do modo	Simetria
x(yx)y	$^{\alpha}$ yx	то	$B_2(z)$
x(yx)z	α_{yx}	TO+LO	$B_2(z)$
$z(xy)\bar{z}$	α_{yx}	LO	$B_2(z)$
z(xz)x	$^{lpha}_{ m XZ}$	ТО	E(y)
x(zx)y	α_{XZ}	TO+LO	E(y)
z(xz)y	α_{xz}	TO+LO	E(y)
$y(xz)\bar{y}$	α_{xz}	LO	E(y)
x(zz)y	αχχ	-	A ₁
$y(zz)\bar{y}$	α_{zz}	-	A_1
z(xx)y	$\alpha_{\mathbf{x}\mathbf{x}}$	· -	B ₁ +A ₁
$z(xx)\bar{z}$	α_{xx}	-	B ₁ +A ₁

Para baixas temperaturas, os cristais se tornam ortor rômbicos e novos eixos x' e y' (os quais estão a 45º em relação aos eixos da fase paraelétrica) estão desenvolvidos, enquanto que o eixo z permanece inalterado, pelo menos em direção. Des de que nenhuma tentativa foi feita para identificar os novos eixos a baixas temperaturas, nos devemos desenvolver nossos estudos a baixas temperaturas em termos dos eixos x e y na fase paraelétrica. As seguintes geometrias de espalhamento foram empres gadas no estudo dos fonons a baixas temperaturas:

Geometria de espalhamento	Tensor Raman	Simetria
y(xy)x	α _{x'x'} (TO) α _{y'y'} (TO) α _{x'y'} α _{y'x'}	A ₁ A ₁ A ₂ A ₂
x(zz)y	$\alpha_{z'z'}$ (TO)	\mathtt{A}_{1}
x(zx)y	αz'x' αz'y'	B ₁ B ₂

III.2: Resultados experimentais e discussões

Os modos Raman de várias simetrias na região de frequência entre 0 a $500 \mathrm{cm}^{-1}$, nas fases paraelétricas e ferroelétrica obtidas através do espalhamento Raman são mostrados nas figuras que se seguem.

A figura III.3, mostra os espectros para os cristais de KDP, RDP, RDA e D-RDA na configuração geométrica z(xz)y,por tanto os modos (LO + TO), de simetria E, à temperatura ambien te. Pode-se notar nestes espectros que os arsenetos RDA e D-RDA apresentam dois modos internos (A-BO₄) em torno de 360cm⁻¹, bas tante intensos, sendo que nos fosfetos RDP e KDP, os modos des ta região são fracos. Contrariamente, na região entre 100 e 200cm⁻¹ os fosfetos mostram modos mais intensos e os arsenetos apresentam modos mais fracos. Abaixo de 100cm⁻¹ todos os cris tais apresentam modos superamortecidos acoplados com modos de mais baixa frequência.

A figura III.4, mostra os espectros para os mesmos cris tais, na configuração y(xz)y, portanto os modos (LO), de tria E, também à temperatura ambiente. Semelhantemente a confi guração estudada anteriormente, para a mesma simetria, na gião entre 300 e 400cm⁻¹, os arsenetos apresentam modos fortes que os fosfetos. Abaixo de 200cm⁻¹ todos os cristais apre sentam modos com intensidade média, com exceção do KDP que apre senta os modos 114cm⁻¹ e 131cm⁻¹ bastante fortes. Na região de baixa fre quência, novamente todos os cristais apresentam os modos super amortecidos acoplados com os modos de mais baixa frequência. picos que aparecem nesta configuração não apresentam vazamentos de outras configurações. A figura III.5 mostra os aspectos ra os cristais de RDP e RDA, na configuração geométrica x(zx)z, portanto os modos puros (TO) de simetria E. Pode-se notar o RDA apresenta dois modos na região interna enquanto que o RDP não apresenta nenhum. Na região externa, ambos os cristais apre entam o mesmo número de modos, sendo que os modos para baixas frequências apresentam características semelhantes.

De acordo com a teoria de grupo, é esperado para a geometria de espalhamento (xz) ou seja a simetria E, a obtenção de cinco modos óticos Raman ativos na região externa (0~300cm⁻¹) excluindo o hidrogênio. Em nosso caso, esta exigência foi sa

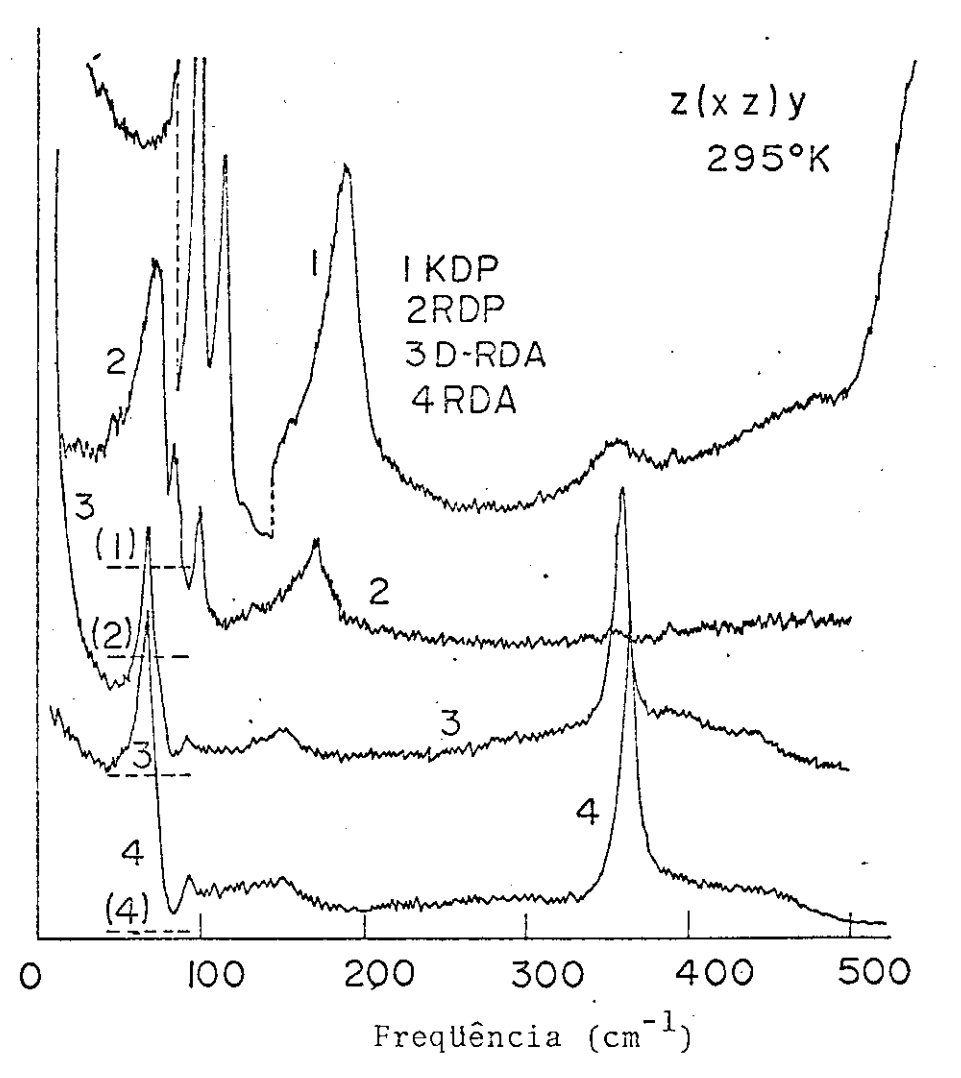


Figura III.3: Espalhamento Raman para os cristais de KDP, RDP D-RDA e RDA na polarização z(xz)y à temperatura ambiente.

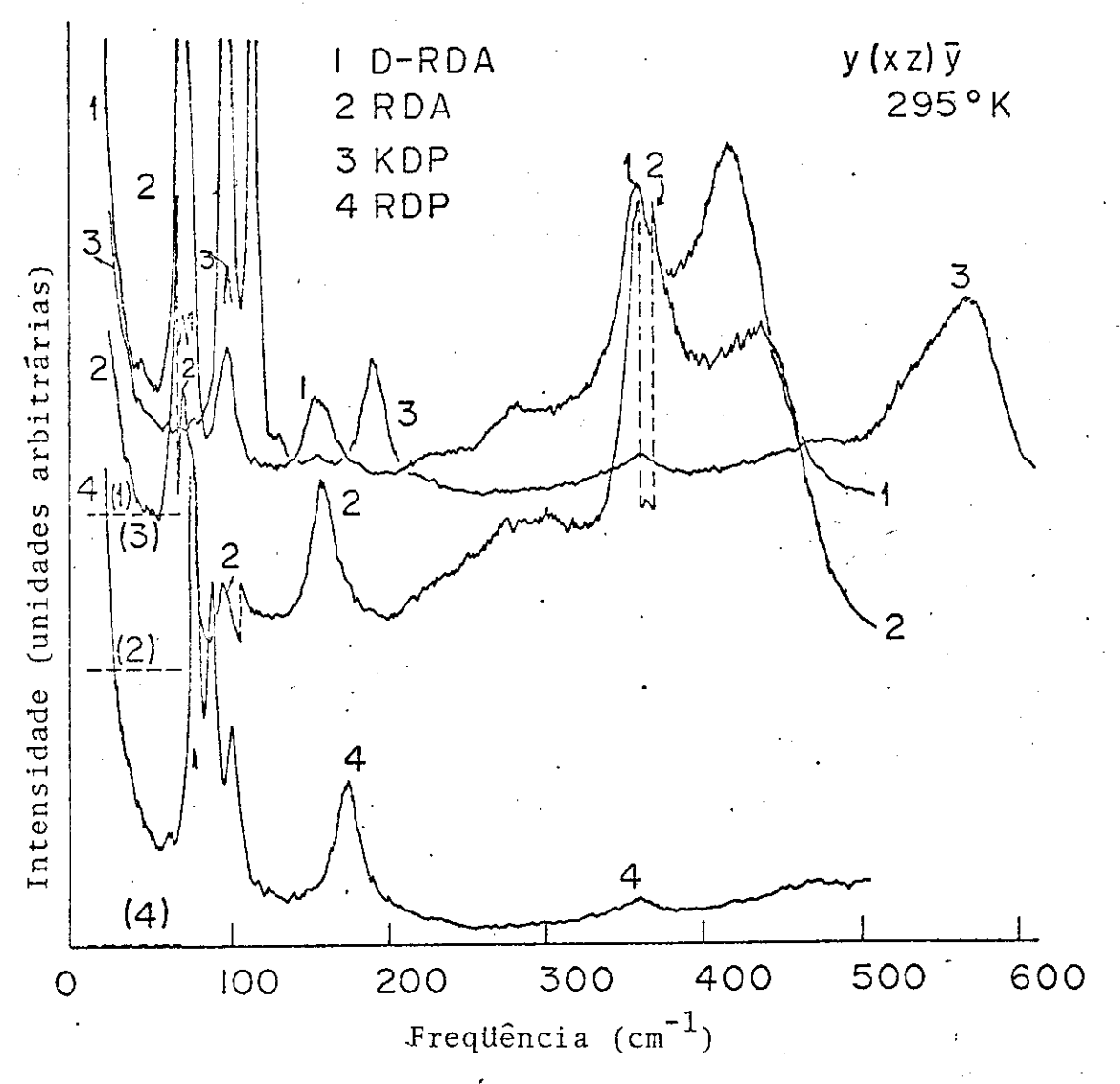


Figura III.4: Espalhamento Raman para os cristais de D-RDA, RDA, KDP e RDP na polarização y(xz) y a temperatura ambiente.

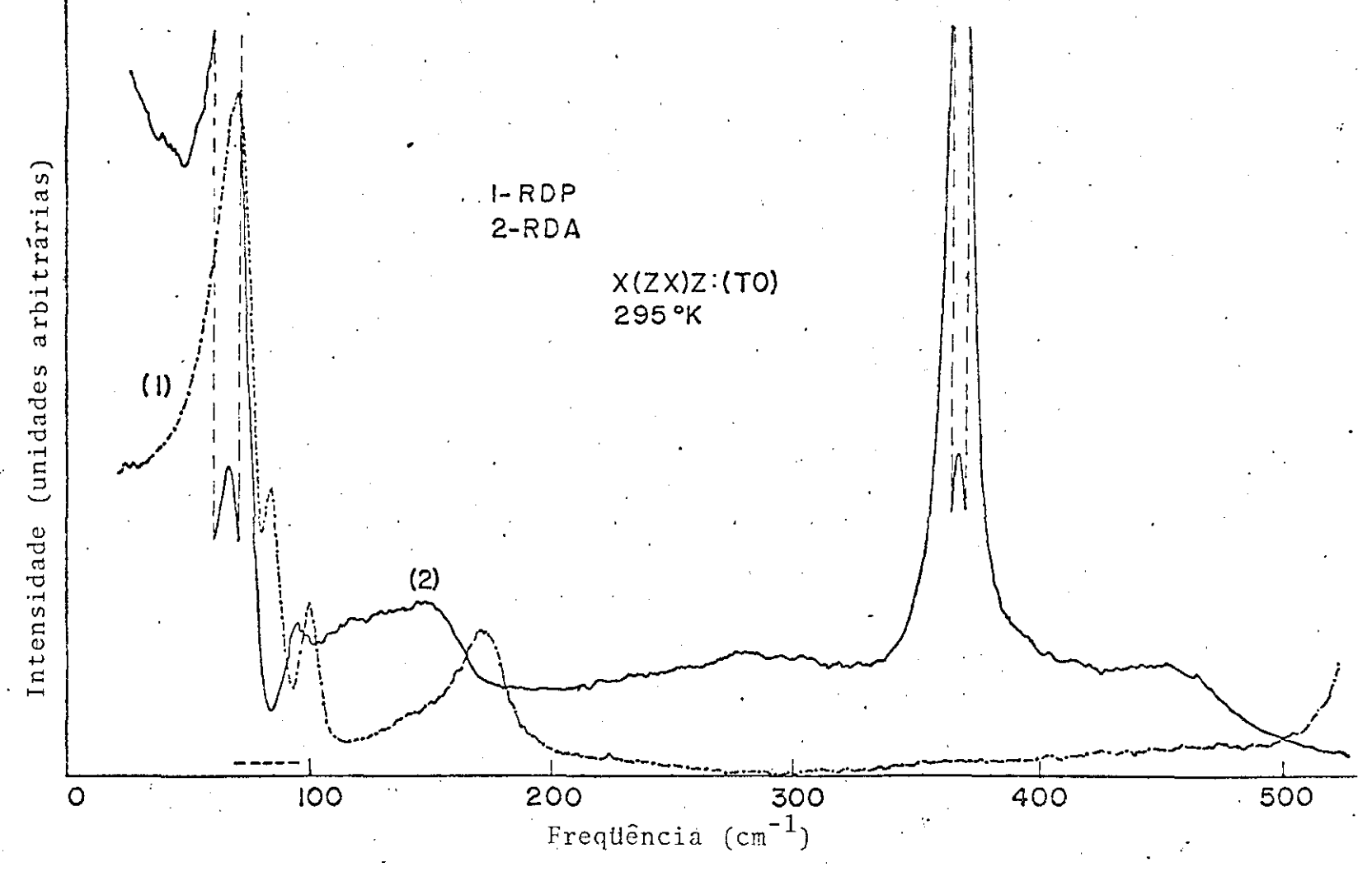


Figura III.5: Espalhamento Raman para os cristais de RDP e RDA na polarização x(zx)z (TO) à temperatura ambiente.

tisfeita para os modos (LO) com exceção do RDP que apresentou quatro modos. Para os modos (LO + TO) obtivemos em todos os cristais um número menor do que o previsto. Os modos (TO) para os dois cristais estudados apresentam quatro modos Raman ativos nesta região. Os modos que não foram observados, provavelmente são modos de fraca intensidade para serem detetados.

A tabela III.1 mostra as frequências observadas para os modos mistos (LO + TO) da configuração z(zx)y, os modos (LO) puros da configuração $y(xz)\bar{y}$ para todos os cristais e os modos (TO) puros da configuração x(zx)z para os cristais de RDP e RDA. As letras emtre parênteses na tabela III.1 indicam a caracteristica de cada pico, segundo a legenda.

A figura III.6 mostra o espectro dos mesmos cristais para a configuração y(zz)x, portanto os modos de simetria A_1 , também à temperatura ambiente. Pode-se verificar que os fosfetos apresentam na região entre $300 \ e \ 400 \ cm^{-1}$ modos mais intensos que os apresentados pelos arsenetos. Exatamente ao contrário ocor re na região entre $200 \ e \ 300 \ cm^{-1}$. Abaixo de $200 \ cm^{-1}$ somente o KDP mostra dois modos de fraca intensidade que provavelmente são vazamentos da simetria E. Nenhum cristal mostra, na região de baixa frequência, qualquer modo do tipo superamortecido. Na região externa $(0-300 \ cm^{-1})$ a teoria de grupo prevê apenas um modo Raman ativo, na simetria A_1 , excluindo o hidrogênio, para estes cristais. Em nossos resultados, este fato é confirmado para todos os cristais, com picos de alta intensidade, sendo que os picos que aparecemem excesso, são menos intensos o que nos leva a acreditar, como mencionado acima, que são vazamentos.

A figura III.7 mostra o espectro dos mesmos cristais para a configuração z(xx)y, portanto os modos de simetria A₁ + B₁, à temperatura ambiente. O KDP e o RDP apresentam modos à frequências próximas respectivamente 358cm⁻¹ e 359cm⁻¹, enquanto que o RDA e D-RDA mostram também modos a frequências próximas, respectivamente a 303cm⁻¹ e 297cm⁻¹, entretanto, diferentes dos fosfetos. Os modos externos apresentados pelos fosfetos se encontram a 205cm⁻¹ e 154cm⁻¹ para o KDP e 125cm⁻¹ e 82cm⁻¹ para o RDP, todos, com exceção do modo de frequência 154cm⁻¹ para o KDP, de baixa intensidade. Os arsenetos apresentam os modos externos, praticamente à mesma frequência, com exceção do modo de frequência 130cm⁻¹ que aparece no D-RDA e não aparece no RDA.

internas

TABELA III-I

FREQUÊNÇIAS EM cm⁻¹ OBSERVADAS PARA OS MODOS DA CONFÍGURAÇÃO GEOMÉTRI-CA (XZ) PARA CRISTAIS DE KDP, RDP, RDA, E D-RDA . NA TEMPERATURA AMBIEN-TE

K)P	RDP		RDA			D-RDA		
TO+LO	LO	ТО	TO + LO	LO	ТО	TO + LO	LO	TO+ LO	LO
98(MF)	98(MF)	70 (MF)	72 (m)	77 (MF)	66(MF)	66 (F)	70(F)	67(F)	73(MF)
114 (MF)	114 (MF)	84 (m)	84(m)	92(F)	92(m)	92(f)	95(f)	92(mf)	100(m)
	131 (mf)	99 (m)	100 (m)	101 (m)	<u>.</u>				
	155(mf)		<u></u>						
189 (F)	190 (m)	172 (m)	172 (m)	175(m)	148 (m,1)	~149(1)	157(m)	142 (m,1)	152(m).
	<u></u>						~234(1,0)		~231(1)
					277(f,l)		~285(1,0)		~279(1,0)
358(f)	361(1)		352(mf)	360(f)	364(MF)	364(F)	365(MF)	359(F)	356(F)
~473(1,0)	~475(1,0)	,			~450(f,I)	425(1,0)	437 (F)	~ 410(1,0)	415(F)

MF: muito forte, F: forte, f: fraco, l,o: largo, ombro, mf: muito fraco, m: medio, l: largo, m,l: medio, largo, f,l: fraco, largo

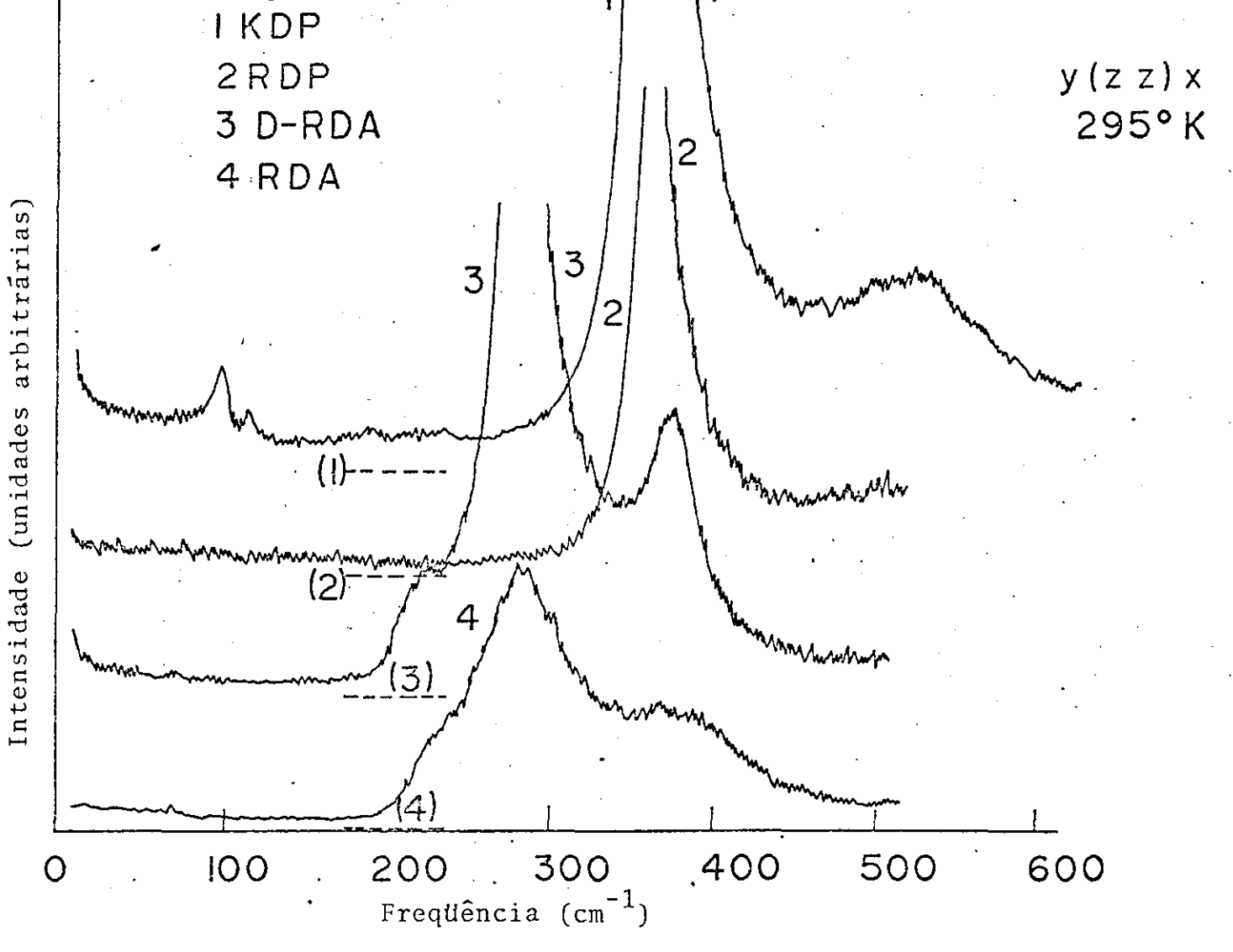


Figura III.6: Espalhamento Raman para os cristais de KDP, RDP, D-RDA e RDA na polarização y(zz)x à temperatura ambiente.

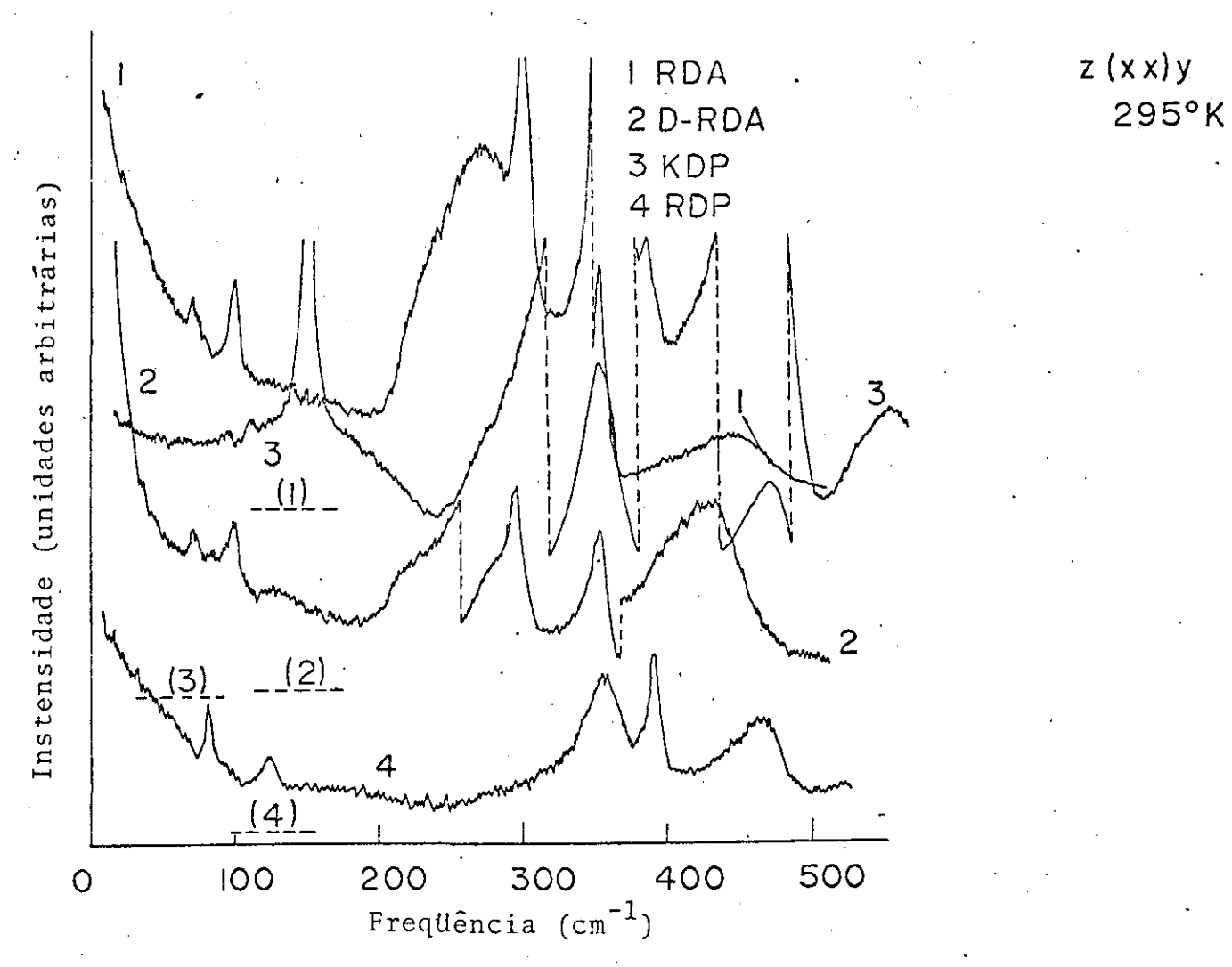


Figura III.7: Espalhamento Raman para os cristais de RDA, D-RDA, KDP e RDP na polarização z(xx)y à temperatura ambiente.

Para frequências bem baixas todos os cristais apresentam a mes ma característica, ou seja, apresentam modos superamortecidos que se acoplam com modos de mais baixa frequência.

A figura III.8 mostra os espectros da configuração $z(xx)\bar{z}$, portanto os modos de simetria A_1+B_1 , também à tempe ratura ambiente para os cristais de KDP e RDP. Nota-se que o KDP apresenta quatro modos externos sendo que os dois modos que aparecem a frequências menores que o modo 131cm^{-1} possivelmente sejam vazamentos. O RDP apresenta três modos na região externa de frequência, sendo que os modos internos que aparecem estão em faixas de frequências muito próximas às faixas de frequências dos modos internos do KDP. Ambos os cristais mostram modos su peramortecidos acoplados com modos de mais baixa frequência.

A teoria de grupo prevê para estas configurações citadas, de simetria A_1 + B_1 , na região externa, três modos Raman ativos, $1A_1$ e $2B_1$. Nossos resultados mostram que para o KDP e RDP, na configuração $z(xx)\bar{z}$, hã concordância com a teoria de grupo. No KDP por exemplo o modo de frequência 146cm^{-1} , na configuração $z(xx)\bar{z}$ parece-nos ser vazamento, possivelmente devido à bi-refringência do cristal. O mesmo ocorre para os cristais de RDA e D-RDA, sendo que no D-RDA, o modo de frequência 130cm^{-1} parece-nos ser também vazamento, pelo mesmo motivo citado.

As frequências observadas para as configurações z(xx)y, z(xx) z e y(zz)x para KDP e RDP; z(xx)y e y(zz)x para o RDA e D-RDA estão mostrados na tabela III.2. As letras entre parênte ses na tabela, indicam as características de cada pico, segundo a mesma legenda apresentada na tabela III.1.

Finalmente, para a temperatura ambiente, a figura III.9 mostra os espectros da configuração y(xy)x, portanto o modo de simetria B₂. Estes espectros mostram com maior clareza as par ticularidades dos fosfetos e dos arsenetos na região de frequên cia, considerada. Pode-se verificar que o KDP e RDP apresentam picos fortes a 382cm⁻¹ e 390cm⁻¹ respectivamente, sendo de mui to maior intensidade o pico de 382cm⁻¹, do KDP. Embora não apre sentem picos nesta região, os arsenetos mostram dois picos,303cm⁻¹ para o RDA e 297cm⁻¹ para o D-RDA, ambos aproximadamente de mes ma intensidade, não apresentados pelos fosfetos. Abaixo de 200cm⁻¹ todos os cristais apresentam as mesmas características; um modo superamortecido, devido ao movimento protônico, acopl<u>a</u>

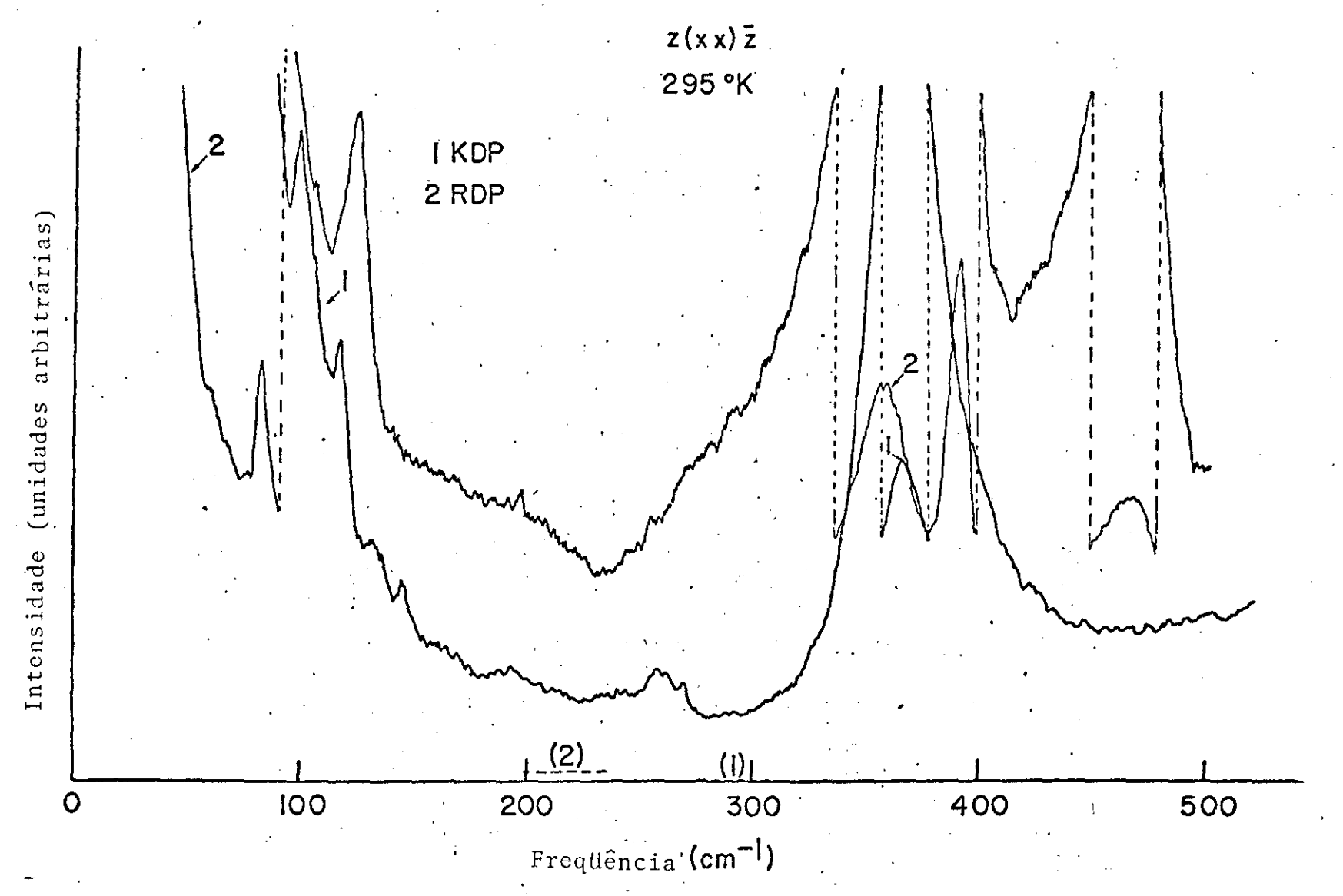


Figura III.8: Espalhamento Raman para os cristais de KDP e RDP na polarização $z(xx)\bar{z}$ à temperatura ambiente.

TABELA III-2

FREQUÊNÇIAS EM cm^{-1} OBSERVADAS PARA OS MODOS DAS CONFIGURAÇÕES GEOMÉTRICAS $Z(XX)Y, Z(XX)\overline{Z}$ E Y(ZZ)X PARA OS CRISTAIS DE KDP, RDA E D-RDA NA TEMPERATURA AMBIENTE

	KDP		RDP			RDA		D-RDA		SIMETRIA
Z(XX)Y	z(xx)Z	Y(ZZ)X	Z(XX)Y	Z(XX)Z	Y(ZZ)X	Z(XX)Y	Y(ZZ)X	Z(XX)Y	Y(ZZ)X	
	131(f)		82(m)	83(m)	<u></u>	74(f)		74(f)		Bi
	146(f)							~ 30(1,f)		?
154 (MF)	154 (1,f)		125 (f)	126(F)	·	103(m)	<u> </u>	102 (m)		В
205(1,0)	205(mf)	205 (1,1)		191 (1,0)	364 (MF)	~276(1)	~233(1,0)	~284(1,0)	~225(1,0)	A ₁
358(MF)	364(MF)	362(MF)	359(m)	358(F)		303(MF)	281(F)	297(m)	283(MF)	Δ _I
392(F)			390(m)	396(F)		357(MF)	373(1,0)	355(m)	376(F)	Ві
473(MF)			465(lm)	463 (MF)		_447(i,m)		431(1,0)		Bı

2



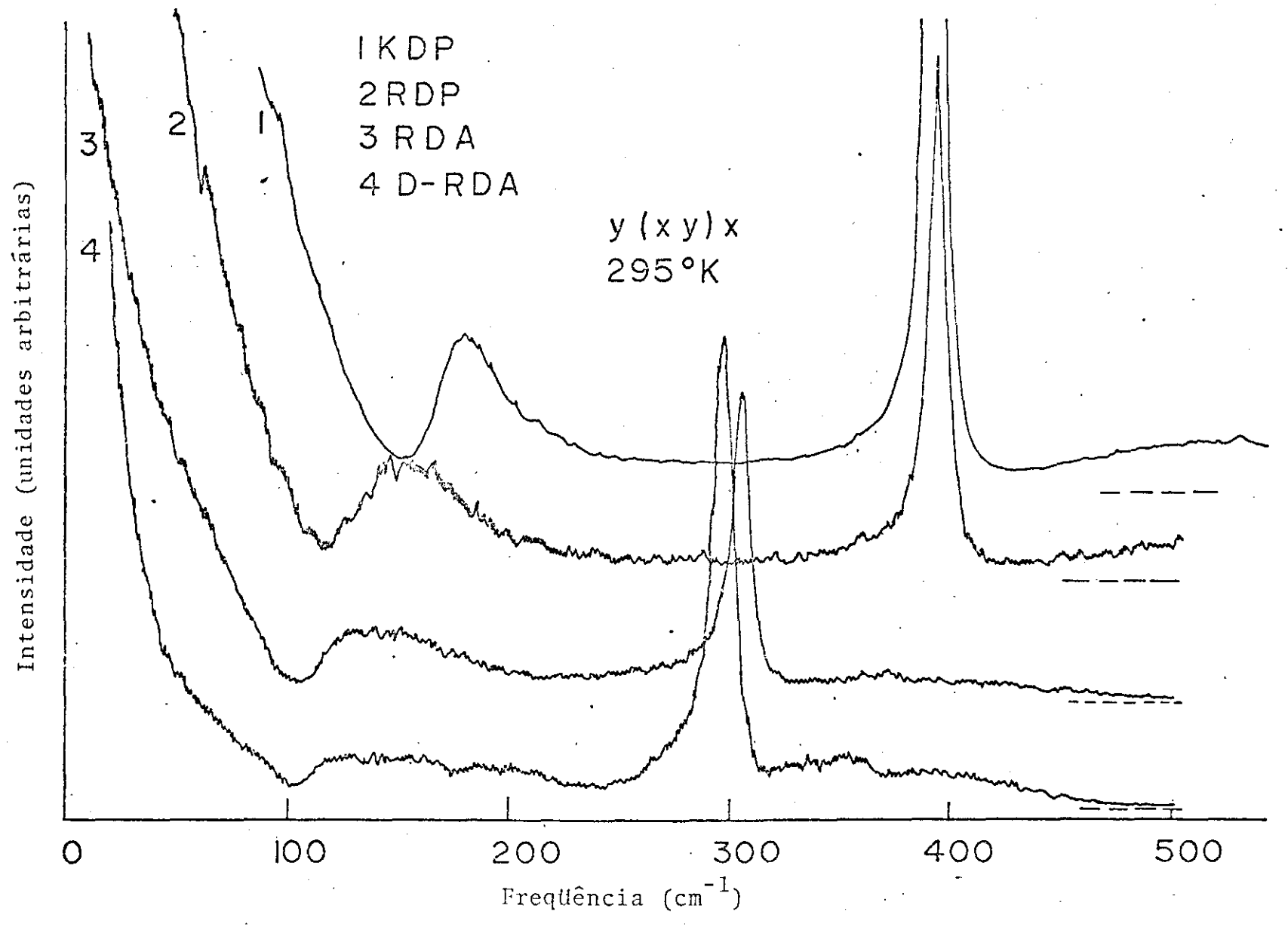


Figura III.9: Espalhamento Raman para os cristais de KDP, RDP, RDA e D-RDA na polarização y(xy)x à temperatura ambiente.

do com outro modo subamortecido de baixa frequência. Este último modo que é proveniente das vibrações do complexo A-BO₄ se desloca para a região de mais baixa frequência à medida que os fons do complexo aumentam em massa de um cristal para o outro. Os modos internos dos fosfetos não se deslocam para frequências mais baixas, o mesmo ocorrendo com os arsenetos, entretanto, é interessante notar que há um deslocamento dos arsenetos para mais baixa frequência, em relação aos fosfetos.

Estes modos de simetria B₂ são modos dipolares que pos suem momento de dipolo ao longo do eixo z. Uma vez que a constante dielétrica à baixas frequências tem comportamento catas trófico na direção z quando a temperatura é abaixada e a pola rização espontânea aparece ao longo desta direção, na fase fer roelétrica, estes modos precisam ser estudados em detalhes para que se possa extrair alguma informação com relação ao meca nismo da ferroeletricidade, tal como o comportamento do "soft mode" ou o fenômeno da relaxação de Debye. Estes modos serão discutidos em detalhes no Capítulo V.

Na figura III.10 mostramos os espectros da configuração $z(xy)\bar{z}$, portanto o modo (LO) de simetria B_2 , a temperatura ambiente para os cristais de RDA, RDP e D-RDA. Neste caso não apresentamos a identificação da frequência de cada modo devido ao grande número de vazamentos que aparece, da simetria E.

De acordo com a teoria de grupo, deveríamos ter, nestas configurações, dois modos Raman ativos, incluindo o hidrogênio, na região externa. Pode-se observar, pelos espectros na configuração y(xy)x que esta exigência está perfeitamente cumprida para todos os cristais estudados.

Nas figuras seguintes, estão mostrados os modos para a fase ferroelétrica dos cristais de RDP, RDA e D-RDA.

Na figura III.11, mostramos os espectros para o cristal de RDP à temperatura de 90° K nas configurações y(zy)x ou x(zx)y, portanto os modos B_1 + B_2 y(xy)x portanto os modos (TO), A_1 + A_2 e x(zz)y portanto os modos (TO) A_1 , na mesma região espectral anteriormente mostrada para a temperatura ambiente.

Devemos novamente observar que a notação x e y se refe re aos eixos da fase paraelétrica, pois na fase ferroelétrica es novos eixos e0 y estão a 45 em relação aos eixos e0 y.

Pode-se verificar que para baixas temperaturas nenhuma

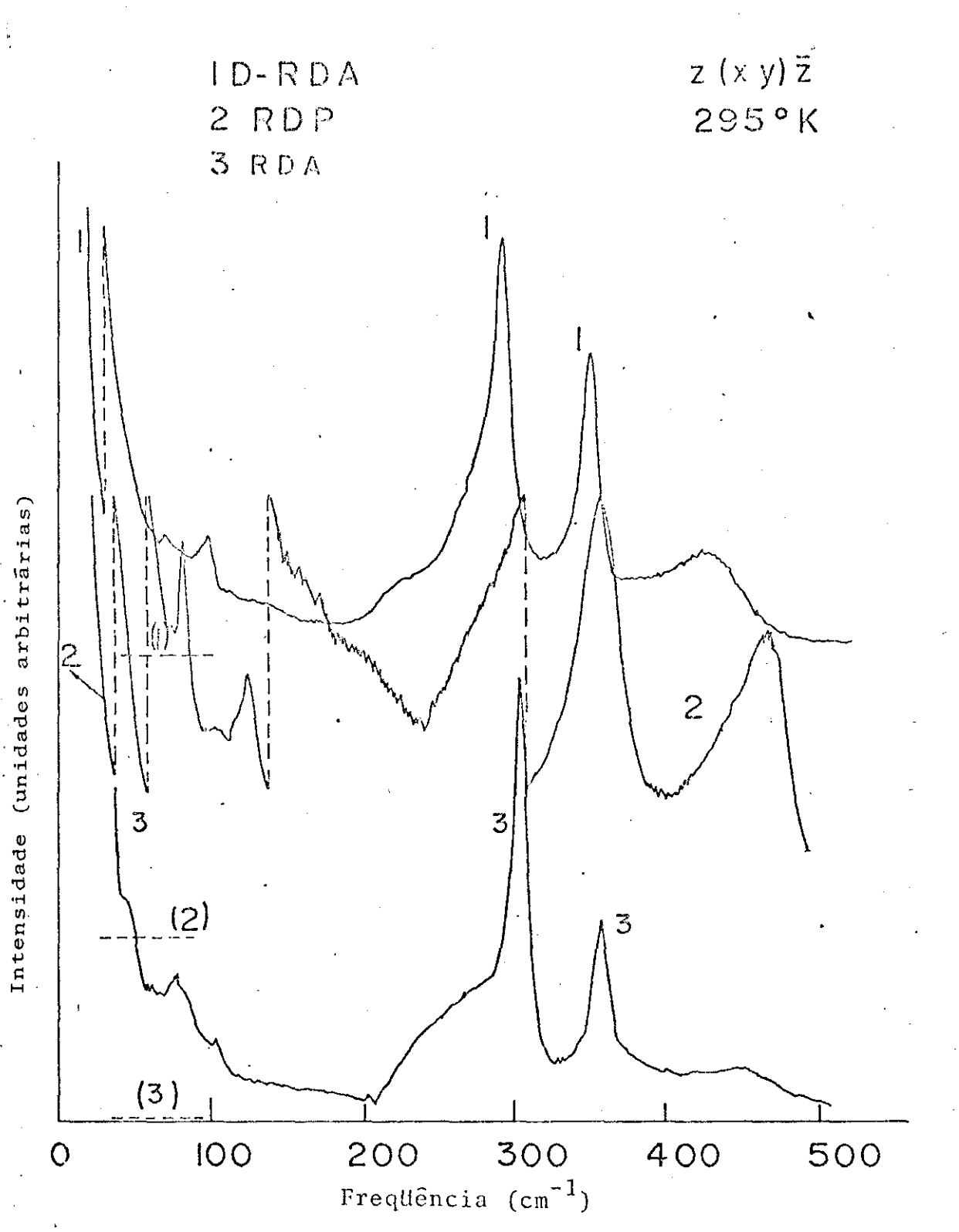


Figura III.10: Espalhamento Raman para os cristais de D-RDA, RDP e RDA na polarização z(xy) z à temperatura ambiente.

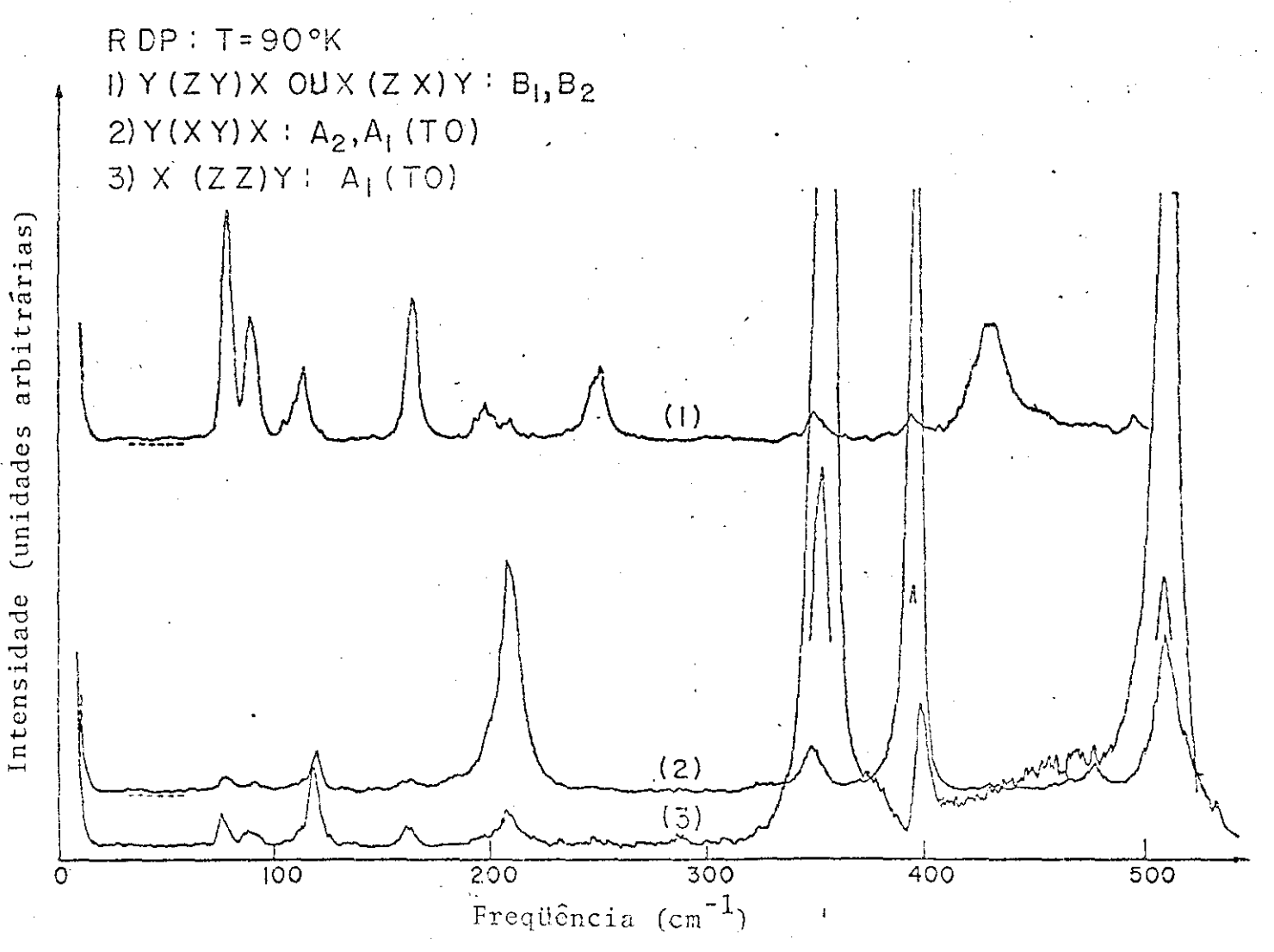


Figura III.11: Espalhamento Raman para o cristal de RDP, nas polarizações y(zy)x ou $x(zx)y(B_1,B_2)$, $y(xy)x(A_1,A_2)$ e $x(zz)y(A_1)$ para a temperatura de $90^{\circ}K$.

mudança drástica ocorreu nos espectros Raman dos fonons nas simetrias estudadas, entretanto, embora novos fonons aparecessem em relação àqueles para a temperatura ambiente, o número total de fonons observados não concorda com a teoria de grupo, pelo menos na região externa, embora exista uma certa dificuldade para especificarmos aqui, esta região. Nas configurações y(zy)x ou x(zx)y, cinco fonons de simetria B_1 e cinco de simetria B_2 (exeluindo o hidrogênio) eram esperados. Os resultados experimentais mostram sete fonons nesta região para o RDP e RDA e oito para o D-RDA. Para a simetria x(zz)y, dois fonons eram previstos de simetria A_1 , e o número observado na região externa foi cinco; para a configuração y(xy)x, esperava-se dois fonons de simetria A_1 e três fonons de simetria A_2 , enquanto que observamos quatro fonons A_1 , A_2 .

A figura III.12 mostra os espectros do cristal de RDA à temperatura de 90° K para as mesmas configurações acima cita das.

A figura III.13 mostra os espectros para o cristal de D-RDA para as configurações x(zz)y e y(zy)x ou x(zx)y para a temperatura de $105^{\circ}K$ e para a configuração y(xy)x para a temperatura de $140^{\circ}K$. Em ambos os casos, para os cristais de RDA e D-RDA podemos fazer as mesmas considerações feitas para o cristal de RDP.

A tabela III.3 mostra as frequências observadas para os três cristais citados nas configurações estudadas para a fase ferroelétrica.

As figuras III.14, III.15 e III.16 mostram os espectros dos cristais de RDP, KDP e RDA respectivamente, para a configuração y(xy)x, portanto o modo de simetria B₂, para temperaturas desde a ambiente, na fase paraelétrica até temperaturas abaixo da temperatura de transição de fase, portanto na fase ferroelétrica. Estes espectros, para cada um dos cristais mencionados apresentam, em concordância com a teoria de grupo na região externa, dois modos; um modo superamortecido, devido ao movimento protônico acoplado com outro modo subamortecido de baixa frequência. Pode-se observar que quando a transição de fase se aproxima, para cada um dos cristais estudados, a cauda superamortecida do tunelamento do modo protônico é "puxada" em direção à linha Rayleigh, mas não desaparece até bem abaixo da tem

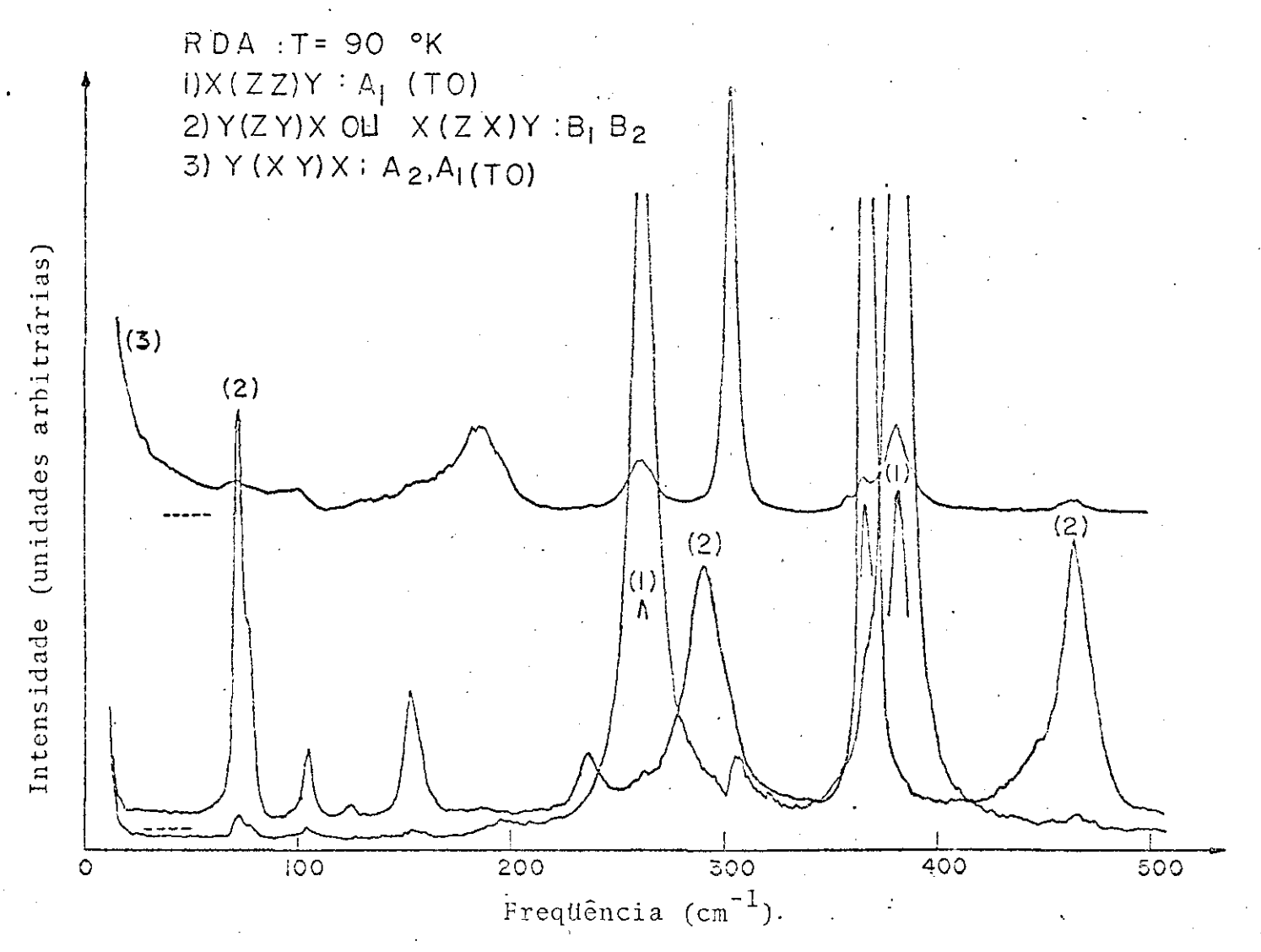


Figura III.12: Espalhamento Raman para o cristal de RDA, nas polarizações $x(zz)y (A_1)$, y(zy)x ou $x(zx)y (B_1,B_2)$ e $y(xy)x (A_2,A_1)$ à temperatura de $90^{\circ}K$.

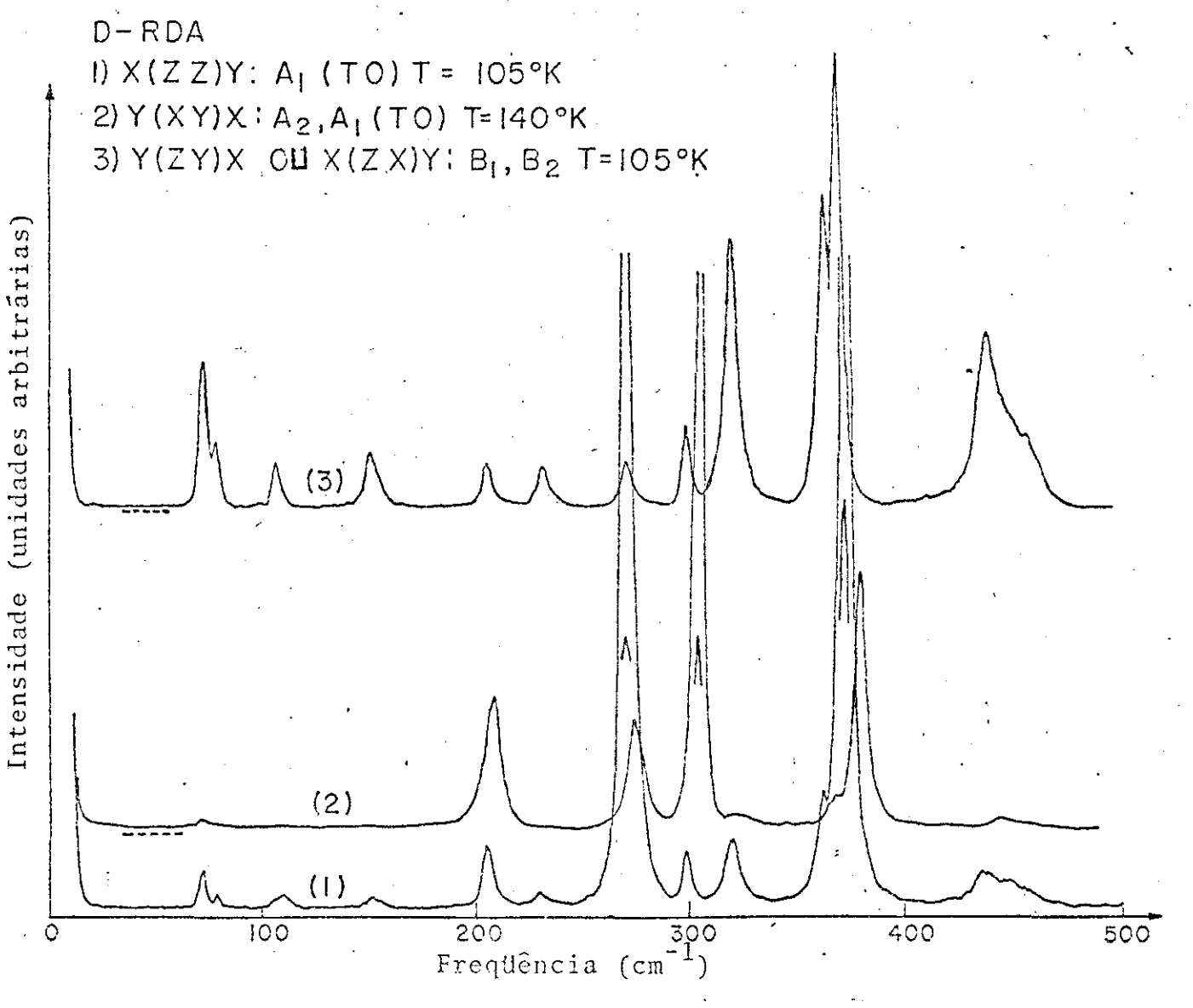


Figura III.13: Espalhamento Raman para o cristal de D-RDA nas polarizações x(zz)y (A₁) à temperatura de $105^{\circ}K$, y(xy)x (A₂,A₁) à tempe ratura de $140^{\circ}K$ e y(zy)x ou x(zx)y (B₁,B₂) à temperatura de $105^{\circ}K$.

TABELAIII.3
FREQUÊNCIAS EM cm⁻¹ OBSERVADAS PARA OS MODOS DAS CONFIGURAÇÕES X(ZZ)Y,Y(XY)X,
Y(ZY)X OU X(ZX)Y PARA OS CRISTAIS DE RDP, RDA, D-RDA NA FASE FERROELÉTRICA

RDP: T = 90°K			RDA:T = 90 °K			D -R DA T=105°K T=140°K T=105°K			
X(ZZ)Y	Y(XY)X	Y(ZY)X ou X(ZX)Y	X(ZZ) Y	Y(XY)X	Y(ZY)X ou x(ZX)Y		Y(XY)X	Y(ZY)X ou X(Z X)Y	
Aı	A ₁ ,A ₂	B ₁ , B ₂	Α _I	A ₁ ,A ₂	B ₁ , B ₂	A	A ₁ ,A ₂	B; , B ₂	
7,7	77	78	73	71	72	73	71	7 3	
90	91	90	104	99	74	79	207	79	
- 118	119	113	154	184	105	109	273	107	
162	207	163	196	259	125	151	302	151	
208	346	197	262	302	152	205	377	205	
352	393	208	306	358	236	229	442	231	
398	476	249	382	364	291	271		269	
~ 45 3	509	347	~ 465	380	366	297		297	
509		391		462	463	-318		318	
		428				361		360	
		494				371		367	
			*************************************			- 436		437	

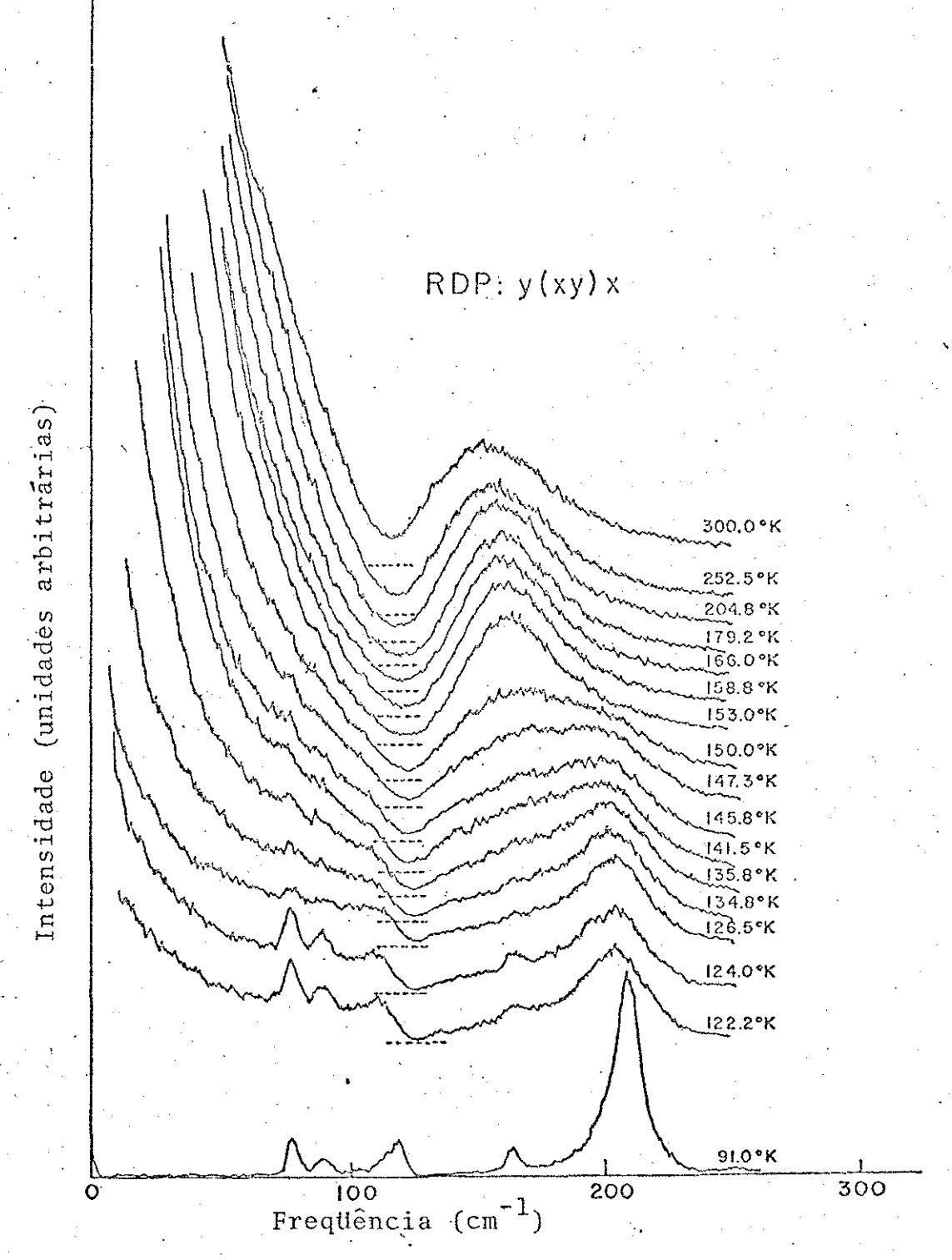


Figura III.14: Espalhamento Raman para o cristal de RDP na polarização y(xy)x à várias temperaturas.

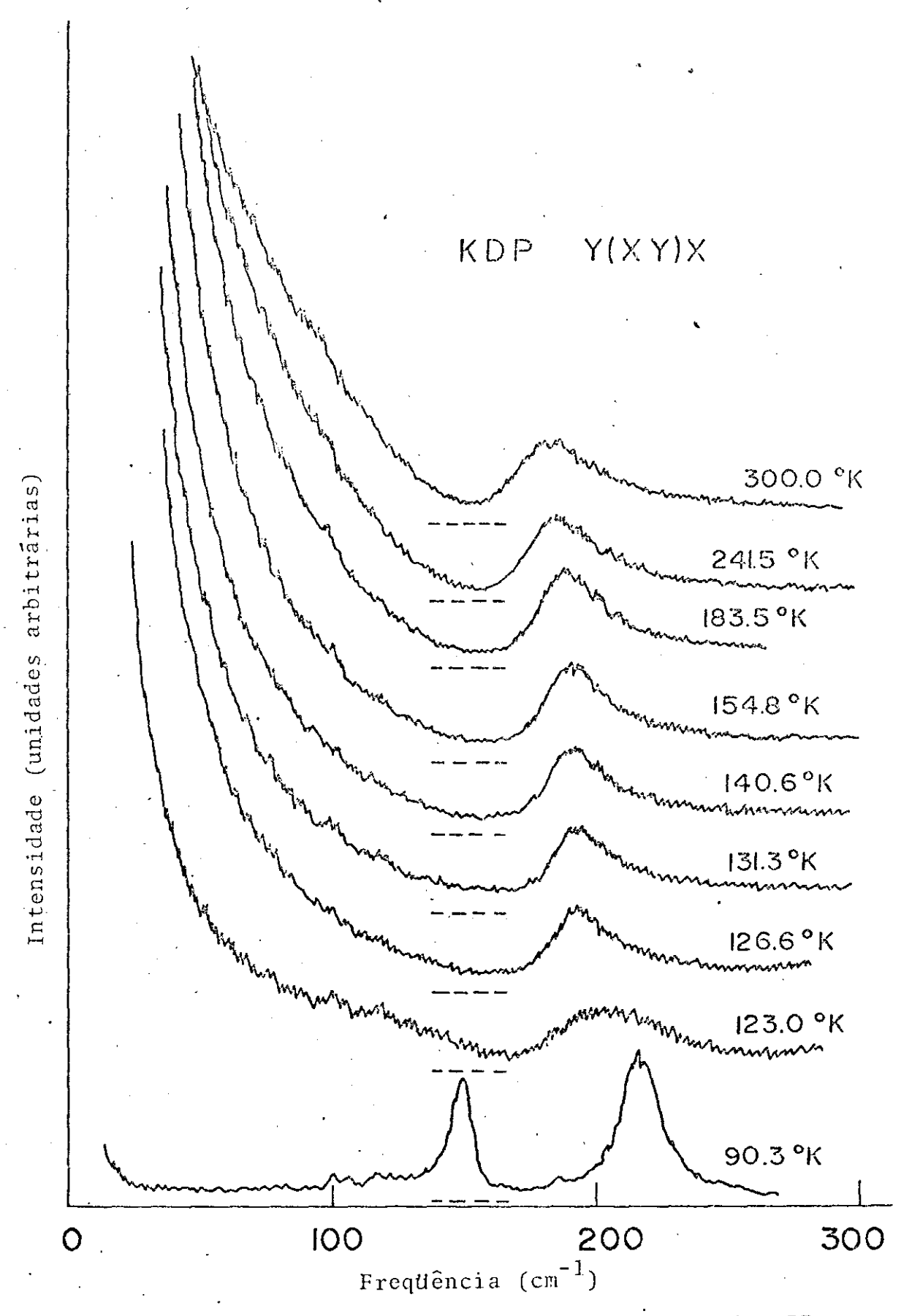


Figura III.15: Espalhamento Raman para o cristal de KDP na polarização y(xy)x à várias temperaturas.

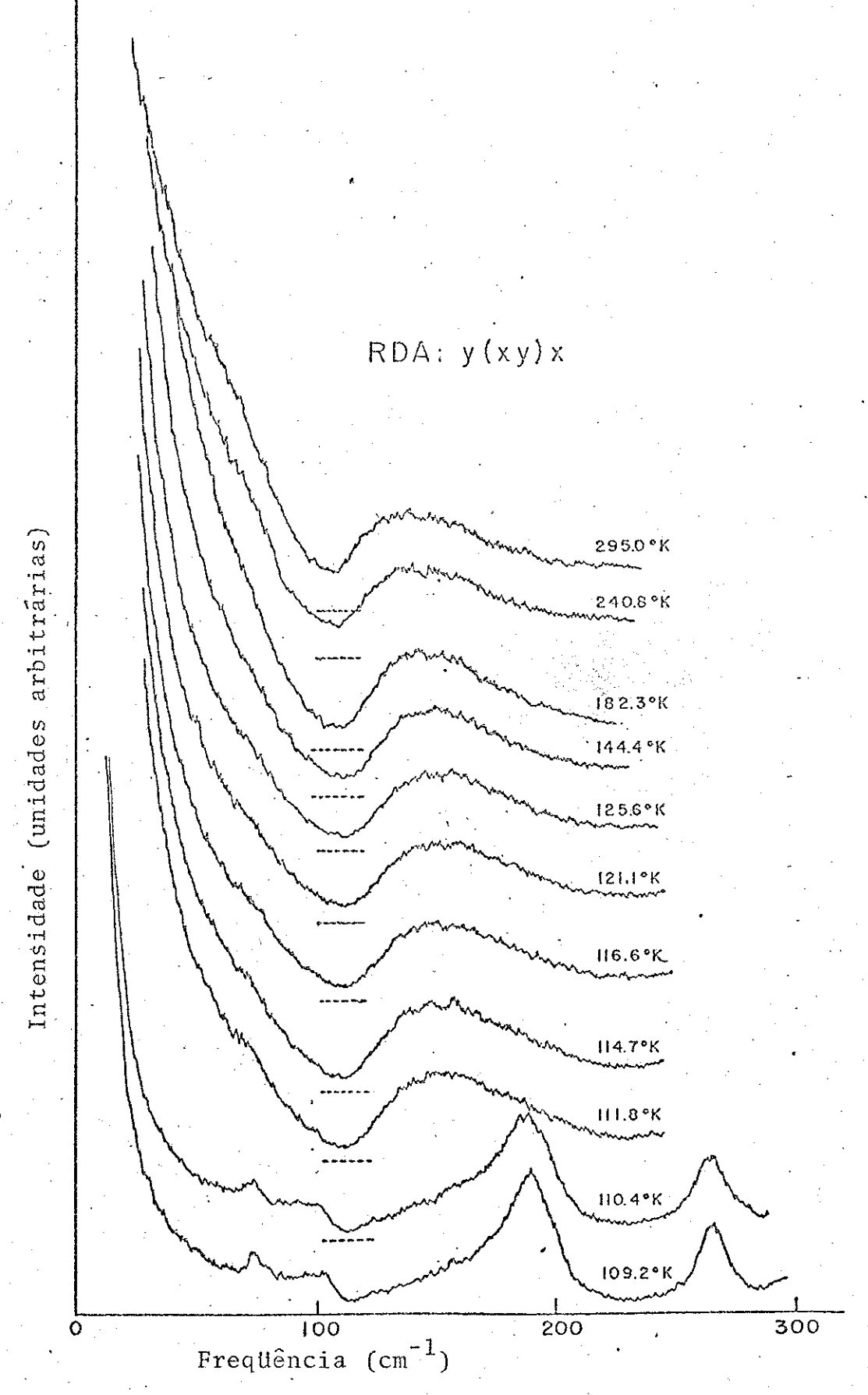


Figura III.16: Espalhamento Raman para o cristal de RDA na polarização y(xy)x à várias temperaturas.

peratura de transição. O acoplamento destes dois modos de sime tria B₂ foi estudado por nos neste trabalho, com especial cuida do, em função da temperatura. Os parâmetros dos modos superamor tecidos, como por exemplo a frequência ω, a meia largura Γ e aqueles do modo subamortecido, de mais baixa frequência, que se acopla com o acima citado, foram derivados utilizando-se o for malismo da função de Green para o "fitting" no computador, e tendo como função resposta dois osciladores hamônicos amortecidos acoplados (DHO) e também dois osciladores da rede acoplados (LO) devido a Silverman (1), que serão mencionados em detalhe no Capítulo IV. Entretanto, como este acoplamento e suas consequências foram objetivos fundamentais do nosso trabalho, apresentaremos no Capítulo V a discussão e no Capítulo VI as conclusões obtidas através destes dados, mostrados nos espectros citados.

III.3: Referência bibliográfica

1 - Silverman, B. D., Phys. Rev. B<u>9</u>, 203 (1974).

CAPÍTULO IV - FORMALISMOS

Neste capítulo, definiremos os conceitos básicos e as for mulas relacionadas com a interpretação dos nossos dados experimentais através dos formalismos da função de Green, como função resposta do oscilador harmônico amortecido (DHO) e do oscilador da rede(LO).

IV.1: Formalismo da função de Green como função resposta do oscilador harmônico amortecido (DHO).

Um oscilador harmônico, sujeito a um campo externo apl<u>i</u> cado, pode ser governado pela seguinte equação do movimento:

$$\ddot{Q} + i\gamma\dot{Q} + \omega_o^2 Q = \varepsilon E e^{i\omega t}$$
 (1.1)

onde: Q são as coordenadas normais do sistema, γ o coeficiente de amortecimento, ω a frequência angular com que o campo oscila, ϵ uma constante e ω_0 a frequência de oscilação. Uma solução desta equação pode ser escrita como:

$$Q = Q_0 e^{i\omega t}$$
 (1.2)

assim, $\dot{Q} = i\omega Q_0 e^{i\omega t}$ e $\ddot{Q} = -\omega^2 Q_0 e^{i\omega t}$, que, substituídos na equação (1.1) nos darão:

$$Q_{o} = \frac{\varepsilon E}{\omega_{o}^{2} - \omega^{2} + i\gamma \omega}$$
 (1.3),

então,

$$\chi = \frac{Q_O}{E} = \frac{\varepsilon}{\omega_O^2 - \omega^2 + i\gamma\omega}$$
 (1.4);

esta é a equação que nos fornece a suscetibilidade χ; separando a parte imaginária;

$$\chi''(\omega) = \frac{\varepsilon \gamma \omega}{\left(\omega_0^2 - \omega^2\right)^2 + \gamma^2 \omega^2}$$
 (1.5),

é a função resposta do oscilador hamônico amortecido (DHO), utilizada no espalhamento Raman e infravermelho. Para um dado coeficiente de amortecimento γ , ou para uma dada frequência ω_0 , podere mos considerar três casos limites: se $\gamma = \sqrt{2} \omega_0$, o sistema é considerado como tendo um amortecimento crítico, se $\gamma < \sqrt{2} \omega_0$ é considerado como tendo um amortecimento crítico, se $\gamma < \sqrt{2} \omega_0$ é considerado como tendo um amortecimento crítico, se $\gamma < \sqrt{2} \omega_0$ é considerado como tendo um amortecimento crítico, se $\gamma < \sqrt{2} \omega_0$ é considerado como tendo um amortecimento crítico, se $\gamma < \sqrt{2} \omega_0$ é considerado como tendo um amortecimento crítico, se $\gamma < \sqrt{2} \omega_0$ é considerado como tendo um amortecimento crítico, se $\gamma < \sqrt{2} \omega_0$ é considerado como tendo um amortecimento crítico, se $\gamma < \sqrt{2} \omega_0$ é considerado como tendo um amortecimento crítico, se $\gamma < \sqrt{2} \omega_0$ é considerado como tendo um amortecimento crítico, se $\gamma < \sqrt{2} \omega_0$ é considerado como tendo um amortecimento crítico, se $\gamma < \sqrt{2} \omega_0$ é considerado como tendo um amortecimento crítico, se $\gamma < \sqrt{2} \omega_0$ é considerado como tendo um amortecimento crítico, se $\gamma < \sqrt{2} \omega_0$ é considerado como tendo um amortecimento crítico, se $\gamma < \sqrt{2} \omega_0$ é considerado como tendo como tendo um amortecimento crítico, se $\gamma < \sqrt{2} \omega_0$ é considerado como tendo como ten

siderado sub-amortecido, e se $\gamma > \sqrt{2}\omega_0$ é superamortecido.

Se considerarmos agora, dois osciladores amortecidos aco plados, o problema do movimento do sistema, sujeito a forças apli cadas, pode ser resolvido de maneira semelhante a do simples os cilador hamônico amortecido; assim, podemos escrever as equações do acoplamento como seguem:

$$\left(\omega_{1}^{2} - \omega^{2} + i\omega\gamma_{1}\right) Q_{1} + \left(\Delta_{12}^{2} + i\omega\gamma_{12}\right) Q_{2} = f_{1}$$
 (1.6)

$$\left(\Delta_{21}^{2} + i\omega\gamma_{21}\right)Q_{1} + \left(\omega_{2}^{2} - \omega^{2} + i\omega\gamma_{2}\right)Q_{2} = f_{2}$$
 (1.7)

onde:

 f_i : é a força do oscilador i, i = 1,2 Δ_{12}^2 e Δ_{21}^2 : são os acoplamentos reais

 γ_{12} e γ_{21} : são os acoplamentos imaginários.

Desta forma, as equações (1.6) e (1.7) podem ser escritas na forma matricial, colocando:

$$R_1(\omega) = \omega_1^2 - \omega^2 + i\gamma_1 \omega \qquad (1.8)$$

$$R_2(\omega) = \omega_2^2 - \omega^2 + i\gamma_2\omega \qquad (1.9)$$

Utilizando o acoplamento real, podemos escrever:

$$\begin{pmatrix} R_1(\omega) & \Delta_{12}^2 \\ \Delta_{21}^2 & R_2(\omega) \end{pmatrix} \begin{pmatrix} Q_1 \\ Q_2 \end{pmatrix} = \begin{pmatrix} f_1 \\ f_2 \end{pmatrix}$$
 (1.10)

Podemos aplicar:

$$\alpha Q_2' = Q_2$$

 $Q_1' = Q_1$ onde α é uma matriz transformação das coordenadas $Q_2 \rightarrow Q_2$; assim,

$$R_1(\omega) Q_1 + \alpha Q_2 \Delta_{12}^2 = f_1 = f_1$$
 (1.11)

$$\Delta_{21}^{2} Q_{1}' + R_{2}(\omega) \alpha Q_{2}' = f_{2}$$
 (1.12)

ou ainda,
$$R_2(\omega)Q_2' + \alpha^{-1}\Delta_{21}^2Q_1' = f_2\alpha^{-1} = f_2'$$
 (1.13)

Poderemos escolhera de modo que:

$$\alpha \Delta_{12}^2 = \Delta_{21}^2 \alpha^{-1} = \Delta_{12}^2$$

assim as equações (1.11) e (1.13) podem ser escritas,

$$\begin{cases} R_{1}(\omega) Q_{1}^{\prime} + \Delta_{12}^{\prime 2} Q_{2}^{\prime} = f_{1}^{\prime} \\ \Delta_{12}^{\prime} Q_{1}^{\prime} + R_{2}(\omega) Q_{2}^{\prime} = f_{2}^{\prime} \end{cases}$$
(1.14)

Colocando novamente as equações na forma matricial, obteremos a matriz simétrica na forma:

$$\begin{pmatrix} R_{1}(\omega) & \Delta_{12}^{2} \\ A_{12} & R_{2}(\omega) \end{pmatrix} \begin{pmatrix} Q_{1}^{2} \\ Q_{2}^{2} \end{pmatrix} = \begin{pmatrix} f_{1}^{2} \\ f_{2}^{2} \end{pmatrix}$$

$$(1.15)$$

logo,
$$\begin{pmatrix} Q_1 \\ Q_2 \end{pmatrix} = \begin{pmatrix} R_1(\omega) & \Delta_{12} \\ \Delta_{12} & R_2(\omega) \end{pmatrix}^{-1} \begin{pmatrix} f_1 \\ f_2 \end{pmatrix}$$
 (1.16)

A suscetibilidade pode ser escrita como:

$$\chi(\omega) = f_1 Q_1 + f_2 Q_2 = F_Q$$
 (1.17)

onde:

$$F' = \begin{pmatrix} f' \\ 1 \\ f_2 \end{pmatrix} e Q' = \begin{pmatrix} Q'_1 \\ Q'_2 \end{pmatrix}$$

· A expressão para a suscetibilidade pode também ser escrita com a utilização do formalismo da função de Green, na seguinte forma:

$$\chi(\omega) = F GF = \sum_{i,j} F_i F_j G_{i,j}(\omega)$$
 (1.18)

onde:

$$\begin{pmatrix} R_{1}(\omega) & \Delta_{12} \\ \vdots & \vdots & \vdots \\ \Delta_{12} & R_{2}(\omega) \end{pmatrix} \begin{pmatrix} G_{11} & G_{12} \\ \vdots & \vdots & \vdots \\ G_{12} & G_{22} \end{pmatrix} = \begin{pmatrix} 1 & 0 \\ \vdots & \vdots & \vdots \\ 0 & 1 \end{pmatrix}$$
(1.19),

onde a primeira matriz será chamada de S.

Introduzindo os elementos de G da equação (1.19) na equação (1.18), chegaremos ao mesmo resultado da equação (1.17).

Esta função resposta dada pela equação (1.17) foi util \underline{i} zada por vários autores, tais como Katiyar e colaboradores (1), She e colaboradores (2), Peercy e Samara (3) e Lowndes e colaboradores (4) para descreverem o sistema do acoplamento de dois fonons.

A função resposta dada pela equação (1.18), aplicada na

flutuação do cristal que dá arigem ao espalhamento Raman pode ser analisada pelo teorema de Nyquist. Provas bem rigorosas do teorema de Nyquist na Mecânica Quântica foram apresentadas por Callen (5) e Landau (6), entretanto aqui apresentaremos o resultado.

O espectro de frequências das flutuações na variável $S(\omega)$ dada pela fórmula de Nyquist da Mecânica Quântica, pode ser escrita como:

$$\left\langle \left[S(\omega) \right] \right\rangle = R \left[n(\omega) + 1 \right] Im\chi(\omega)$$
 (1.20)

onde:

 $\left\langle \left| S(\omega) \right| \right\rangle$: pode ser tomada como a intensidade do espalha mento

 $Im\chi(\omega): \ \acute{e} \ a \ parte \ imagin \'aria \ da \ fun \cr \varsigma \~ao \ resposta \ linear \\ \chi(\omega) \ apropriada \ para \ a \ vari \'avel \ S(\omega)$

R: é uma constante de normalização

 $n(\omega)$: é um fator térmico quântico dado por:

$$n(\omega) = \left[\exp \frac{\hbar \omega / K_B T}{-1}\right]^{-1}$$
 (1.21)

onde K_B é a constante de Boltzman e T a temperatura absoluta. O intervalo das frequências ω vai de $-\infty$ a $+\infty$ em ambas as equações (1.20) e (1.21), assim, o valor quadrático médio da variável $S(\omega)$ é dado por:

$$\left\langle \left| S(\omega) \right|^2 \right\rangle = \int_{-\infty}^{+\infty} \left\langle \left| S(\omega) \right|^2 \right\rangle d\omega$$
 (1.22)

Algumas derivações do espectro de flutuação dado pela equação (1.19), dão o fator térmico como $n(\omega)+\frac{1}{2}=\operatorname{cotgh}(\omega/2)$ ao invés de $n(\omega)+1$ devido à combinação simétrica dos componentes de Fourier + ω e - ω ser tomada como média e as integrais tomadas de zero a infinito.

No espalhamento Raman, $+\omega$ e $-\omega$ podem ser medidas sepa radamente, isto é, os espalhamentos Stokes e anti-Stokes. En tão o fator $n(\omega)$ + $\frac{1}{2}$ na equação (1.20) é mudado para $\frac{1}{2} \left[n(\omega) + \frac{1}{2} \right]$ co mo discutido pela primeira vez por Butcher e Ogg (7), entretanto a equação (1.20) pode ser escrita fazendo-se a convenção de que ω é positiva, como:

Stokes:
$$\left\langle \left| S(\omega) \right| \right\rangle = R \left[n(\omega) + 1 \right] I m \chi(\omega)$$
 (1.23)

anti-Stokes:
$$\langle S(\omega) \rangle = R[n(-\omega) + 1]Im\chi(-\omega)$$
 (1.24)

isto porque:

$$Im\chi(-\omega) = -Im\chi(\omega)$$

 $n(-\omega) + 1 = -n(\omega)$, assim, a razão do processo Stokes para o anti-Stokes é dada por:

$$\frac{n(\omega)+1}{n(\omega)} = \exp\left(\frac{\hbar\omega}{K_{\rm B}T}\right) \tag{1.25}$$

Em outras palavras, o teorema de Nyquist diz que o espectro de intensidade das flutuações em $S(\omega)$ é relacionado com o produto do fator térmico e à parte dissipativa da função resposta cor respondente $Im\chi(\omega)$.

Devemos aqui ressaltar que dois importantes ingredientes são ne cessários para se estabelecer o espectro de flutuação e conse quentemente o espectro do espalhamento Raman; a função respos ta linear $S(\omega)$ que contém os detalhes da frequência e da largura de linha do modo, e o fator térmico quântico que descreve o "peso" do processo, onde uma excitação é criada ou destruída (Stokes e anti-Stokes).

Desta forma, para descrevermos o acoplamento de dois fonons 1 e 2 no processo do espalhamento Raman, escolheremos a função resposta para os dois osciladores harmônicos amortecidos acoplados (DHO), dada pela equação (1.20), onde a suscetibilidade é dada pela equação (1.18). Os parâmetros dos modos acoplados, são em número de oito: χ_1 , χ_2 , ω_1 , ω_2 , γ_1 , γ_2 , Δ_{12} e γ_{12} , respectivamente, as suscetibilidades, as freqüências, as larguras de linha e os acoplamentos real e imaginário. Estes parâmetros podem ser derivados através do "fitting", no computador, utilizando as equações (1.18) e (1.19).

Neste formalismo da função de Green, e no caso do mo delo do oscilador harmônico amortecido (DHO), pode-se escrever:

$$\begin{cases} R_{i}(\omega) = \omega_{i}^{2} - \omega^{2} + i\omega\gamma_{i} \\ \Delta_{12}(\omega) = \Delta_{12} = \text{constante} \\ \gamma_{12}(\omega) = \gamma_{12}, \end{cases}$$
 (1.26)

onde $\omega_{\hat{1}}$ e $\gamma_{\hat{1}}$ são as frequências de ressonâncias e as meias $1a\underline{r}$ guras dos fonons.

Seja E u'a matriz unitária bi-dimensional, então, aplicando pa

rá a equação (1.19), teremos:

$$SG = ESE^{T}EGE^{T} = EIE^{T} = S'G' = I$$
onde $S' = ESE^{T}$
 $G' = EGE^{T}$

Chamando na equação (1.18), F = P, pode-se escrever:

$$\chi(\omega) = P^{T}GP = P^{T}E^{T}EGE^{T}EP = P^{T}G^{T}P^{T}$$
(1.27)

Esta equação mostra que a suscetibilidade permanece inal terada quando usamos G ou G, mas a força do modo varia, a qual $\tilde{\epsilon}$ imaterial como parâmetros de "fitting".

Desde que G esteja relacionada com G através da transformação de similaridade pela matriz unitária E, e, tenhamos pelo me nos uma escolha para determinarmos a matriz unitária, este fato indiretamente nos restringe no número de variáveis no formalismo do oscilador acoplado, que passa a ser sete ao invés de oito. As escolhas óbvias são: ou considerarmos o acoplamento puramente real, isto é, γ_{12} = 0 ou considerarmos o acoplamento puramente imagin<u>á</u> rio, isto é, Δ_{12} = 0.

IV.2: Substituição do oscilador harmônico amortecido (DHO), no formalismo da função de Green pelo oscilador da re de (LO).

De um modo geral a forma da linha do fonon \vec{e} essencial mente descrita pela expressão do oscilador amortecido ou uma sim ples variação dela. Em nosso caso, trabalhamos com fonons do ti po superamortecido e criticamente amortecido, acoplados.

De acordo com Silverman (8), a escolha da forma de linha do oscilador harmônico amortecido para os modos da rede, tem suas restrições, e não é muito apropriada principalmente nas vizinham ças da transição de fase (no caso por exemplo do KDP e seus iso morfos), na qual a frequência do modo tende a zero e o modo se torna superamortecido.

A forma do oscilador harmônico amortecido para a susce tibilidade, como na equação (1.18) é usualmente determinada atra vés de uma consideração implícita feita na teoria do espalhamento dos fonons, de tal modo que, durante o evento do espalhamento o momento do fonon (p) é destruído, mas a amplitude (q) permanece inalterada.

No modelo de Silverman é assumido que, tanto a amplitude como o momento são destruídos após a colisão dos dois fonons acoplados, e a forma de linha do fonon pode ser interpreta da por uma variedade de expressões semelhantes às encontradas na teoria da colisão dos gases. Em particular, foi considerado por Silverman que o comportamento limite para o oscilador harmônico amortecido no regime do superamortecimento é inconsistente com o comportamento esperado de um modo da rede superamortecido, e a utilização da expressão do oscilador harmônico amortecido (DHO) para descrever o acoplamento dos dois fonons ou seja o critica mente amortecido e o superamortecido é ainda uma questão aberta, tanto neste aspecto como também no fato que se relaciona com a forma de linha dos fonons considerados.

As expressões para a forma de linha podem ser discutidas com a utilização das equações do movimento para dois graus de liberdade, associadas ao oscilador através de considerações fenomenológicas como:

$$\dot{q} = p - \Gamma_{q} \left[q - q_{o}(t) \right]$$
 (2.1)

$$\dot{p} = -\omega_0^2 q - \Gamma_p p \tag{2.2}$$

onde q e p são respectivamente a amplitude e o momento do modo da rede e Γ e o coeficiente de amortecimento.

Como podemos observar, duas taxas de amortecimento foram introduzidas (uma para cada grau de liberdade): Γ_q é o inverso da média dos tempos entre as colisões, que tem amplitude completamente destruída e Γ_p é o inverso da média dos tempos entre as colisões que tem momento completamente destruído. Então, imediatamente após a colisão o modo pode ter qualquer valor de momento, portanto, o valor médio do momento deve ser zero. Como já foi considerado por Silverman que esta é a única fonte dissipativa do sistema, pode-se colocar o segundo termo da equação (2.1) igual a zero, Γ_q = 0, e das equações (2.1) e (2.2) pode-se obter semelhantemente, a equação (1.1) que é a equação do movimento para o oscilador harmônico amortecido e a correspondente expressão para a suscetibilidade.

Nas vizinhanças da transição de fase a frequência do modo ativo tende a se aproximar de zero e o modo se torna super amortecido; e se considerarmos que esta frequência é pequena com parada com os outros parâmetros do problema e a colocarmos igual a zero, a condutividade pode ser escrita da seguinte forma:

$$\sigma = \omega \chi'' = (\omega_0 \to 0) = \frac{\varepsilon^2 \Gamma_p}{\omega^2 + \Gamma_p^2}$$
 (2.3)

onde
$$\chi'' = \frac{\varepsilon^2 \omega \Gamma_p}{(\omega_o^2 - \omega^2)^2 + \omega^2 \Gamma_p^2}$$

No limite de $\omega = 0$, (2.3) se torna:

$$\sigma = \omega \chi'' = \frac{\varepsilon^2}{\Gamma_p} = \text{constante}$$
 (2.4)

Para o caso da rede, seria de se esperar que nostes li mites, a condutividade se aproximasse de zero, desde que, no mo delo da rede, deveria descrever un sistema de cargas ligadas em equilibrio termodinâmico com o campo aplicado. Entretanto, este compor tamento não é exibido pela expressão do oscilador hamônico amor tecido, como foi verificado acima.

Vamos agora considerar o termo de amortecimento $\Gamma_{\bf q}$ do lado direito da equação (2.1). A inclusão do termo de amortecimento nos obriga a conhecer o valor de equilíbrio ${\bf q}_{\bf o}(t)$ da amplitude do fonon, após a colisão. Se o tempo de colisão é grande comparado com o período do campo elétrico aplicado, o termo ${\bf q}_{\bf o}(t)$ pode ser considerado como sendo zero $({\bf q}_{\bf o}(t)=0)$, o que significa que o fonon tende ao equilíbrio na ausência do campo.

No caso de uma rede anarmônica, foi investigado por Silverman como pode ser incluído o termo da amplitude da relaxação. Assim, para qualquer instante de tempo qualquer fonon está su jeito ao campo aplicado, como também ao campo resultante do aco plamento não linear com os outros fonons. Se, a duração da colisão, agora, for considerada pequena comparada com o período do campo aplicado e com o período da flutuação proveniente do aco plamento com os outros fonons, o fonon ativo não se relaxará a uma posição de equilíbrio instantâneo definida na presença des tas interações.

Nestas condições, as equações do movimento podem ser colocadas, segundo Silverman nas seguintes formas:

$$\begin{cases} \dot{Q} = p - \dot{q}(t) \\ \dot{p} = -\omega_0^2 Q - \Gamma_p p \end{cases}$$
 (2.5)

onde Q representa o deslocamento do modo ativo da posição instantianea de equilíbrio q(t). O momento permanece inalterado.

O termo q(t), que representa a derivada temporal da posição instantânea foi avaliado por Silverman, considerando a teoria anarmônica da dinâmica de rede, e de acordo com ele pode ser escrito como segue:

$$\dot{q}(t) = \frac{\omega^2 \Gamma_q \left(\omega_o^2 - i\omega \Gamma_q\right)}{\omega_o^4 + \omega^2 \Gamma_q^2} Q \qquad (2.6)$$

onde:

$$\Gamma_{q} = \frac{\Gamma^{2}}{\omega^{2} + \Gamma^{2}} \Gamma \quad e \quad \Gamma_{p} = \frac{\omega^{2}}{\omega^{2} + \Gamma^{2}} \Gamma .$$

Substituindo nas equações (2.5) obteremos a equação do movimento dada por:

$$\ddot{Q} + x\dot{Q} + \omega_o^2 Q + \Gamma_p (\dot{Q} + xQ) = \varepsilon E e^{i\omega t}$$
 (2.7)

onde, $x = \dot{q}(t)$

Assim uma das soluções pode ser escrita como:

$$Q = Q_0 e^{i\omega t}$$

$$\dot{Q} = i\omega Q_0 e^{i\omega t}$$

$$\ddot{Q} = -\omega^2 Q_0 e^{i\omega t}$$
(2.8)

A suscetibilidade total pode ser dada por:

$$\chi = \frac{Q_o}{E} = \frac{\varepsilon^2}{\omega_o^2 + \Gamma_p x - \omega^2 + i (\Gamma_p + x)\omega}$$
 (2.9)

ou ainda, substituindo-se o valor de x, obteremos:

$$\chi = \frac{\varepsilon^2}{\omega_0^2 - \omega^2 + \Delta^2(\omega) + i\omega\gamma(\omega)}$$
 (2.10)

onde,
$$\begin{cases} \Delta^{2}(\omega) = \frac{\omega^{2}}{\omega_{0}^{2}} g \Gamma_{q} \left(\Gamma_{p} + \frac{\omega^{2}}{\omega_{0}^{2}} \Gamma_{q} \right) \\ \gamma(\omega) = g \left(\Gamma_{p} + \frac{\omega^{2}}{\omega_{0}^{2}} \Gamma_{q} \right) \end{cases}$$
(2.11)

e,
$$g = \frac{\omega_0^4}{\omega_0^4 + \omega^2 \Gamma_0^2}$$
 (2.13)

onde as equações (2.11) e (2.12) são dependentes da frequência.

A parte imaginária da suscetibilidade pode então escrita como:

$$\chi'' = \frac{g}{\omega_o^2} \frac{\omega\left(\omega_o^2 \Gamma_p + \omega^2 \Gamma_q\right)}{\left\{ \left[\omega_o^2 + \omega^2 g\left(\frac{\Gamma_q \Gamma_p}{\omega_o^2} - 1\right)\right]^2 + \omega^2 g^2 \left[\Gamma_p + \left(\frac{\omega^2}{\omega_o^2}\right) \Gamma_q\right]^2 \right\}}$$
(2.14)

Esta equação pode ser considerada como função resposta para o oscilador da rede (LO) e apresenta as seguintes situações limites:

se $\Gamma << \omega_0$, ω (grandes frequências), $\Gamma_q \to 0$, $\Gamma_p \to \Gamma$ e $g \to 1$, e a equação (2.14) se reduz a expressão do oscilador harmônico amortecido, ou seja:

$$\chi'' = \frac{\omega \Gamma}{\left(\omega_0^2 - \omega^2\right)^2 + \omega^2 \Gamma^2}$$
 (2.15)

Entretanto, se o modo é superamortecido, pode-se considerar que

 $\Gamma >> \omega_0$, ω , então $\Gamma_q \to \Gamma$, $\Gamma_p \to 0$ e g $\to \frac{\omega_0^4}{\omega^2 \Gamma_q^2}$, e a equação (2.14) se reduz

a relaxação do tipo de Debye, ou seja:

$$\chi'' = \frac{\omega \tau}{\omega_0^2 \left(1 + \omega^2 \tau^2\right)} \tag{2.16},$$

onde $\tau = \frac{1}{\Gamma_{\alpha}}$

A condutividade neste caso $\sigma = \omega \chi'' + \frac{\omega^2}{\omega_0^2 \Gamma}$, para $\omega < \omega_0 < \Gamma$, que no $1\underline{i}$

mite de $\omega \rightarrow 0$, $\sigma \rightarrow 0$.

Estes comportamentos limites da equação (2.14) mostram que o comportamento da relaxação tipo Debye dá um pico de absorção próximo a frequência de relaxação Γ, enquanto que a absorção associada com o oscilador harmônico amortecido não mostra este efeito, simplesmente a suscetibilidade decresce com o inverso da frequência, indicando o porque da suscetibilidade discutida an teriormente, na equação (2.4) independe da frequência.

Estes fatos mostram que realmente a expressão do oscilador harmônico amostecido (DHO) para a suscetibilidade nos for nece uma descrição bastante pobre para o tratamento dos modos amor

tecidos, devido ao fato de não se considerar a amplitude de <u>re</u>laxação.

Novamente a expressão da suscetibilidade da equação (2.10) pode ser escrita, utilizando-se do formalismo da função de Green dado pela equação (1.19). Agora então, para o oscilador da rede (LO), a matriz S pode ser escrita para os modos 1 e 2, respectivamente o superamortecido e o criticamente amortecido, como segue:

$$S = \begin{pmatrix} R_{1}(\omega) & \Delta_{12}^{2} + i\omega\gamma_{12} \\ \\ \lambda_{12}^{2} + i\omega\gamma_{12} & R_{2}(\omega) \end{pmatrix}$$
 (2.17),

onde a função resposta pode ser escrita semelhantemente à equação (1.26), de uma forma geral, como:

$$R_{i}(\omega) = \omega_{i}^{2} - \omega^{2} + \Delta_{i}^{2}(\omega) + i\omega\gamma_{i}(\omega)$$
 (2.18)

onde, $\Delta_{i}(\omega)$ e $\gamma_{i}(\omega)$ são dependentes da frequência.

$$\Delta_{i}^{2}(\omega) = \frac{\omega^{2}}{\omega_{i}^{2}} g_{i} \Gamma_{q_{i}} \left(\Gamma_{p_{i}} + \frac{\omega^{2}}{\omega_{i}^{2}} \Gamma_{i}\right)$$

$$\gamma_{i}(\omega) = g_{i} \left(\Gamma_{p_{i}} + \frac{\omega^{2}}{\omega_{i}^{2}} \Gamma_{q_{i}}\right)$$

$$g_{i} = \frac{\omega^{4}}{\omega_{i}^{4} + \omega^{2} \Gamma_{q_{i}}^{2}} e$$

$$\Gamma_{p_{i}} = \frac{\omega^{2} \gamma_{i}}{\omega^{2} + \gamma^{2}} e \Gamma_{q_{i}} = \frac{\gamma_{i}^{2}}{\omega^{2} + \gamma^{2}} \gamma_{i}, e$$

onde

 $\Gamma_i = \Gamma_{p_i} + \Gamma_{q_i} = largura total à meia altura do pico (meia largura).$

Estes fatos mostraram que o oscilador da rede deve ser mais apropriado para a realização do "fitting" dos nossos dados experimentais em cristais de estrutura do tipo do KDP. Entretanto o problema do acoplamento real ou imaginário e suas dependências com a freqüência ainda está em aberto. Uma vez que o acoplamento de dois fonons é devido a sua anarmonicidade, poderemos considerar as seguintes aproximações:

$$\int_{\Gamma_{12}(\omega)}^{\Delta_{12}(\omega)} = \Delta_{12} = \text{constante}$$

$$\Gamma_{12}(\omega) = \Gamma_{12} = \text{constante}$$

Novamente, devido à limitação do número de parâmetros, nós usamos os acoplamentos puramente real ou puramente imagin $\underline{\hat{a}}$ rio para a realização dos "fittings".

IV.3: Referências bibliográficas

- 1 Katiyar, R.S., Ryan, J.F., and Scott, J.F., Phys. Rev. B<u>4</u>, 2635 (1971)
- 2 She, Y., Broberg, T.W., Wall, L.S., and Edwards, D.F., Phys. Rev. B6, 1847 (1972)
- 3 Peercy, P.S., and Samara, G.A., Phys. Rev. B8, 2033 (1973)
- 4 Lowndes, R.P., Tornberg, N.E. and Leung, R.C., Phys. Rev. B10, 911 (1974)
- 5 Callen, H.B., Barasch, M.L. and Jackson, J.L., Phys. Rev. 88, 1382 (1952)
- 6 Landau, L.D. and Lifshitz, E.M., Statistical Physics, Pergamon Press, Ltd., 2nd edition, London, 1969.
- 7 Butcher, P.N., and Ogg, N.R., Proc. Phys. Soc. <u>86</u>, 699 (1965)
- 8 Silverman, B.D., Phys. Rev. B9, 203 (1974).

<u>CAPÍTULO V - DISCUSSÃO DOS MODOS</u> B₂ <u>EM RELAÇÃO</u> <u>A FERROELETRICIDADE</u>

V.1: Formalismo dos modos acoplados

O espectro Raman de baixa frequência do fonon B₂, na configuração geométrica y(xy)x para os cristais da família do KDP, tem sido estudado intensamente por vários autores tais co mo Kaminov (1), Katiyar (2), She (3), Peercy (4), Lowndes (5), Lagakos (6) e colaboradores, no sentido de obterem informações sobre o mecanismo da transição de fase ferroelétrica.

De acordo com a teoria de Cochran, deve haver um <u>fo</u> non dipolar de baixa frequência, nestes cristais cuja frequência deveria decrescer para zero quando a temperatura de transição se aproxima, tanto por cima como por baixo da transição de fase. Nos cristais do tipo do KDP, tal modo deverá ter simetria B₂ na fase paraelétrica. Uma vez que o cristal é piezoelétrico acima da transição de fase, este modo pode ser observado pelo es palhamento Raman, e seguido à temperatura de transição.

Como foi discutido no Capítulo I, item 1.5, a análise do método dos mínimos quadrados dos trabalhos experimentais an teriores sobre este modo, foi inconclusiva no que se diz respeito à aplicabilidade da teoria do "soft mode". Nós, entretan to, realizamos uma análise detalhada utilizando o formalismoda função de Green, com dois osciladores harmônicos amortecidos acoplados, como proposto por Katiyar e colaboradores (2).

O acoplamento dos modos deverá ser em geral complexo, entretanto, como foi discutido no Capítulo IV, isto produz in finitos números de soluções, se todos os parâmetros conhecidos, tais como; Γ_a , ω_a , Γ_b , ω_b , Γ_{ab} e Δ_{ab} estão sendo levados em consideração no "fitting". Este fato nos restringe a assumirmos acoplamentos puramente real (Γ_{ab} =0) ou puramente imaginário (Δ_{ab} =0). Os parâmetros obtidos por estas duas soluções são in teiramente diferentes, entretanto eles podem ser relacionados através de alguma transformação unitária. Por exemplo, se chamarmos de Γ_a , ω_a , Γ_b , ω_b e Δ_{ab} os parâmetros obtidos pela análise do acoplamento real e Γ_a , ω_a , Γ_b , ω_b e Γ_{ab} os parâmetros obtidos pela análise do acoplamento imaginário, as seguintes relações entre as duas séries de parâmetros existem:

$$\omega_{a}^{2} = \frac{1}{2} \left(\omega_{a}^{2} + \omega_{b}^{2} \right)^{\frac{1}{2}} \left\{ \left[\frac{1}{2} \left(\omega_{a}^{2} - \omega_{b}^{2} \right) \right]^{2} + \Delta_{ab}^{4} \right\}^{\frac{1}{2}}$$
(1.1)

$$\omega_{b}^{2} + \omega_{a}^{2} = \omega_{b}^{2} + \omega_{a}^{2} \tag{1.2}$$

$$\Gamma_{a}' = \frac{1}{2} \left(\Gamma_{a} + \Gamma_{b} \right) \pm \frac{1}{2} \left(\Gamma_{a} - \Gamma_{b} \right) \frac{\left(\omega_{a}^{2} - \omega_{b}^{2} \right)}{\left[4 \Delta_{ab}^{4} + \left(\omega_{a}^{2} - \omega_{b}^{2} \right)^{2} \right]^{1/2}}$$
 (1.3)

$$\Gamma_{b}^{\prime} + \Gamma_{a}^{\prime} = \Gamma_{b} + \Gamma_{a} \tag{1.4}$$

$$\Gamma_{ab}' = \pm \left(\Gamma_a - \Gamma_b\right) \frac{\Delta_{ab}^2}{\left[4\Delta_{ab}^4 + \left(\omega_a^2 - \omega_b^2\right)^2\right]} 1/2$$
 (1.5)

Estas equações também revelam que uma solução física aceitável com o acoplamento puramente imaginário, pode existir, somente se os parâmetros com acoplamento puramente real satisfizerem a seguinte inequação:

$$\Delta_{ab}^2 \le {}^{\omega} a^{\omega} b \tag{1.6}$$

A escolha do acoplamento real ou imaginário é um pouco arbitr $\underline{\hat{a}}$ ria, entretanto as seguintes considerações podem ser aplicadas para se determinar se o acoplamento é muito próximo do real ou do imaginário:

- 1 Se os dois modos considerados possuem uma largura razoavel:
- a) As considerações da teoria de grupo não permitirão que ambos os modos sejam superamortecidos;
- b) Ao mesmo tempo, cada modo deve ter a largura maior que a resolução espectral.
- 2 No caso do modo subamortecido, com um pico bem de finido, o formalismo do modo acoplado dará sua frequência mui to próxima (um pouco mais alta) da sua posição de pico.
- 3 Os estudos dos polaritons (quando possível) são provavelmente a melhor maneira para se determinar quantitativa

mente à magnitude do acoplamento real e imaginario.

Foi escrito um programa para computador no sentido de nos possibilitar o "fitting" do espectro de baixa frequência $(20 \, \mathrm{cm}^{-1} \ \mathrm{a} \ 250 \, \mathrm{cm}^{-1})$ para os modos de simetria B_2 , utilizando-se dois osciladores hamônicos amortecidos (DHO) dados pelas equa ções (1.20) e (1.18) do Capítulo IV. Os "fittings" foram realizados utilizando-se o método dos mínimos quadrados de Marquardt e com critério de convergência sugerido por Katiyar (7).

Os dados observados foram tomados a cada $2.4\,\mathrm{cm}^{-1}$ e as incertezas experimentais nas intensidades foram escolhidas como sendo constantes, proporcionais às intensidades ou à raiz quadrada dos seus valores.

Em cada caso, um "fitting" razoavel dos espectros foram obtidos com pequenas variações nos valores dos parâmetros. Os fatores de peso acima citados, foram entretanto deixados nos calculos dos espectros dependentes da temperatura.

Os "fittings" dos espectros foram feitos para acopla mento puramente real e os parâmetros resultantes foram utiliza dos para obtermos a solução para o acoplamento imaginário, com a utilização, no programa, das equações (1.1), (1.2),(1.3),(1.4) e (1.5) anteriormente mencionados neste Capítulo.

Como já mencionamos no Capítulo IV, a frequência ω_1 e e o amortecimento Γ_1 , não podem ser extraídos unicamente para o modo superamortecido (modo 1), devido à alta correlação existente entre estes dois parâmetros. Entretanto, era usual em trabalhos anteriores, para o KDP e isomorfos, colocarem em gráfico $T/\tau_1 vsT$ onde $\tau_1 = \frac{\Gamma_1}{\omega_1^2}$, no sentido de extraírem informações a

respeito do amolecimento do modo 1. A extrapolação de $T/\tau_1 vsT$, através de uma linha reta, mostrou que T/τ_1 vai a zero a uma temperatura T_0 que é muito menor que a temperatura de transição T_c , no caso do acoplamento real, comparado com a temperatura T_0 obtida para o acoplamento imaginário. Entretanto, os vários au tores mencionados no início deste Capítulo obtiveram valores discordantes para T_0 , para os mesmos cristais estudados.

Assim, no sentido de examinar as várias conclusões, nos retomamos, neste trabalho, o problema, e realizamos em estudo detalhado através do espalhamento Raman, nos cristais de KDP, RDP, RDA e D-RDA. Em cada caso obtivemos um "fitting" razoável

para cada espectro, mas houve uma alta correlação, não somente entre Γ_1 e ω_1 , mas também entre P_1 , Γ_1 e ω_1 . Este fato poderia explicar a princípio as diferenças obtidas para T_0 pelos vários autores. Isto nos sugeriu que o problema não é devido às medidas experimentais ou à técnica da análise dos mínimos quadrados, mas sim na escolha de uma função resposta apropriada para descrever os modos.

Nas figuras V.1, V.2 e V.3, nos colocamos em gráfico a variação com a temperatura de T/τ_1 para o modo 1 para os cristais de KDP, RDP e RDA. Os estudos da polarização (xy) para o D-RDA produziram um alargamento contínuo, o qual não pode ser considerado como resultante de um so fonon; devido a este fato, nenhum "fitting" foi realizado no D-RDA.

Nas figuras acima citadas, fica bem claro que se nós excluírmos os estudos da temperatura próximo a transição de fase, poderiamos traçar linhas retas para o resto das observações, e, extrapolando estas linhas nós obteríamos um valor T_o (para T/τ_1 =0). Este valor de T_o estaria muito mais abaixo do valor de T_c para o acoplamento real do que para o acoplamento imaginário. De fato, no caso do acoplamento imaginário, o valor de T_o estaria tão perto de T_c que Lagakos e Cummins (6) concluíram em sua publicação "que o acoplamento entre o modo ótico e o movimento protônico superamortecido está muito próximo de ser imaginário". Esta conclusão está totalmente baseada na hipótese de que a teoria do "soft mode" proposta por Cochran e Anderson, funciona para estes cristais.

Pode-se aqui mencionar, que nenhum dos autores anter<u>i</u> ormente citados estudaram com cuidado o espalhamento Raman a varias temperaturas próximas à transição de fase, destes cristais.

Nas figuras V.1, V.2 e V.3, nos incluímos nossos resultados para temperaturas bem próximas a transição de fase, como também encontramos que o comportamento de T/τ_1 não é total mente linear com a temperatura. Como resultado deste fato, não podemos extrapolar T/τ_1 para obtermos um valor para T_0 . As conclusões acima são verdadeiras para ambos os acoplamentos, tanto o real como o imaginário. Isto indica que o modo superamor tecido, devido ao tunelamento do próton, amolece à temperatura bem acima da temperatura de transição, mas se atém a um valor

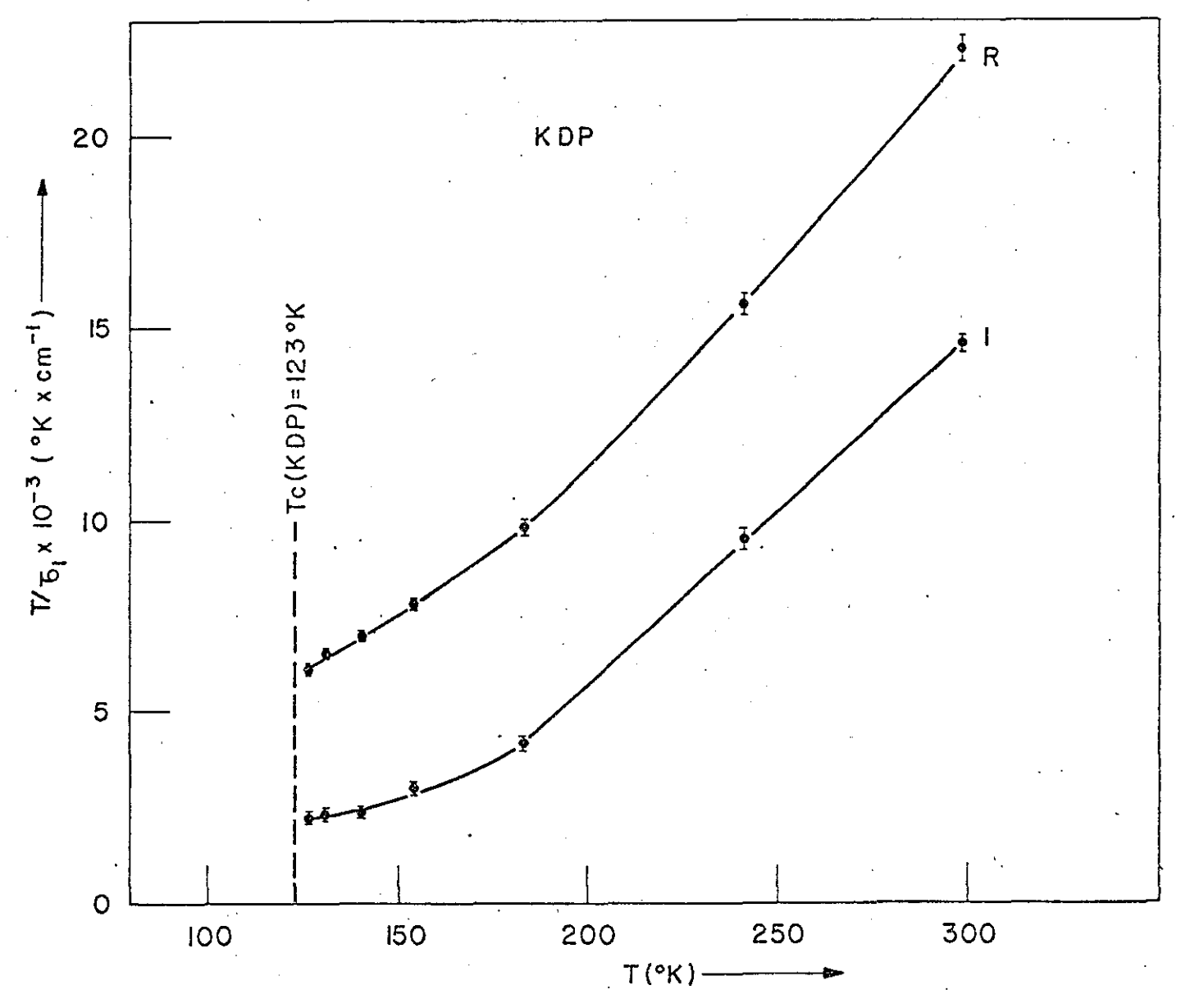


Figura V.1: $T/\tau_1 vsT$ para o modo 1, para o cristal de KDP usando o oscilador harmônico amortecido com acoplamento real (R) e imaginário (I).

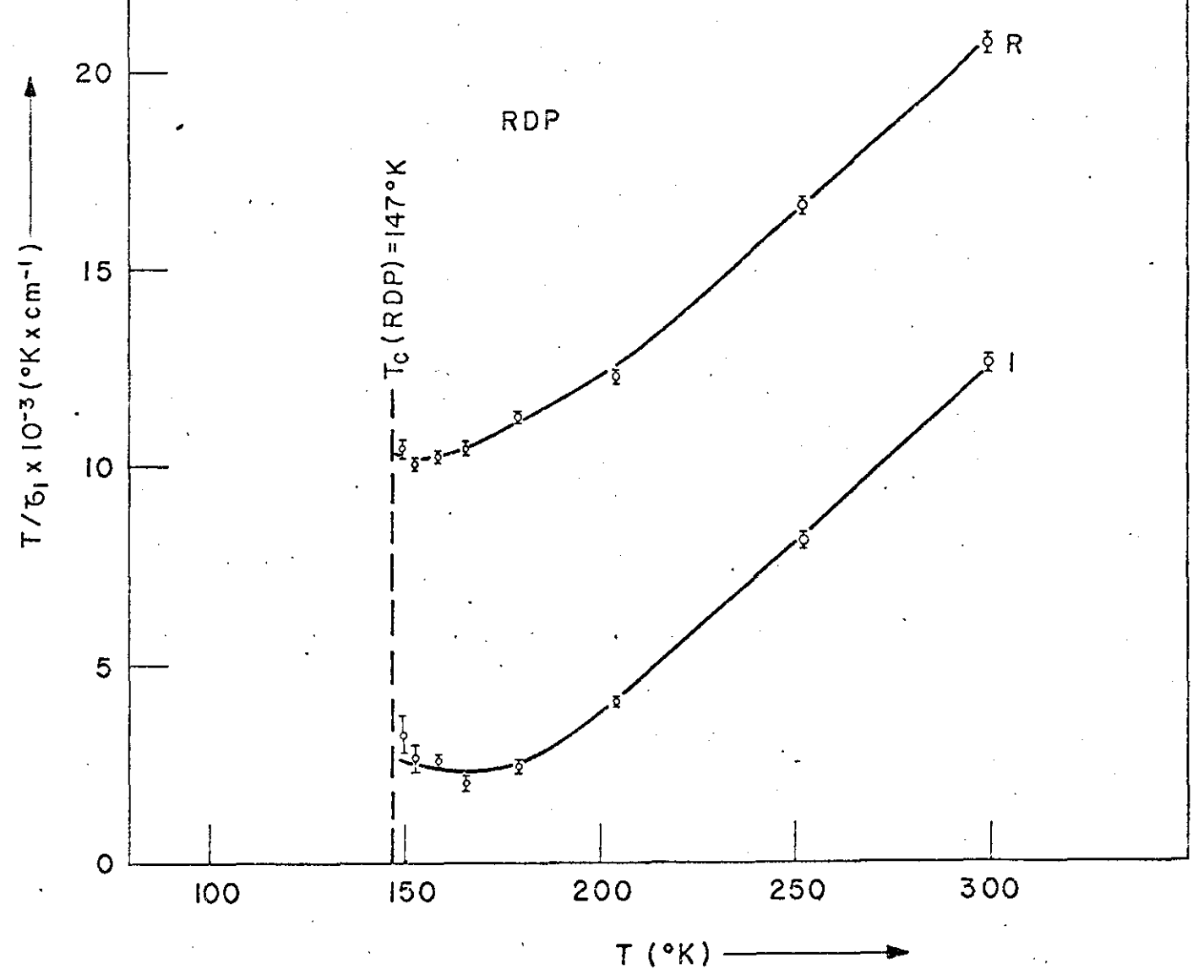


Figura V.2: $T/\tau_1 vsT$ para o modo 1, para o cristal de RDP usando o oscilador harm $\tilde{\underline{o}}$ nico amortecido com acoplamento real (R) e imaginário (I).

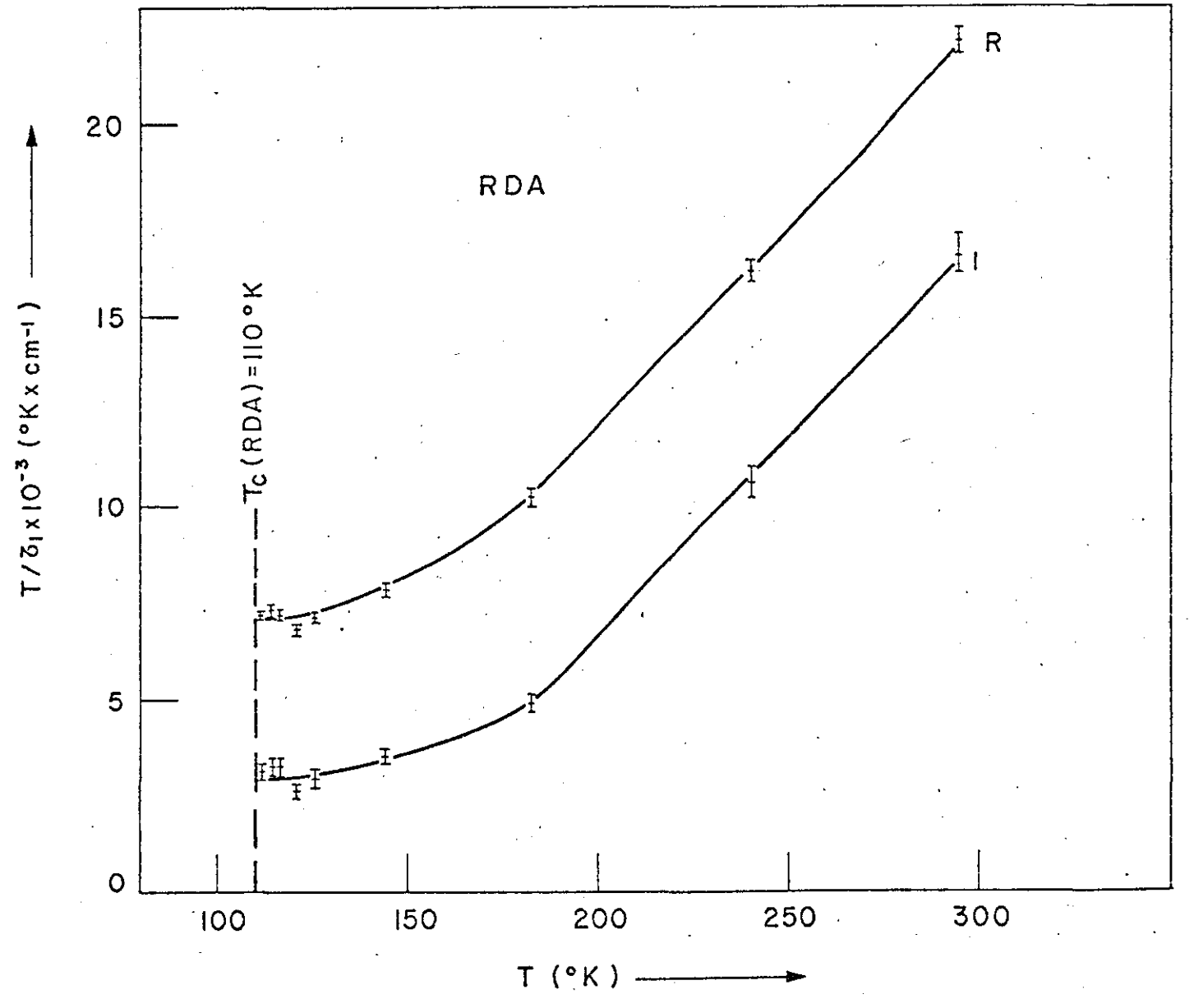


Figura V.3: $T/\tau_1 vsT$ para o modo 1, para o cristal de RDA usando o oscilador harm \hat{o} nico amortecido com acoplamento real (R) e imaginário (I).

de "hard core" a Tc.

A variação da frequência do modo 2 com a temperatura para os cristais de KDP, RDP e RDA está colocada em gráfico nas figuras V.4 e V.5 para os acoplamentos real e imaginário respectivamente. Em ambos os casos, estas frequências aumentam levemente para todos os cristais, quando a temperatura é abaixada.

O modo 2 \tilde{e} um modo normal, no qual a rede do potassio (K) e do fosfato (PO₄) para o KDP se movem uma contra a outra ao longo do eixo z. O aumento da frequência indica então uma força entre as duas redes que aumenta \tilde{a} medida que a temperatura \tilde{e} abaixada.

Nas figuras V.6 e V.7, nos colocamos em gráfico os parametros dos acoplamentos real e imaginário, respectivamente, em função da temperatura, para os cristais acima mencionados. Estes parâmetros apresentam ser independentes da temperatura. Os "fittings" destes parâmetros foram utilizados para computarem a resposta dos modos não acoplados, como mostrado na figura V.8 para o RDA. O acoplamento imaginário descreve a resposta do acoplamento em termos de um modo superamortecido e de ou tro modo criticamente amortecido, enquanto que o acoplamento real descrve um modo superamortecido e um outro modo bem definido, com frequência de pico em torno de 110cm⁻¹. O espectro que mostra o não acopalmento, indica que o acoplamento real aparece com maior possibilidade de ter significado físico.

Silverman (8), em seu estudo teórico, nas respostas dos modos normais, propos um novo formalismo conhecido como "Oscilador da Rede" para a descrição dos fonons superamortecidos. De acordo com ele, o oscilador hamônico amortecido não é uma boa aproximação para descrever os fonons superamortecidos. Este for malismo foi discutido em detalhe no Capítulo IV.

Nos entretanto, programamos a função resposta do seu oscilador da rede dada pela equação (2.14) do Capítulo IV e substituímos a função resposta do oscilador hamônico amortecido na equação (1.11), por ele.

A análise do método dos mínimos quadrados nos dois os ciladores da rede acoplados, com acoplamentos real e imagina rio, foi realizada com a utilização do computador PDP-10.

Exatamente como no caso do oscilador harmônico amorte cido, o parâmetro de acoplamento imaginário γ_{12} , foi encontrado



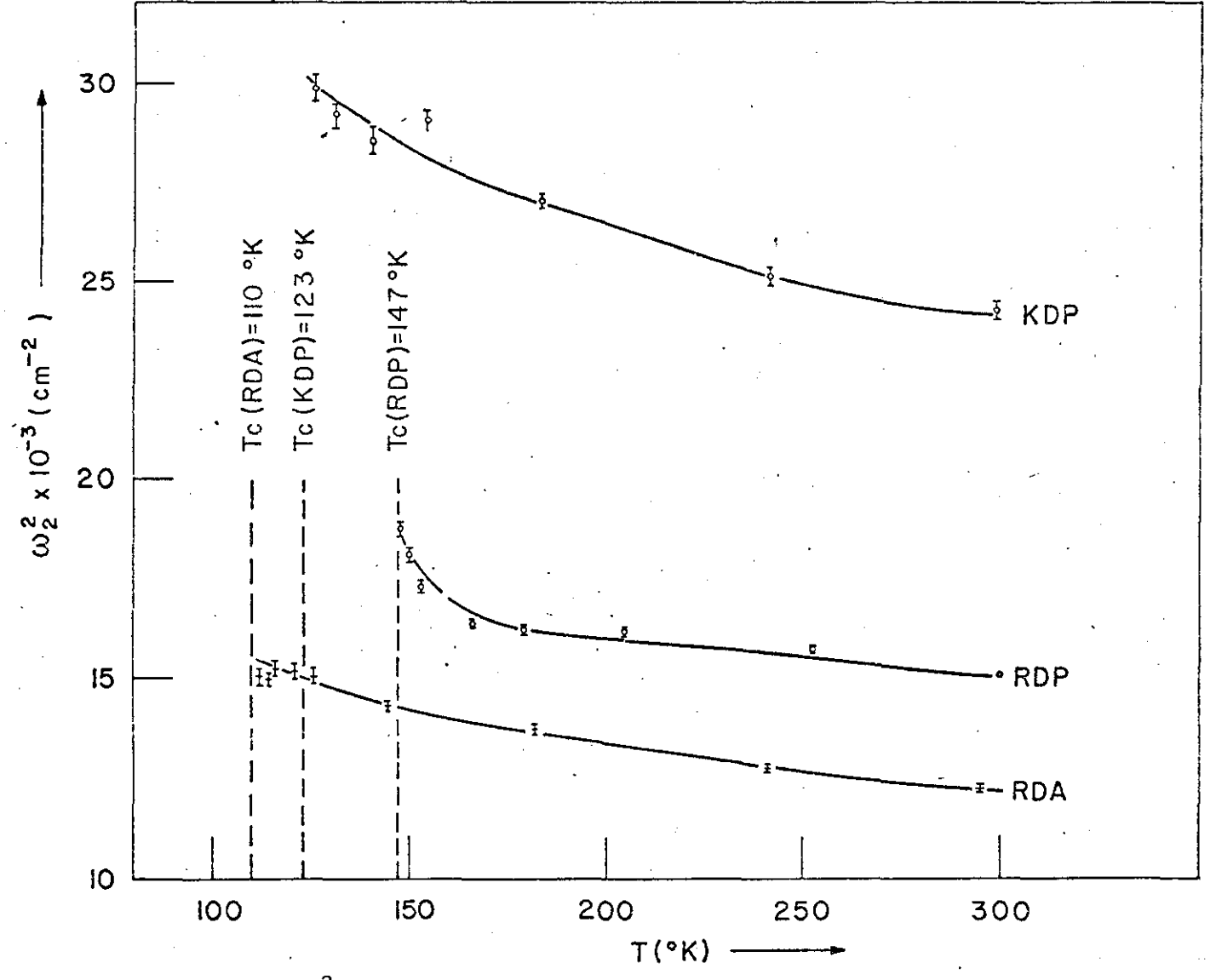


Figura V.4: $\omega_2^2 vsT$ para o modo 2, para os cristais de KDP, RDP e RDA usando o oscilador harmônico amortecido com acoplamento real (R).

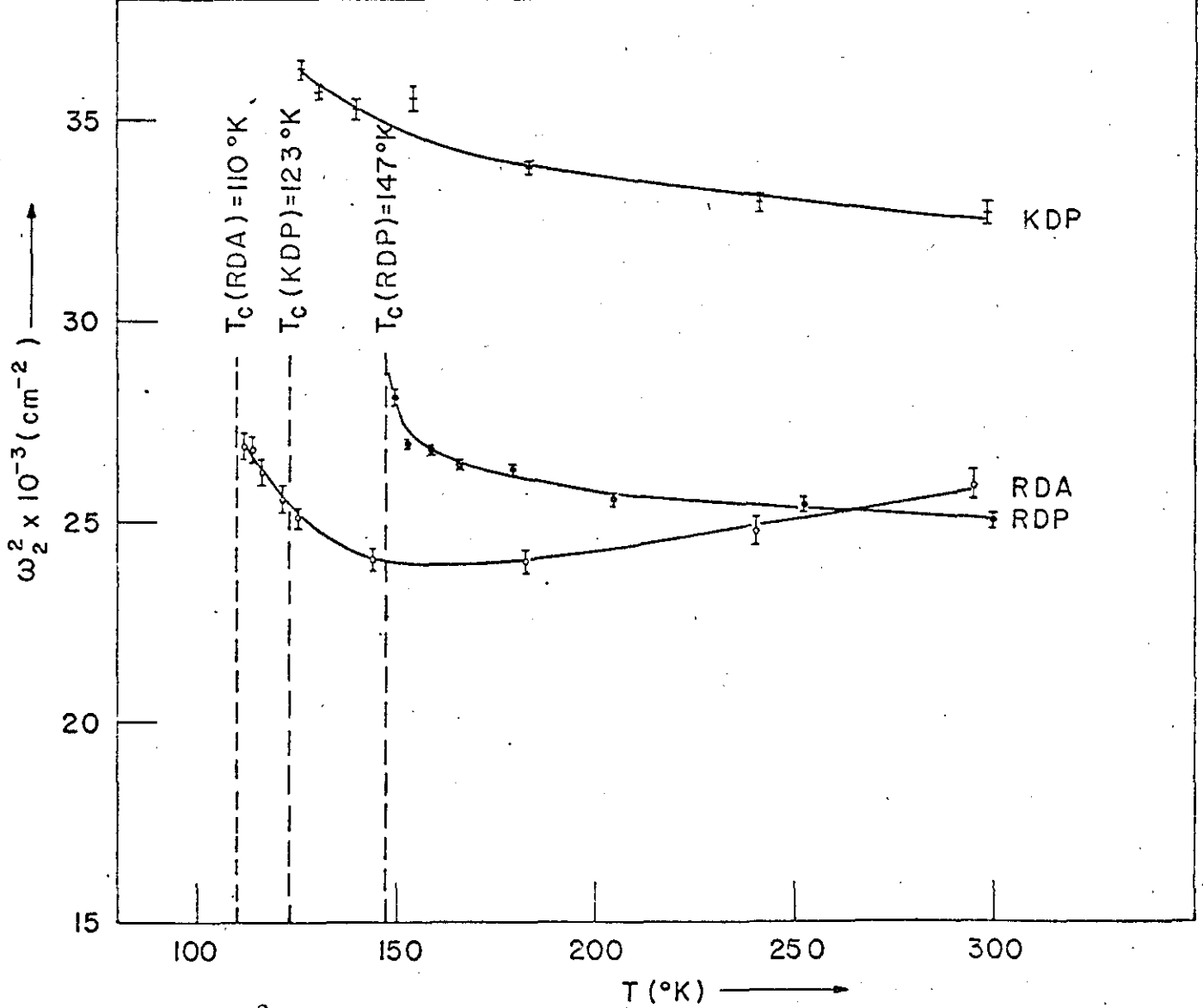


Figura V.5: $\omega_2^2 vsT$ para o modo 2, para os cristais de KDP, RDP e RDA usando o oscilador harmônico amortecido com acoplamento imaginário (I).

Figura V.6: Variação com a temperatura do acoplamento real (Δ_{12}) entre os modos 1 e 2 usando o oscilador harmônico amortecido $(\Gamma_{12}=0)$.

Figura V.7: Variação com a temperatura do acoplamento imeginário (Γ_{12}) entre os modos 1 e 2 usando o oscilador harmônico amortecido (Δ_{12} =0).

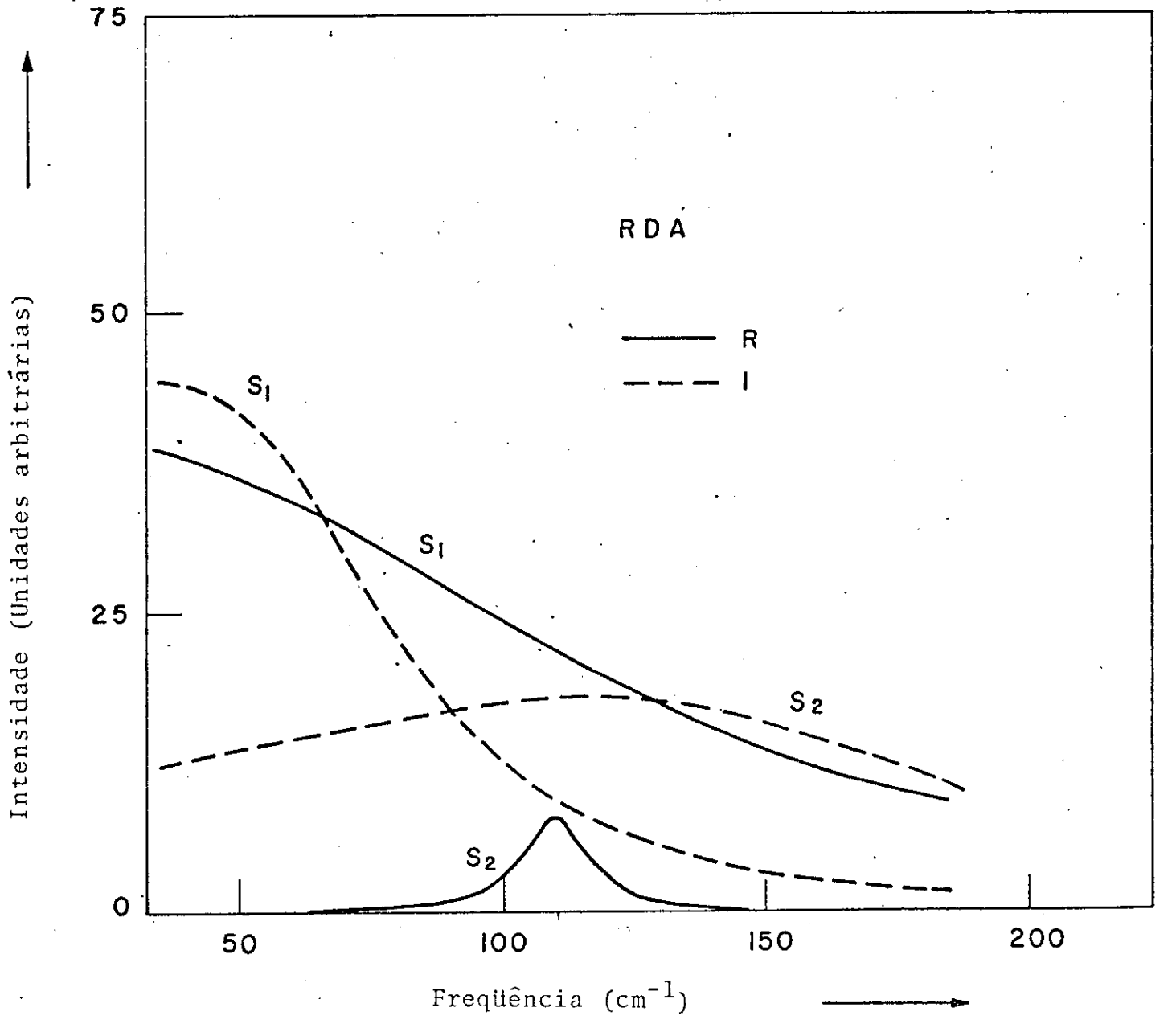


Figura V.8: Espectro calculado dos modos 1 e 2 desacoplados usando o oscilador harmônico amortecido para o cristal de RDA à temperatura ambiente.

como sendo independente da temperatura. No caso do acoplamen to real, entretanto, nós encontramos uma alta correlação entre ω_1 e Δ_{12} . Seguindo os resultados dos "fittings" do oscilador har mônico amortecido, nós fixamos Δ_{12} para fazermos o "fitting" na temperatura ambiente. Como resultado disto, a frequência ω_1 , pode não ter o valor correto, mas sua dependência com a temperatura, não deverá ser alterada.

Na figura V.9, nós colocamos em gráfico T/τ_1 para o modo 1 para o RDA, com a utilização do oscilador da rede, para os acoplamentos real e imaginário separadamente. Vemos que T/τ_1 decresce quando a temperatura é abaixada, para ambos os tipos de acoplamento. Entretanto, não há nenhuma indicação de que ele vai a zero próximo a transição de fase. Estes resultados são muito semelhantes àqueles obtidos com a utilização dos osciladores harmônicos amortecidos, que é esperado como sendo uma aproximação do oscilador da rede, no qual o amortecimento é pequeno.

Semelhantes resultados foram obtidos com os outros cristais da série, entretanto, não foram colocados em gráficos neste trabalho.

Uma vez que existe uma pequena correlação entre a frequência ω_1 e o amortecimento γ_1 , do modo 1, com a utilização do modelo do oscilador da rede, nos colocamos em gráfico ω_1^2 vsT na figura V.10 para o KDP,RDP e RDA, com a utilização do acoplamen to real. Esta frequência amolece quando a temperatura é abaixa da, entretanto, ela praticamente não varia, próximo as respectivas temperaturas de transição. Esta colocação em gráfico da frequência, sozinha, não foi possível no caso do oscilador har mônico amortecido devido a alta correlação existente entre ω_1 e γ_1 . O fato de T/τ_1 para RDA na figura V.9 e ω_1^2 na figura V.10, não mostrarem nenhum comportamento anômalo com a temperatura, demonstra que nem o amortecimento e nem a frequência do modo superamortecido são os únicos parâmetros de ordem no mecanismo da transição de fase.

A figura V.11 mostra a variação de ω_2^2 com a temperatura para todos os cristais com o acoplamento real. A frequência do modo 2 aumenta quando a temperatura é abaixada. Este tipo de comportamento nos parece normal para qualquer vibração ("stretching") e indica que o modo ótico não tem nenhum papel

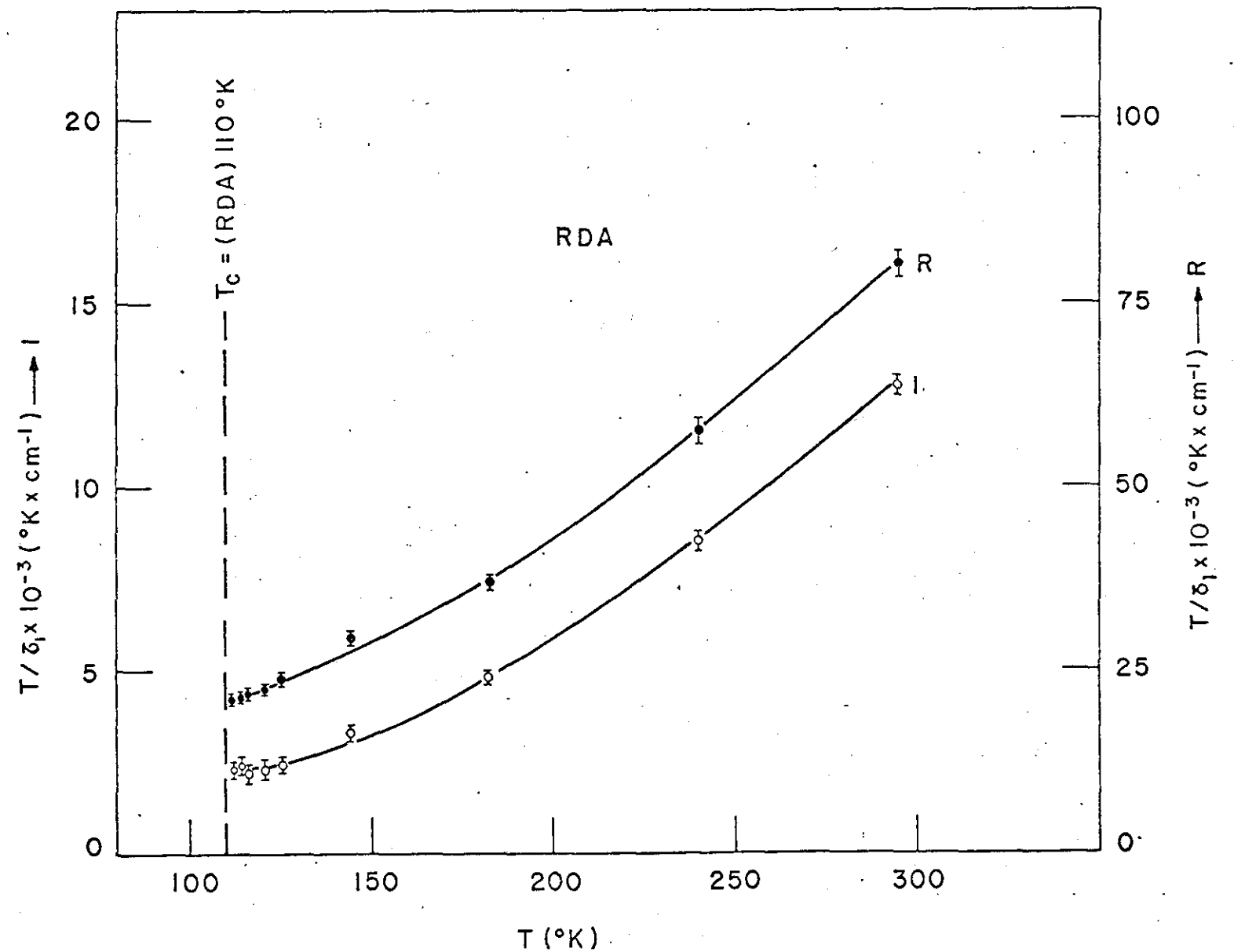


Figura V.9: $T/\tau_1 vsT$ para o modo 1, para o cristal de RDA, usando o oscilador da rede com acoplamento real (R) e imaginário (I).

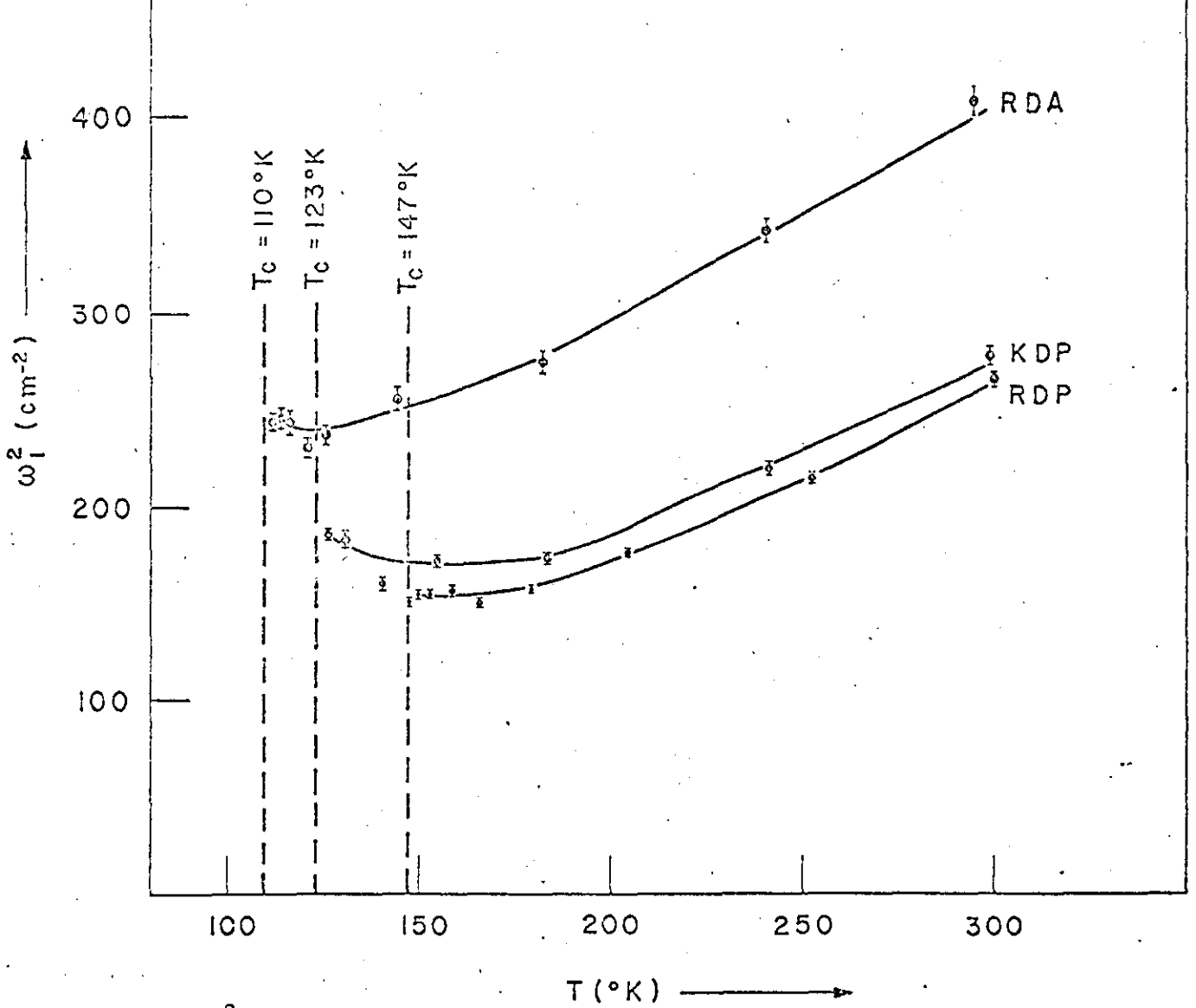


Figura V.10: $\omega_1^2 vsT$ para o modo 1, para os cristais de RDA, KDP e RDP, usando o oscilador da rede com acoplamento real (R).

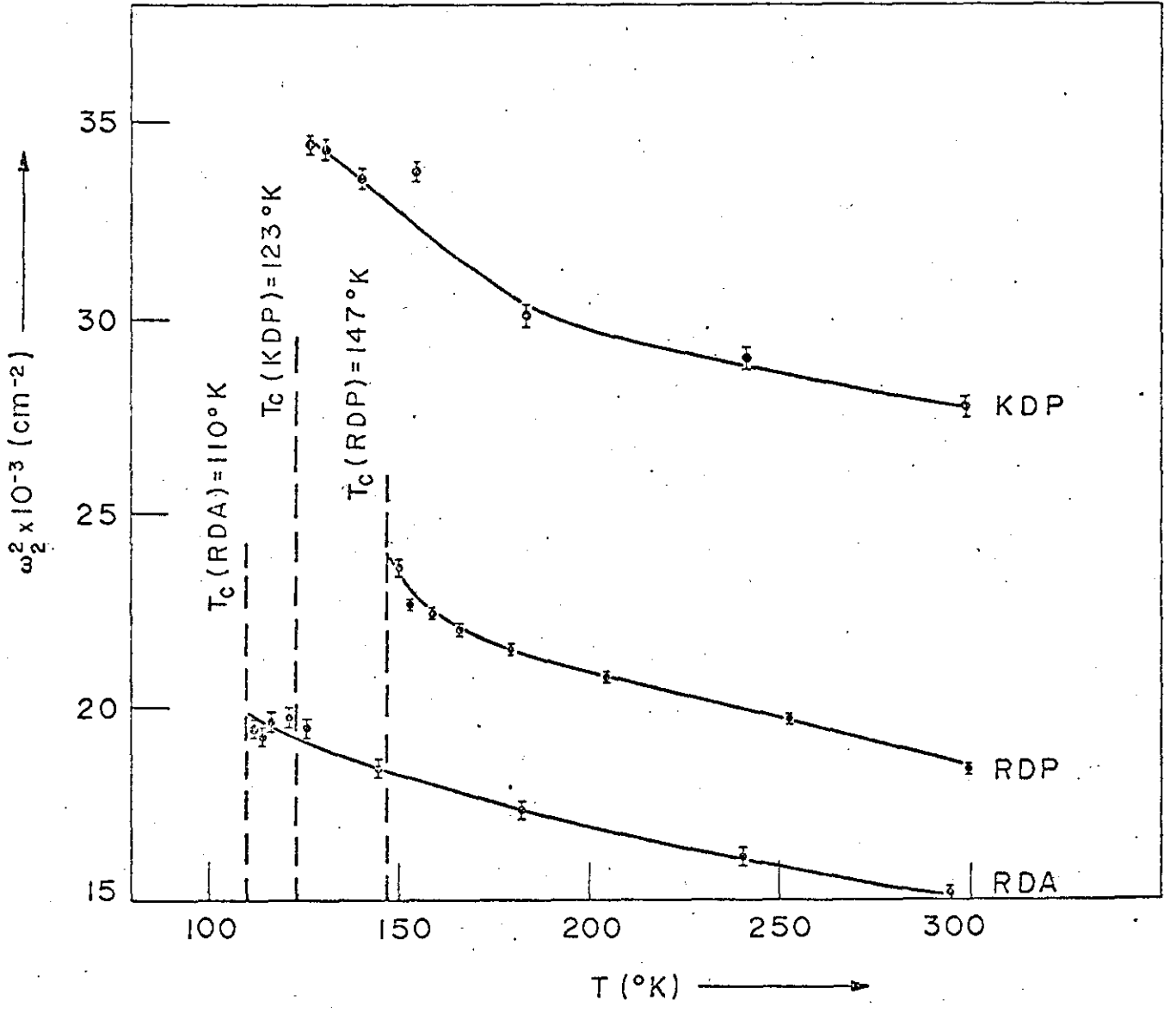


Figura V.11: $\omega_2^2 vsT$ para o modo 2, para os cristais de KDP, RDP e RDA usando o oscilador da rede com acoplamento real (R).

na transição de fase.

A dependência com a temperatura dos parâmetros em que realizamos o "fitting", para os dois modos, com a utilização do oscilador da rede, com acoplamentos real e imaginário, mostrados na figura V.12. Vemos que os parâmetros ω_1 , γ_1 e variam muito pouco com a temperatura, mas ω_2^2 decresce conside ravelmente de uma forma linear, até poucos graus acima de A análise das medidas, próximo a T entretanto, mostra um au mento forte no valor de ω_2^2 quando a temperatura $\tilde{\mathbf{e}}$ abaixada emdireção a T_c. Este comportamento de ω_2^2 parece-nos ter muito po<u>u</u> co sentido físico e sugere que o acoplamento entre os dois mo dos não deva ser considerado como puramente imaginário. Esta conclusão será posteriormente discutida no préximo Capítulo quan do nos reportarmos ao estudo dos polaritons.

O espectro do espalhamento Raman para os modos 1 e 2, não acoplados, com a utilização do oscilador da rede para os aco plamentos real e imaginário à temperatura ambiente estão trados na figura V.13. Exatamente como no caso do modelo do os cilador harmônico amortecido, o modelo do oscilador da rede pa ra o acoplamento imaginário produz um modo superamortecido um outro modo fortemente amortecido. Os resultados com o plamento real mostram a presença de um modo superamortecido de um outro modo subamortecido, forte. O amortecimento dente da frequência (γ_i) e o deslocamento (Δ_i) para o oscilador da rede, descrevendo os modos 1 e 2, estão mostrados na figura V.14, como função da frequência para o acoplamento real. mos dizer que, uma vez que o modo 2 e subamortecido e Δ, e cons tante para altas frequências então ele simplesmente desloca posição do pico no espectro. O amortecimento e também dente da frequência para este modo, assim ele pode ser bem des crito em termos do modelo do oscilador harmônico amortecido.

V.2: <u>Aplicações da Teoria de Kobayashi com as modificações</u> realizadas por Silverman

No modelo de Kobayashi, o tunelamento coletivo dos modos protônicos com o valor não acoplado da frequência $\omega_{\rm t}$, é acoplado eletrostaticamente com o fonon puro de mesma simetria e com a frequência $\omega_{\rm o}$. No limite de pequeno amortecimento, a res

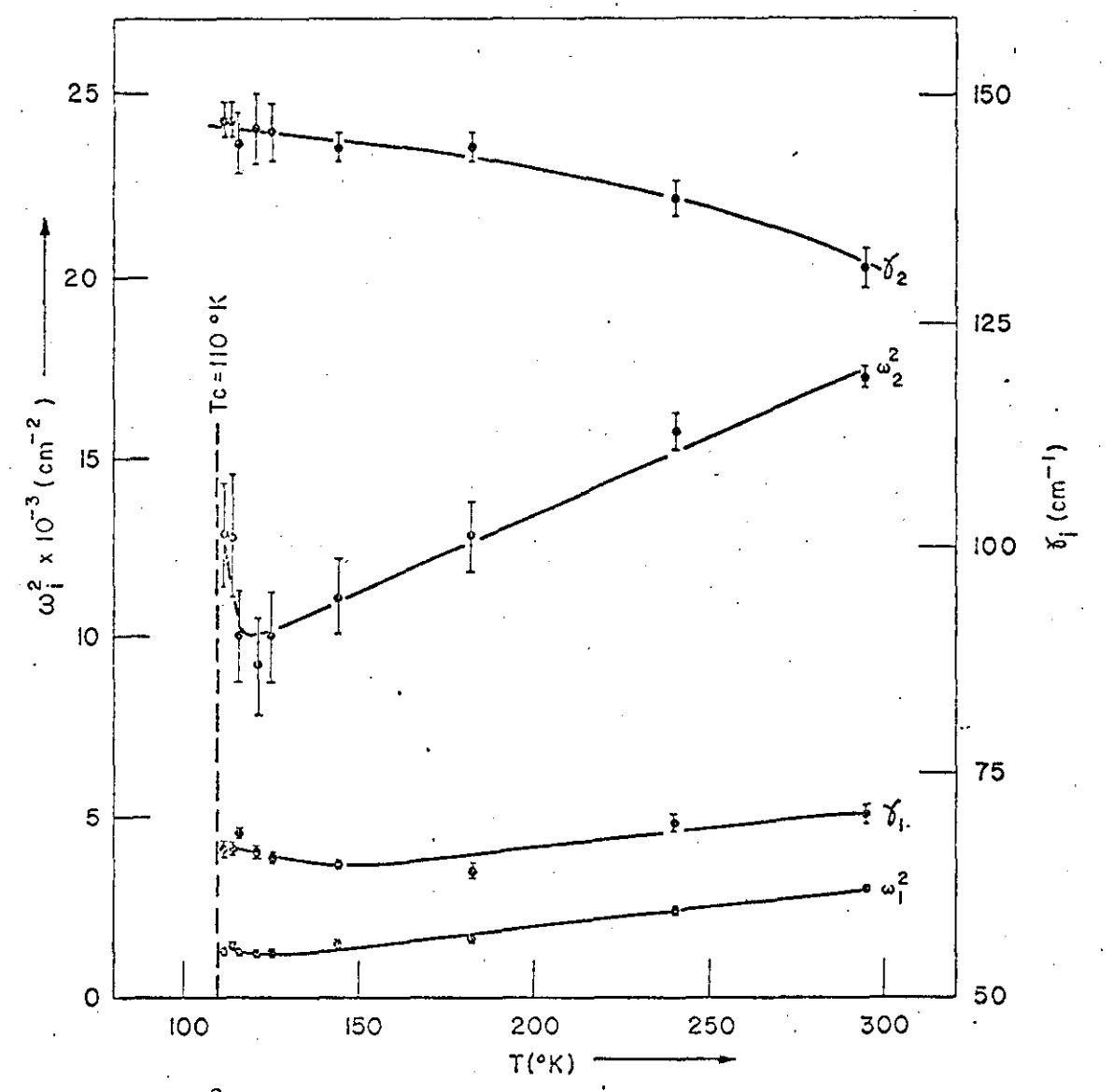


Figura V.12: $\omega_i^2 vsT$ e $\gamma_i vsT$ para os modos 1 e 2, para o cristal de RDA, usando o oscilador da rede, com acoplamento imaginário (I).

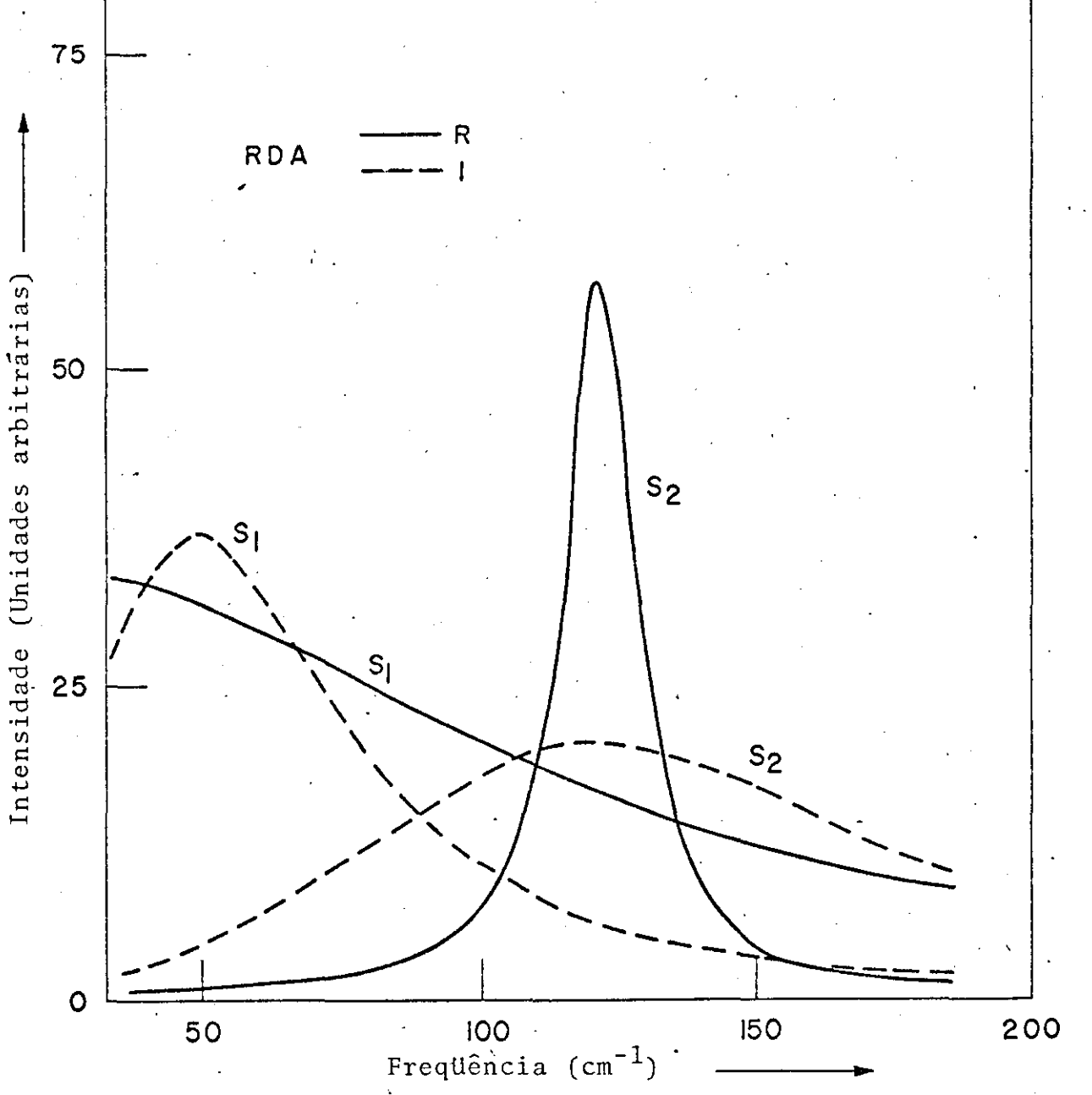


Figura V.13: Espectros calculados dos modos 1 e 2 desacoplados usando o oscilador da rede para o cristal de RDA à temperatura ambiente.

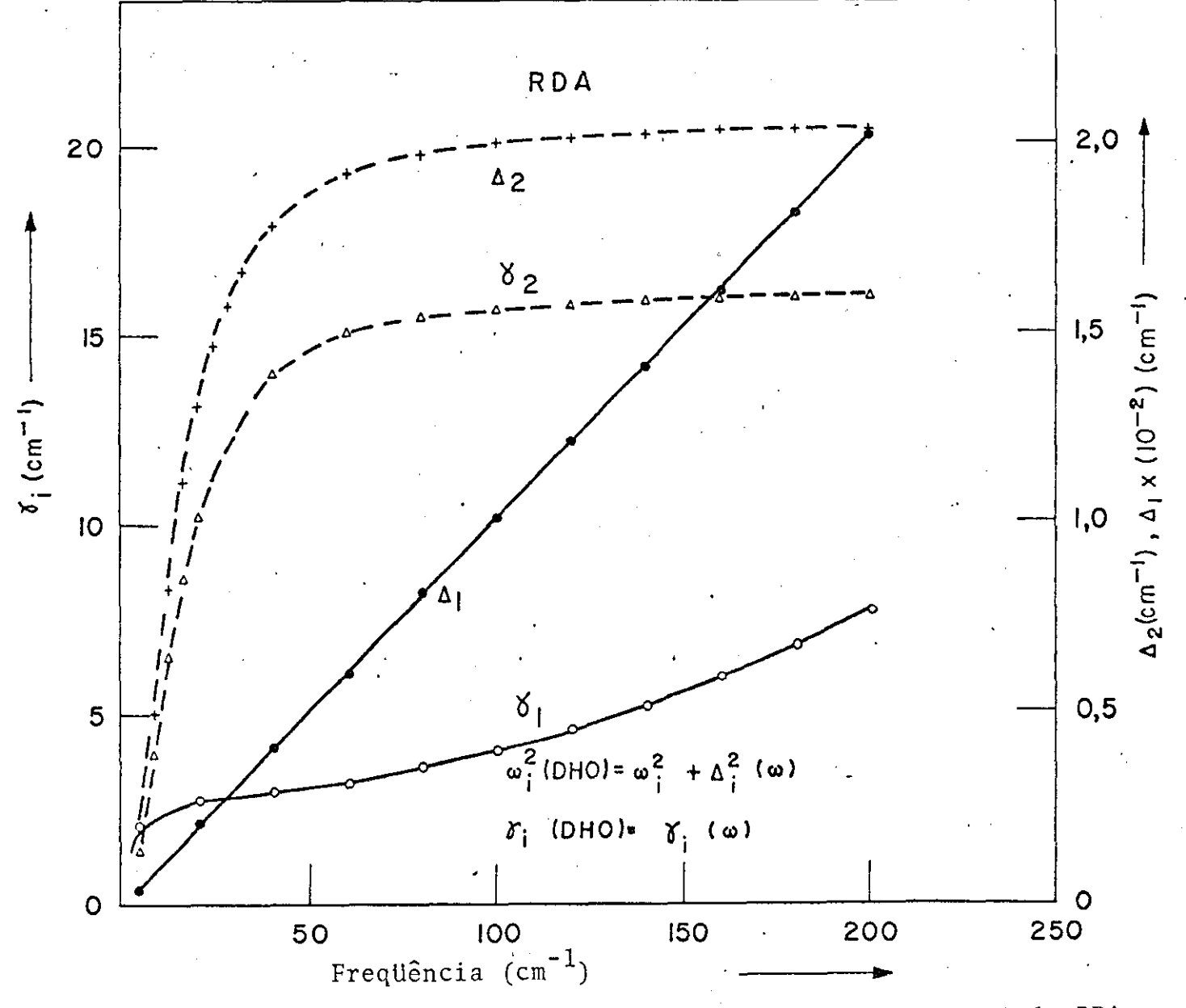


Figura V.14: $\gamma_i v s \omega$ e $\Delta_i v s \omega$ para os modos 1 e 2 para o cristal de RDA, usando o oscilador da rede, com acoplamento real (R).

posta acoplada do sistema proton-fonon pode ser escrita como:

$$\omega_{\pm} = \frac{1}{2} \left(\omega_{o}^{2} + \omega_{t}^{2} \right) \pm \left\{ \left[\frac{1}{2} \left(\omega_{o}^{2} - \omega_{t}^{2} \right) \right]^{2} + G^{2} \right\}^{1/2}$$

$$(2.1)$$

onde G é o termo de interação que dã o acoplamento entre o $t\underline{u}$ nelamento e o modo ótico. Pode ser verificado que a resposta ω_{-}^2 na equação acima tem uma dependência com a temperatura, $v\underline{a}$ riando com (T-T_C) e consequentemente é identificada como sendo do modo ferroelétrico; ω_{+}^2 , por outro lado é relativamente inde pendente da temperatura. Infelizmente o modelo de Kobayashi não pode ser aplicado para observações experimentais porque ele não inclui o amortecimento dos osciladores como também não descreve a suscetibilidade como dependente da frequência.

Uma vez que a equação (2.1) é muito semelhante à equação dos modos acoplados (1.1), relacionando as frequências do acoplamento puramente real com as frequências do acoplamento puramente imaginário, muitos autores (1 - 6) e (9), utilizaram o resultado do "fitting" dos modos acoplados e estudaram a de pendência com a temperatura dos parâmetros do modelo de Kobayashi. Infelizmente, mesmo para este fim, não houve esperança de obterem qualquer resultado concreto, devido à correlação uma a uma entre a frequência e a largura dos modos superamortecidos na teoria dos modos acoplados.

Estes autores citados, entretanto, não consideraram a a publicação de Silverman (10), baseada na teoriade Kobayashi, na qual ele introduz a suscetibilidade como dependente da frequência de uma maneira semelhante à descrita pelo oscilador har mônico amortecido, mas incluindo o amortecimento dos osciladores.

Os detalhes da teoria foram dados no Capitulo II.

Nos escrevemos a parte imaginária da suscetibilidade para a resposta acoplada para os modos da rede e spin, como se gue:

$$\chi'' = \frac{\mu^2 \left(\omega \gamma_o - g''(\omega)\right)}{\left(\omega_o^2 - \omega^2 - g'(\omega)\right)^2 + \left(\omega \gamma - g(\omega)\right)^2}$$
(2.2)

onde
$$g(\omega) = \frac{2\omega_{\mathbf{q}}^{3}\omega_{\mathbf{f}}S_{\mathbf{z}}^{\mathbf{o}} + a^{2}\Gamma\beta D(i\omega + \Gamma)}{(i\omega + \Gamma)\left[i\omega + \Gamma(1 - \beta JD)\right] + \omega_{\mathbf{f}}(\omega_{\mathbf{f}} - \Omega S_{\mathbf{z}}^{\mathbf{o}})} = g'(\omega) + ig''(\omega)$$

onde:
$$\omega_q^3 = \frac{a^2}{h}$$
; D=(tangh βf)/ βf ; $\beta = \frac{1}{KT}$; $f = \frac{1}{2} h \omega_f$;

$$J = \frac{1}{2} \hbar \Omega e \mu^2 = \chi_0 \left(\omega_0^2 - \frac{a^2 \beta D}{1 - \beta DJ} \right)$$

A equação (2.2) envolve oito parâmetros desconhecidos ou seja: χ_0 , Γ , ω_f , ω_q , γ , ω_o , Ω e S_z^o . Entretanto como foi aproximado por Silverman, nós podemos igualar S_z^o a tangh βf . Posteriores reduções no número de parâmetros podem ser feitas pelo conhec<u>i</u> mento da temperatura de transição, isto é:

$$T_{c} = \frac{T \tanh \beta f}{\beta f} \left(\Omega + \frac{2\omega_{q}^{3}}{\omega_{Q}^{2}} \right)$$
 (2.3)

O espalhamento Raman pode ser relacionado com a parte imagin $\underline{\tilde{a}}$ ria da suscetibilidade através do teorema de Nyquist, na se guinte forma:

$$\langle |S(\omega)| \rangle = R \begin{bmatrix} \overline{n}(\omega) + 1 \\ n(\omega) \end{bmatrix} \chi''(\omega)$$
 (2.4)

onde a quantidade entre colchetes se refere ao fator de população de Boltzman para os espalhamentos Stokes e anti-Stokes. As equações (2.2) e (2.4) foram programadas para se fazer o "fitting" dos dados do espalhamento Raman no formalismo de Silverman pe la técnica dos mínimos quadrados. Os detalhes do "fitting" e dos dados observados foram descritos na última sessão. A inclusão da equação (1.9) no programa não produziu um bom "fitting" para os espectros observados para qualquer temperatura e qualquer cristal estudado. Entretanto, a exclusão desta equação no "fitting" aumentou o número de parâmetros variáveis para sete e permitiu-nos fazer o "fitting" dos espectros mas somente per to da temperatura de transição. A equação (2.3) foi utilizada para computar a temperatura de transição T_C para cada espectro em que realizamos o "fitting". Os resultados foram colocados em gráfico e a figura V.15 mostra os valores computados de T_C vsT

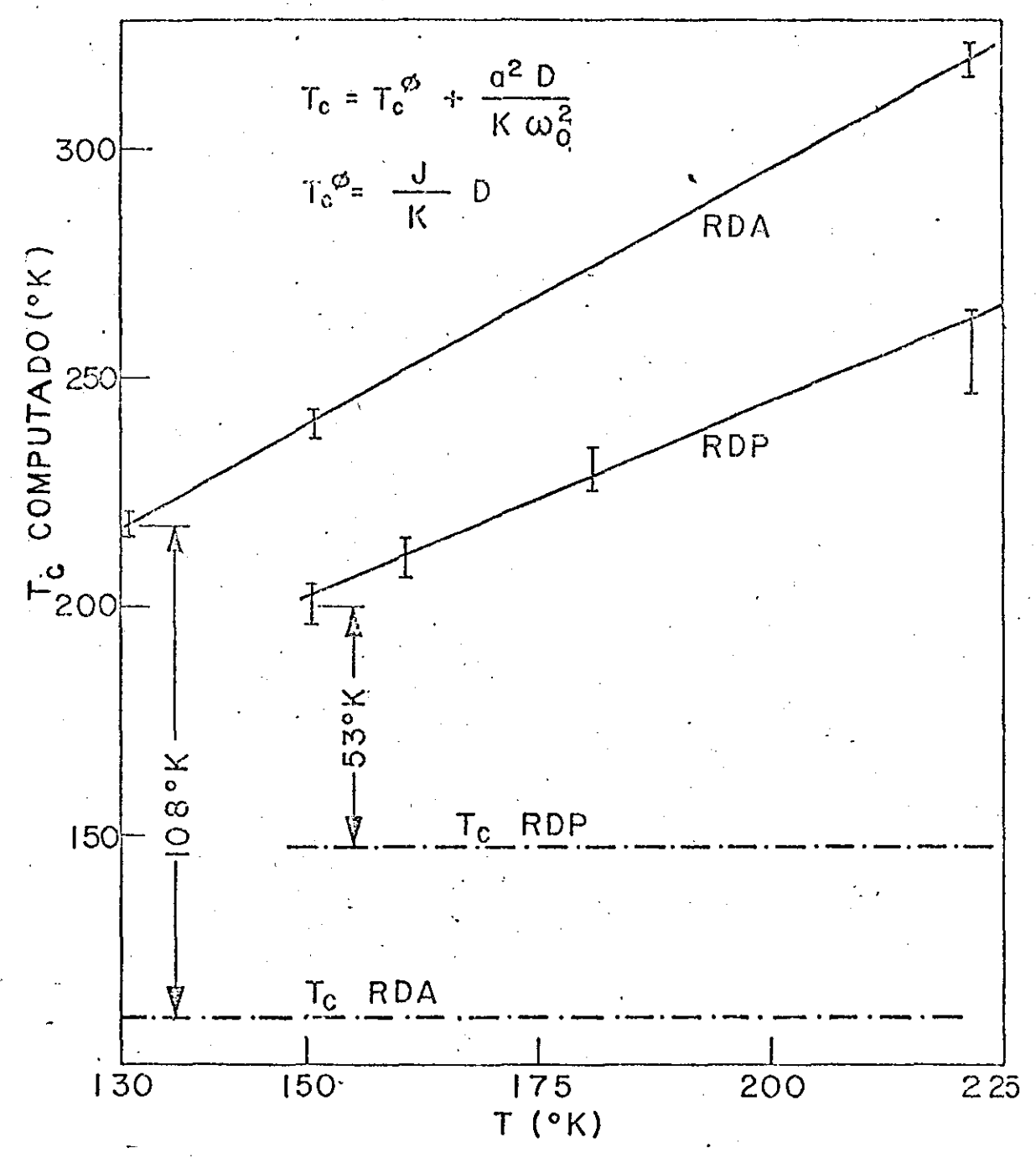


Figura V.15: Valores computados da temperatura de transição $T_c vsT$ para os cristais de RDP e RDA (linha cheia). Valores experimentais das temperaturas de transição para os cristais de RDP e RDA (linhas pontilhadas).

para os cristais de RDP e RDA.

As temperaturas de transição observadas experimental mente são mostradas no gráfico por linhas pontilhadas.

A diferença entre os valores de T_C observado e calcul<u>a</u> do para o cristal de RDA é de 108°K para a temperatura mais baixa dos dados que foram realizados o "fitting" e 53°K para o RDP. Pode-se verificar que estas diferenças aumentam para o espectro calculado à medida que aumentamos a temperatura. De fato, o fator de concordância piora quando tentamos realizar o "fitting" dos espectros para altas temperaturas, utilizando as equações (2.2) e (2.4). Por esta razão nós não mostramos resultados para temperaturas maiores que 225°K. Isto nos leva a concluir que os formalismos do spin para os modos acoplados de Kobayashi e Silverman não descrevem adequadamente a suscetib<u>i</u> lidade, nestes cristais.

Outro ponto a ser notado, é que, as equações acima mencionadas, podem ser consideradas como melhores aproximações proximo a temperatura de transição de fase do que para altas temperaturas.

V.3: Referências bibliográficas

- 1 Kaminov, I. P., and Damen, T. C., Phys. Rev. Lett., <u>20</u> 1105 (1968)
- 2 Katiyar, R. S., Ryan J. F., and Scott, J. F., Phys. Rev. B 4, 2635 (1971)
- 3 She, Y., Broberg, T. W., Wall, L. S., and Edwards, D.F., Phys. Rev. B 6, 1847 (1973)
- 4 Peercy, P. S., and Samara, G. A., Phys. Rev. B <u>8</u>, 2033 (1973)
- 5 Lowndes, R. P., Tornberg, N. E., and Leng, R. C., Phys. Rev. B 10, 911 (1974)
- 6 Lagakos, N., and Cummins, H. Z., Phys. Rev. Lett., <u>34</u>, 883 (1975)
- 7 Katiyar, R. S., comunicação privada
- 8 Silverman, B. D., Phys. Rev. B 9, 203 (1974)
- 9 Peercy, P. S., Phys. Rev. B 12, 2725 (1975)
- 10 Silverman, B. D., Phys. Rev. Lett., <u>25</u>, 107 (1970).

CAPÍTULO VI: CONCLUSÕES

Nos últimos anos, os cristais com a estrutura do KDP, têm sido estudados em detalhes com a utilização da técnica do espalhamento de luz no sentido de se entender o mecanismo da ferroeletricidade. Não se pode negar que um progresso considerável tem sido alcançado, mas ainda estamos longe de formular o mecanismo exato que nos permita obter resultados totalmente consistentes para todos os cristais desta família.

Entretanto, uma coisa está bastante clara, e \tilde{e} exatamente o fato da existência de acoplamentos distintos entre o movimento protônico e a vibração ótica ("stretching") do complexo K-PO₄.

Nossos espectros para os modos de baixa frequência de simetria B₂, mostram que o movimento do proton (embora com a mais baixa frequência), continua até poucos graus abaixo da tem peratura de transição de fase, para cada um dos cristais estudados. O deslocamento da posição de equilibrio do potássio (K) e dos ions PO₄ podem ser notados pela mudança da frequência de vibração ("stretching").

Existe na literatura bastante controvérsia com ção ao tipo de acoplamento em questão. Por exemplo, Katiyar colaboradores (1) concluiram dos seus "fittings", da dos modos acoplados, que o tipo de acoplamento existente entre os dois modos de baixa frequência e de simetria ${\bf B_2}$, deve muito próximo ao real. Esta conclusão foi baseada nos parâmetros resultantes do "fitting" para várias temperaturas analisadas. O "fitting" para o acoplamento imaginário produziu um fonon su peramortecido e um outro fonon criticamente amortecido. caso, a variação da temperatura para os parâmetros dos modos 1 e 2 foi encontrada como sendo inconsistente. Além disso, os va lores extrapolados de T/τ_1 se aproxima de zero com um valor mu<u>i</u> to mais baixo para o acoplamento real do que para o acoplamen to imaginário. Conclusões semelhantes foram obtidas e das em gráfico por Lowndes e colaboradores (2).

Lagakos e Cummins (3) concluíram em seu recente traba 1ho, que o acoplamento deveria ser puramente imaginário. Não obstante, estes autores citados (2) e (3) incorrem todos no mesmo tipo de engano utilizando o acoplamento imaginário para descrever o espectro. Embora tal conclusão possa ter agradado aos pesquizadores teóricos (e os últimos autores citados foram motivados por este fato), os resultados experimentais nesses cristais são melhores descritos pelo acoplamento real. Pode-se também considerar, que há uma discordância entre os autores citados com relação ao comportamento com a temperatura do modo superamortecido.

O trabalho teórico sobre o acoplamento de polaritons realizado por Chaves (4) pode ser considerado como decisivo com relação à determinação da natureza do acoplamento. De acordo com Chaves (5) os polaritons nestes cristais, não deveriam ser possíveis de se observar para ângulos maiores que um grau, para o caso do acoplamento real; a utilização do acoplamento imaginário, entretanto permitiria observá-los para ângulos maiores.

Numa série de experimentos que Barbosa (6) e nós rea lizamos, independentemente, para observarmos polaritons nestes cristais, na simetria B_2 , ficou provado o insucesso na observação de polaritons, mesmo para ângulos de um grau. Estes experimentos vêm novamente confirmar a presença do acoplamento real entre o modo superamortecido e o fonon ótico K-PO $_4$.

Nossos gráficos do tempo de relaxação τ_1 contra a temperatura para todos os cristais estudados mostraram que T/τ_1 decresce linearmente com a temperatura. Estes gráficos são mostrados nas figuras V.1, V.2, V.3 e V.9. Este comportamento linear de T/τ_1 continua até poucos graus próximos à temperatura de transição e se desvia, mais além, para um valor de 'hard core' quando a temperatura é abaixada. Tal comportamento de T/τ_1 é semelhante em todos os cristais estudados e é independente do tipo de formalismo usado para descrever os modos e o acoplamento entre eles. Em virtude deste desvio nas curvas, torna-se in frutífera a tentativa de se extrapolar a linha reta para se obter um valor de T_0 , como tentaram os autores (1), (2) e (3).

Embora nos concordemos com Silverman de que o oscil<u>a</u> dor harmônico amortecido não seja uma boa descrição para os modos superamortecido ou o criticamente amortecido, seu formalismo do oscilador da rede necessita alguns melhoramentos.

Para todos os casos, a vibração do modo K-PO $_4$ se comporta nomalmente. Sua frequência aumenta levemente quando a temperatura é abaixada, com exceção no caso do oscilador da rede em que se usa o acoplamento imaginário, onde seu comportamento é altamente anômalo. A ausência do "soft mode" não é muito in comum nos ferroelétricos do tipo ordem-desordem. Por exemplo, resultados semelhantes foram observados no sal de Rochelle (7), no nitrito de sódio (8) e no K_4F_e (CN) $_6$, $3H_2O$ (9). O comportamento dielétrico nestes cristais tem sido explicado pelo mecanismo de relaxação, envolvendo o processo de auto-difusão. Tal teoria foi formulada por Mason e é baseda na consideração do duplo poço mínimo de potencial para certos átomos.

As medidas dielétricas no KDP foram realizadas por Pereverzeva e colaboradores (10). Suas medidas a várias tempe raturas estão mostradas na figura VI.1. Estas medidas, entretan to, não poderiam ter sido submetidas ao "fitting" pela teoria de Mason, pois mostram mais de um processo de relaxação ocor rendo nestes cristais, na região considerada de frequência.

Considerando-se que o modo superamortecido pode ser assumido como sendo devido ao processo de relaxação do tipo de Mason, nos fizemos o acoplamento desta função resposta com a função resposta do modo K-PO₄. O resultado do "fitting" foi en tretanto sem sucesso. Este fato mostra que o modo superamorte cido não é do tipo discutido por Mason, possivelmente porque Mason não considerou o tunelamento quântico que existe no KDP.

Como foi mencionado nos Capítulos anteriores a teoria de Kobayashi não pode ser aplicada para medidas de suscetibil<u>i</u> dade e portanto as modificações sugeridas por Silverman foram utilizadas no "fitting" do formalismo do acoplamento do fonon com o modo do "spin". Do espectro observado, entretanto, não se pode fazer o "fitting" para tal função resposta para tempe raturas muito longe da temperatura de transição nos cristais da estrutura do KDP. Entretanto, o "fitting" para temperaturas próximas à temperatura de transição $T_{\rm C}$, foi muito bom, embora os resultados não estejam em concordância com suas previsões teóricas. Estes fatos sugerem então, que o formalismo dos fonons acoplados ("spin mode") de Silverman não se aplica para estes cristais.

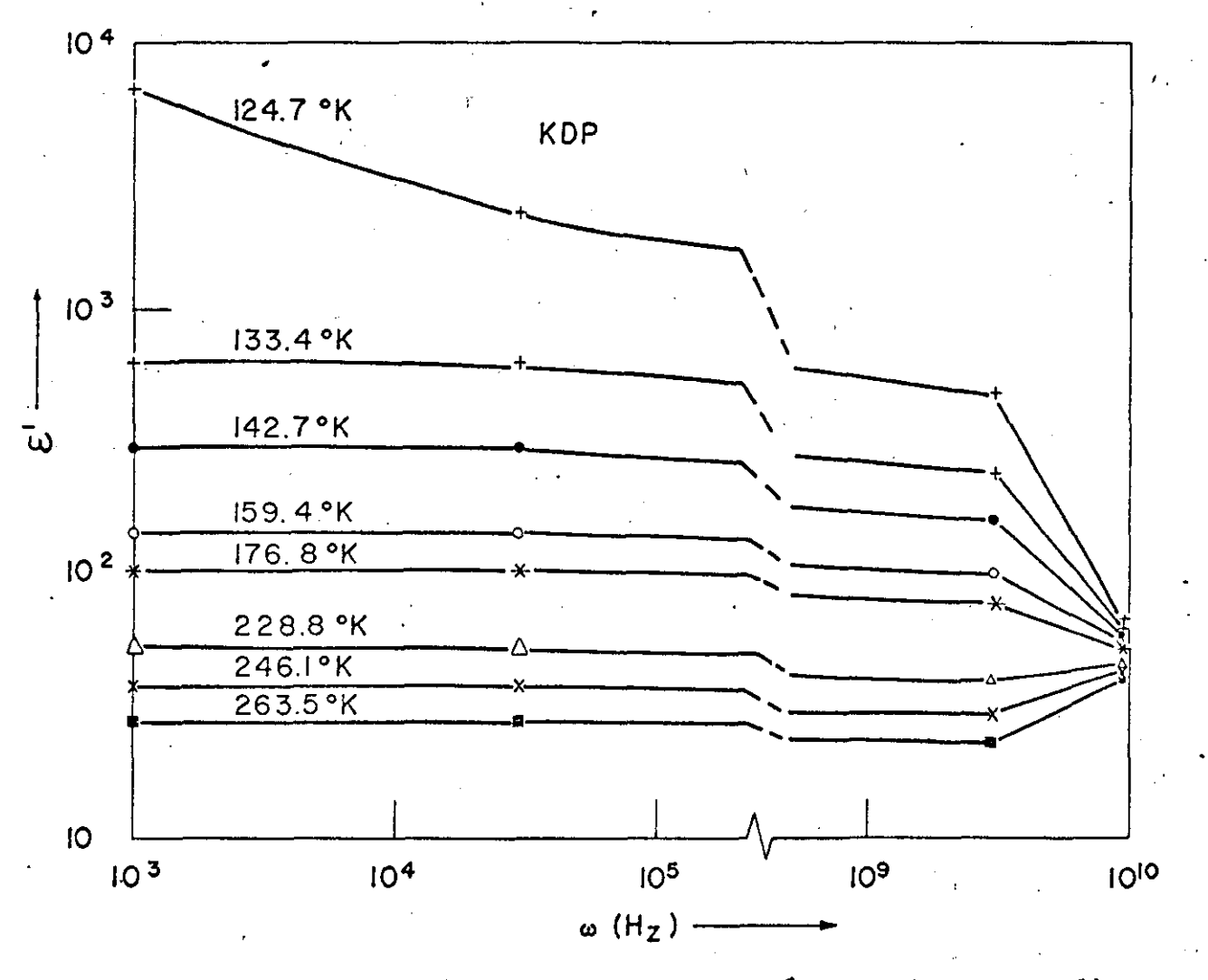


Figura VI.1: Dependência da constante dielétrica (parte real) com a frequência, para várias temperaturas, no KDP.

Sugestões para trabalhos futuros

Finalmente mencionaremos neste Capítulo algumas suges tões que nos surgiram decorrentes da realização deste trabalho. Algumas delas não puderam ser colocadas em prática tanto pelo fato de necessitarem para a sua realização, de outros tipos de equipamento como também pelo fato de serem sugestões que implicariam na realização talvez de uma outra tese.

1) Sugeriamos a realização de medidas da constante dielétrica no KDP através da técnica da microonda, pois estas medidas, realizadas por Pereverzeva e colaboradores (10), recentemente, não deixam claro o problema da ordem da transição de fase no KDP. Segundo os autores, a queda forte no valor da constante die létrica na transição de fase é uma sugestão de que a transição de fase no KDP é do tipo de primeira ordem. Por outro lado, Re ese e May (11) e Reese (12) realizaram medidas de alta resolução da capacidade térmica no cristal de KDP, bem próximas à tem peratura de transição de fase, e mostraram que a capacidade térmica apresenta uma anomalia que é interpretada como uma transição de segunda ordem.

Assim, no sentido de se esclarecer este tipo de proble ma é que achamos que tanto a medida da constante dielétrica, na direção do eixo z como a da capacidade térmica devam ser realizadas com o máximo detalhe possível.

2) Um outro tipo de problema que poderia ser atacado imediata mente, seria o do estudo do modo central no KDP e do acopla mento do modo acústico com o modo superamortecido ótico, de mais baixa frequência através da técnica do espalhamento Brillouin.

Com este tipo de estudo poderíamos talvez esclarecer o que ocorre na região de baixa frequência, se há o acoplamen to realmente entre estes dois modos, e assim poderia se tentar definir o tipo de acoplamento ou se o modo superamortecido, otico, tem uma relaxação do tipo de Debye.

3) Medidas de polaritons, nos cristais do tipo do KDP poderiam ser realizadas para que possibilitassem o estudo da natur \underline{e} za do acoplamento existente entre o modo superamortecido de s \underline{i}

metria B₂ e o modo ótico K-PO₄ também de mesma simetria. Este acoplamento foi proposto teoricamente por Chaves, Katiyar e Porto (4) e poderia ser confirmado experimentalmente pelas medidas dos polaritons com a utilização de medidores que possibilitassem não só a contagem, por horas, como também a repetição do espalhamento.

4) Como sugestão final gostaria de propor uma extensão teór<u>i</u> ca na teoria de Mason no sentido de incluir o problema do tunelamento quântico, que não foi considerado por ele.

Referências bibliográficas

- 1 Katiyar, R. S., Ryan, J. F., and Scott, J. F., Phys. Rev. B4 2635 (1971);
- 2 Lowndes, R. P., Tornberg, N. E., and Leung, R. C., Phys. Rev. B10, 911 (1974);
- 3 Lagakos, N., and Cummins, H. Z., Phys. Rev. Lett., <u>34</u>, 883 (1975);
- 4 Chaves, A., Katiyar, R. S. and Porto, S. P. S., Phys. Rev., B10, 3522 (1974);
- 5 Chaves, A., comunicação privada;
- 6 Barbosa, G. A., Tese de Doutoramento;
- 7 Mason, W. P., Phys. Rev. 72, 854 (1947);
- 8 Andrade, P. R., Katiyar, R. S., and Porto, S. P. S., Ferroelectrics, <u>8</u>, 637 (1974);
- 9 Katiyar, R. S., Porto, S. P. S., em preparação;
- 10 Pereverzeva, L. P., Poplavko, Yu, M. Petrov, V. M., Makavevs kaya, E. V., and Rez, I. S., Sov. Phys. Crystallogr., Vol. 18, 407, (1973);
- 11 Reese, W., and May, L. F., Phys. Rev. <u>162</u>, 510 (1967);
- 12 Reese, W., Solid State Comm., 7, 969 (1969).